## **REGIONE DEL VENETO**

# COMUNE DI FONTE

## PROVINCIA DI TREVISO

#### STUDIO DI COMPATIBILITA' SISMICA PER IL PIANO DEGLI INTERVENTI

**COMMITTENTE:** Amministrazione Comunale di Fonte

TREVISO, Luglio 2011

Il geologo

Livio dott. Sartor

#### 1. PREMESSA

Il PATI di San Zenone e Fonte sono stati approvati con DGRV n. 1790 del 16.06.2009, con la seguente prescrizione: "I comuni del PATI in questione sono inseriti in zona 2 ...a seguito dell'approvazione della DGRV n. 3308/2008, (Applicazioni delle nuove norme tecniche sulle costruzioni in zona sismica, indicazioni per la redazione e verifica della pianificazione urbanistica), il PATI dovrà adeguarsi ai contenuti della delibera stessa. In particolare si evidenzia che la Carta delle Zone Omogenee in prospettiva sismica, ..., è propedeutica alle disposizioni relative ai Piani di Intervento e, pertanto, dovrà essere realizzata per l'intero territorio comunale in fase di primo PI. Anche la norma tecnica, relativa alle disposizioni per la zona sismica, va adeguata alle indicazioni della DGRV."

L'allegato "A" della DGRV 3308/2008 prevede quanto segue:

- per i PAT "lo studio di compatibilità sismica sarà costituito dalla verifica della conciliabilità della trasformazione urbanistica con le indicazioni derivanti dalla caratterizzazione geologica, geomorfologica ed idrogeologica del territorio in esame, avendo preso in considerazione la zona sismica interessata dall'ambito comunale secondo le disposizioni regionali in vigore";
- per i PI, "che localizzano puntualmente le trasformazioni urbanistiche, lo studio di compatibilità sismica avrà lo sviluppo necessario a definire gli interventi ammissibili e le modalità esecutive nelle aree urbanizzate ed urbanizzabili".

L'elaborato finale cartografico sintetico della <u>compatibilità sismica per i PAT</u> prevede la mappatura dell'intero territorio comunale in:

- a) aree "stabili" nelle quali non si ipotizzano effetti locali di rilievo di alcuna natura;
- aree "stabili suscettibili di amplificazioni sismiche", nelle quali sono attese amplificazioni del moto sismico, come effetto dell'assetto litostratigrafico e morfologico locale;
- c) aree "suscettibili di instabilità"; le principali cause sono: instabilità dei versanti, liquefazione e cedimenti differenziali dei terreni, faglie attive e capaci.

L'allegato "A" della DGRV 3308/2008 prevede che "all'interno del PI, per il territorio urbanizzato, urbanizzabile (suscettibile di trasformazioni per l'espansione degli abitati) e relativo ad ambiti riguardanti i sistemi, le reti infrastrutturali e i corridoi per

il trasporto energetico di rilevanza strategica a livello statale o provinciale, va effettuata:

- con riferimento alle "aree stabili" (v. lettera "a" punto "3" dell'allegato A) la caratterizzazione del terreno tramite la misura delle Vs30 (velocità di propagazione delle onde di taglio entro i 30 metri di profondità come definita dalle vigenti norme tecniche sulle costruzioni);
- con riferimento alle "aree suscettibili di amplificazioni sismiche" (v. lettera "b" punto "3" dell'allegato A) uno studio finalizzato alla determinazione della profondità del bedrock sismico in funzione della definizione del periodo proprio della vibrazione del sottosuolo e alla definizione dei profili di Vs30, unitamente alla valutazione degli effetti morfologici;
- con riferimento alle "aree suscettibili di instabilità" (v. lettera "c" punto "3" dell'allegato A), uno studio degli eventuali effetti di cui all'alinea precedente e uno studio specifico finalizzato all'individuazione degli ambiti potenzialmente soggetti a instabilità, utilizzando come parametri di riferimento quelli stabiliti dalla vigente normativa tecnica sulle costruzioni."

...Gli elaborati dei P.I. ... comprendono una relazione tecnica contenente i dati riguardanti le indagini effettuate e una cartografia in scala adeguata, su base C.T.R. con l'ubicazione delle indagini e l'individuazione delle microzone omogenee e relative condizioni predisponenti l'amplificazione."

Inoltre sempre nell'allegato "A" si afferma che per le "varianti agli strumenti urbanistici che non comportino una trasformazione territoriale di urbanizzazione o, che comunque non alterino la protezione sismica prevista, il tecnico progettista è tenuto a sottoscrivere una asseverazione inerente la mancata necessità della valutazione sismica."

Con decreto n.69 del 27.05.2010 "Linee guida per la realizzazione dello Studio di Compatibilità Sismica per i PAT e PATI – DGR n.3308/2008 e L.R. n.11/2004", la direzione geologia ed attività estrattive della Regione del Veneto stabilisce i contenuti dello studio e in particolare della relazione illustrativa, della Carta degli elementi geologici e delle zone omogenee in prospettiva sismica.

#### 2. SISMICITA' DEL TERRITORIO

Con la nuova normativa sismica, per definire l'azione sismica di progetto, si deve valutare l'influenza delle condizioni litologiche e morfologiche locali sulle caratteristiche del moto del suolo in superficie, mediante studi specifici di risposta sismica locale. In caso alternativa si può utilizzare la classificazione dei terreni presente nelle "Norme tecniche per le Costruzioni" (dm 14.01.2008), basata sulla stima dei valori della velocità media delle onde sismiche di taglio Vs entro 30 metri di profondità. Un modello di riferimento per la descrizione del moto sismico sul piano di fondazione è costituito dallo spettro di risposta elastico, altro modello consiste nel descrivere il moto del suolo mediante accelerogrammi.

Lo spettro di risposta elastico è costituito da una forma spettrale (spettro normalizzato) riferita allo smorzamento convenzionale del 5% e considerata indipendente dal livello di sismicità, moltiplicata per il valore della accelerazione massima convenzionale del terreno fondale "ag" che caratterizza il sito. Nella espressione dello spetto di risposta elastico, sia nella sua componente orizzontale che verticale, assume importanza non solo il parametro "ag" ma anche "S", quest'ultimo è il fattore che tiene conto della categoria del suolo di fondazione in funzione alla velocità delle onde di taglio Vs nei primi trenta metri di profondità, e della componente di amplificazione topografica del sito.

Con l'Ordinanza PCM n. 3519 del 28.04.2006 e DGRV n.71/2008 si approva la "Mappa di pericolosità sismica del territorio Nazionale" espressa in termini di accelerazione massima al suolo (ag max) con probabilità di eccedenza del 10% in 50 anni (tempo di ritorno 475 anni) riferita ai suoli molto rigidi (Vs > 800 m/sec). Il valore di "ag", per il Comune di San Fonte, in zona "2", riferita a suoli molto rigidi (Vs>800m/s) varia da 0,175q a 0.225q.

Nell'allegato 7 dell'OPCM 13.11.2010 n.3907, sono indicati le **ag**, per un tempo di ritorno di 475 anni in condizioni di sottosuolo rigido e pianeggiante, corrispondente al valore più elevato di **ag** tra i centri e nuclei ISTAT del Comune (v. all.2 comma 2), e per Fonte corrisponde a **0,204737g**.

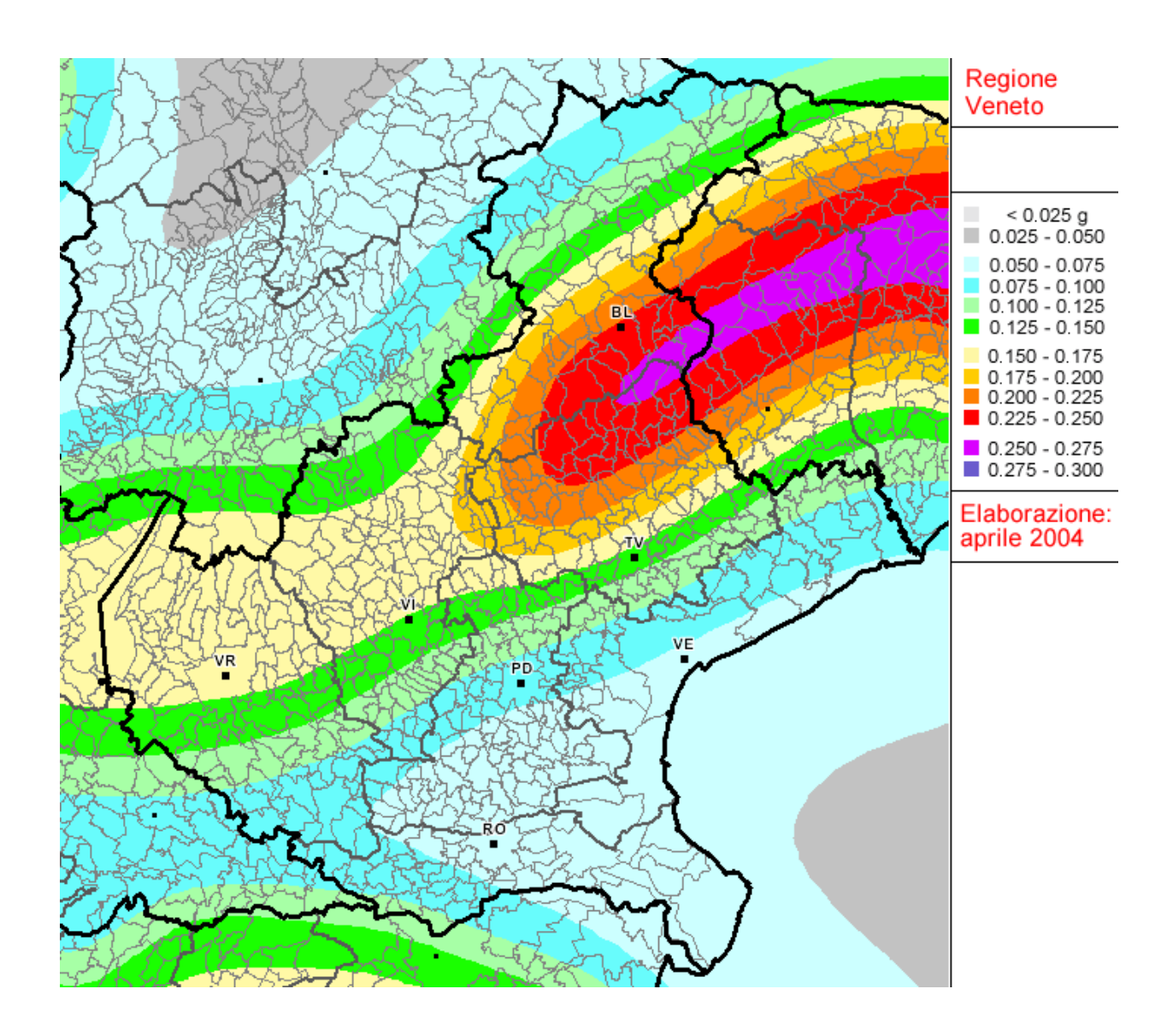


Fig. 1 - Mappa della pericolosità sismica della Regione del Veneto espressa in termini di accelerazione massima al suolo (ag max ) con probabilità di eccedenza del 10% in 50 anni (tempo di ritorno 475 anni) riferita ai suoli molto rigidi (Vs > 800 m/sec)

Per quanto riguarda la pericolosità di base del sito di intervento, in riferimento ad una probabilità di superamento del 10% in 50 anni (Tr = 475 anni), il calcolo eseguito con il programma "Spettri di risposta – ver. 1.0.3" del Consiglio Superiore dei Lavori Pubblici mediante interpolazione per superficie rigata, individua la pericolosità sismica del sito di intervento con un valore di **ag** riferito a suoli rigidi caratterizzati da Vs,30 > 800 m/s compresi tra 0.196 a 0,207g.

Sarà compito del progettista strutturale scegliere i parametri da utilizzare nei calcoli in funzione della "Strategia di progettazione" adottata una volta definita la

Vita Nominale, la Classe d'uso ed il Periodo di Riferimento assegnate alla struttura.

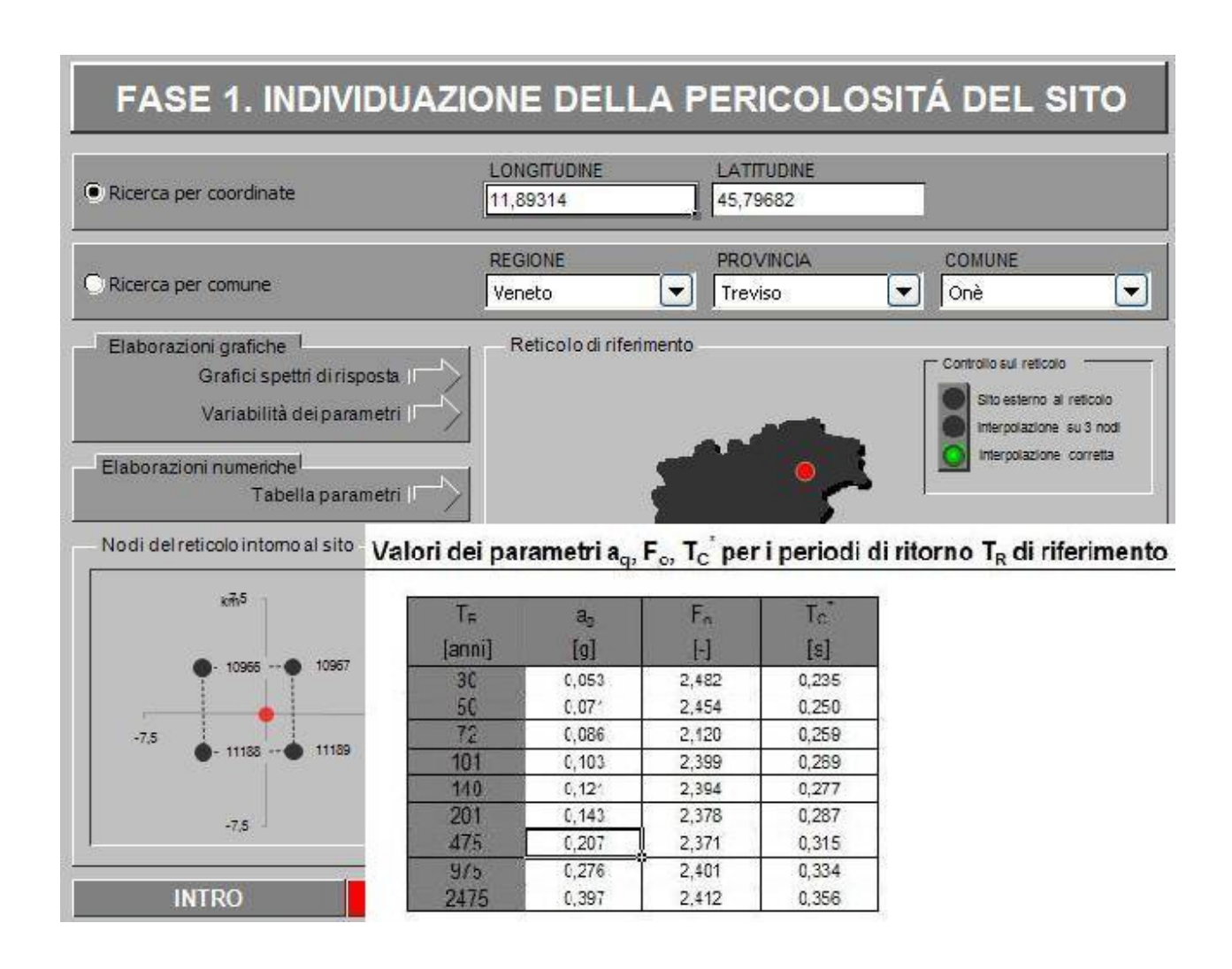


Fig. 2 - Parametri ag, F0, Tc per i periodi di ritorno Tr di riferimento (Comune di Fonte - da software LL.PP. "Spettri NTC vers. 1.0.3")

Nel 2004 è stato aggiornato il Catalogo Parametrico dei Terremoti (CPTI04 – catalogo dei terremoti dal 217 a.C. al 2002 ) da parte di INGV; dall'analisi di questo catalogo possiamo rilevare che i terremoti aventi epicentro entro un raggio

di circa 30 km dal centro abitato di Fonte e con magnitudo Maw  $\geq$  5 (v. fig. 10) sono i seguenti:

- anno 1268 nel Trevigiano con Maw=5.37;
- anno 1695 nell'Asolano con Maw=6.61;
- anno 1836 nel Bassanese con Maw=5.48;
- anno 1860 nel Valdobbiadenese con Maw=5.17;
- anno 1861 nella zona di Castelfranco V.to con Maw=5.03;
- anno 1887 nell'Asolano con Maw=5.17;
- anno 1894 nella zona di Fonzaso con Maw=5.03;
- anno 1895 nel Valdobbiadenese con Maw=5.06;
- anno 1900 nel Valdobbiadenese con Maw=5.22;
- anno 1943 nel Valdobbiadenese con Maw=5.18.

#### La legenda della Tab. 1 è la seguente:

- N numero progressivo dei terremoti presenti nel catalogo CPTI04;
- **Tr** tipi di informazione che è alla base dei parametri;
- Tempo origine (Anno, Me, Gi, Or, Mi, Se) data in cui è avvenuto il sisma;
- **AE** denominazione dell'area dei massimi effetti;
- **Rt** codice dell'elaborato di riferimento:
- Np numero dei punti di intensità;
- Imax intensità massima;
- **lo** intensità epicentrale
- Lat, Long coordinate in gradi sessadecimali del luogo dell'epicentro;
- **Magnitudo** sono state indicate tre alternative di magnitudo: *Maw* con errore *Daw* e tipologia di stima *TW*, *Mas* (calcolata sulle onde superficiali) con errore *Das* e tipologia di stima *TS*, e infine *Msp* (da utilizzare nella relazione di attenuazione di Sabetta Pugliese) con errore *Msp* e tipologia di stima *Dsp*.
- **ZS9** è la zona sorgente cui l'evento è associato, secondo la zonazione sismogenetica ZS9, descritta nell'appendice 2 del rapporto conclusivo.

rea	cir	ccola	ce i	con	cei	ntro	o C	(45.778, 11.84) e rago	pio 30 km																	
N	Tr	Anno	Me	Gi	Or	Mi	Se	AE	Rt	Np	Imx	Io	TI	Lat	Lon	TL	Maw	Daw	TW	Mas	Das	TS	Map	Dsp	ZS9	TZ
55	DI	1268	11	4				Trevigiano	CFTI	4	80	75		45.73	12.08	A	5.37	0.30		5.10	0.45		5.27	0.42	905	G
126	DI	1403	1	17				Verona	CFTI	5	65	60		45.8	11.6	A	4.83	0.26		4.30	0.39		4.53	0.36	906	G
415	DI	1695	2	25	5	30		Asolano	CFTI	82	100	95	M	45.8	11.95	A	6.61	0.11		6.61	0.11		6.61	0.11	905	G
550	CP	1756	2	25	21			ROSE'	POS85			55		45.75	11.75		4.63	0.13		4.00	0.20		4.25	0.19	906	G
813	DI	1836	6	12	2	30		BASSANO	DOM	26	80	75		45.807	11.823	A	5.48	0.13		5.26	0.19		5.42	0.18	906	G
909	CP	1857	3	10	3			PIEVE DI SOLIGO	POS85			55		45.9	12.1		4.63	0.13		4.00	0.20		4.25	0.19	905	G
918	DI	1859	1	20	7	55		COLLALTO	DOM	36	70	65		45.893	12.103	A	4.97	0.16		4.50	0.24		4.71	0.22	905	G
924	CP	1860	7	19	15	38		VALDOBBIADENE	POS85			70		45.9	12.05		5.17	0.30		4.80	0.45		4.99	0.42	905	G
928	CP	1861	5	19	19	45		CASTELFRANCO	POS85			65		45.75	11.917		5.03	0.33		4.60	0.49		4.80	0.45	905	G
130	CP	1887	4	14	1	11	6	ASOLO	POS85			70		45.8	11.917		5.17	0.30		4.80	0.45		4.99	0.42	905	G
218	DI	1894	11	28				FONZASO	DOM	11	65	65		46.006	11.821	A	5.03	0.33		4.60	0.49		4.80	0.45	906	G
231	DI	1895	6	10	1	47		VALDOBBIADENE	DOM	73	65	65		45.943	12.073	A	5.06	0.15		4.64	0.22		4.84	0.20	905	G
273	CP	1897	6	11	11	40	52	MONTEBELLUNA	POS85			60		45.817	12.033		4.83	0.26		4.30	0.39		4.53	0.36	905	G
325	DI	1900	3	4	16	55		VALDOBBIADENE	DOM	99	65	60		45.85	12.067	A	5.22	0.10		4.88	0.15		5.06	0.14	905	G
685	CP	1919	7	12	12	6		ASOLO	POS85			55		45.8	11.917		4.98	0.09		4.52	0.13		4.73	0.12	905	G
723	DI	1921	9	12		25		ASOLO	DOM	3	40	40		45.77	11.768	A	4.83	0.14		4.29	0.21		4.52	0.19	906	G
733	CP	1922	11	8	10	28	28	FELTRE	POS85			60		46	12		4.78	0.15		4.23	0.22		4.46	0.20	905	G
951	CP	1940	1	3	19	15		FONZASO	POS85			60		46.033	11.8		4.83	0.26		4.30	0.39		4.53	0.36	906	A
987	DI	1943	7	24	1	44		VALDOBBIADENE	DOM	29	70	65		45.986	11.884	A	5.18	0.09		4.82	0.13		5.01	0.12	906	G
991	CP	1943	11	15	8	30		FONZASO	POS85			60		46.017	11.8		4.83	0.26		4.30	0.39		4.53	0.36	906	A

Tab. n.1 - Terremoti avente epicentro entro un raggio di circa 30 km dal centro abitato di Fonte, con magnitudo da 3.92 ≤ Maw ≥ 7.41 (dal catalogo CPTI04)

Il sisma con maggiore intensità negli ultimi 2000 anni, con epicentro entro i 30 km circa di raggio è avvenuto il 25.02.1695 nell'asolano (lat. 45°48', long. 11°57' poco a Est della Chiesa di Crespignaga di Maser) con intensità epicentrale di 9.5 e magnitudo Maw=6.61. In Figura 4 e tabella n.2 è stata rappresentata, attraverso il database DBMI04, la intensità macrosismica osservata "Is" del terremoto avvenuto il 25.02.1695. I punti definiscono la zona in cui il sisma è stato avvertito con maggiore intensità, l'area in cui è stata raggiunta la soglia della distruzione, coinvolgendo pesantemente il territorio da Bassano del Grappa a Valdobbiadene. Negli ultimi due secoli, l'evento più significativo è quello del 12.06.1836, con epicentro nel Bassanese ( Comune di Crespano, poco a Nord della Villa Dalmareta di San Zenone), che ha raggiunto la soglia di danno (Io=6/7 MCS, Mw=5.48).

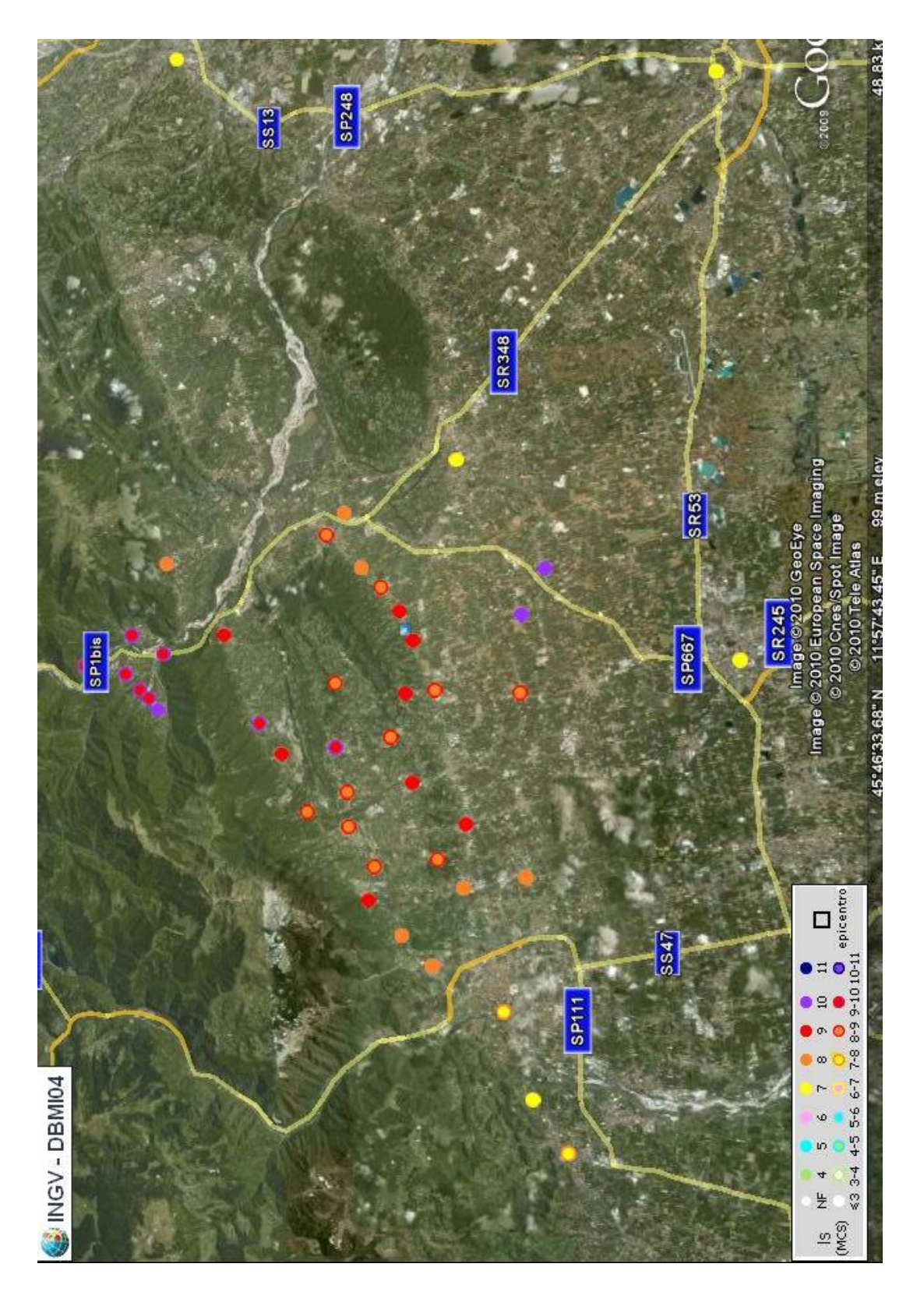


Fig. n.3 - Macrosismicità del terremoto del 25/01695 con epicentro nell'Asolano [45.800, 11.950] (dal catalogo CPTI04

Località	Sc	Lat	Lon	Is
Alano di Piave		45,907	11,91	10
Altivole		45,753	11,96	10
Asola		45,221	10,41	7/10
Asolo		45,801	11,91	9
Bassano del Grappa		45,767	11,73	8/7
Belluno		46,146	12,22	5
Borso del Grappa		45,82	11,8	9
Campo		45,915	11,92	10/9
Casella		45,789	11,92	9/8
Caselle		45,743	11,98	10
Casoni		45,756	11,81	8
Castelcucco		45,831	11,88	10/9
Castelfranco Veneto		45,671	11,93	7
Cavaso del Tomba (Caniezza)	MS	45,863	11,9	10/9
Colmirano		45,911	11,92	10/9
Conegliano		45,887	12,3	7
Cornuda		45,831	12,01	9/8
Coste		45,802	11,96	9
Cremona		45,136	10,02	5
Crespano del Grappa		45,827	11,84	9/8
Crespignaga		45,797	11,94	9
Fener		45,904	11,94	10/9
Fietta		45,844	11,85	9/8
Fonte		45,8	11,86	9
Liedolo		45,791	11,82	9/8
Maser		45,809	11,98	9/8
Monfumo		45,83	11,92	9/8
Montebelluna		45,776	12,05	7
Muliparte		45,817	11,99	8
Mussolente		45,781	11,8	8
Nogarè		45,823	12,02	8
Paderno del Grappa		45,827	11,86	9/8
Pagnano		45,808	11,89	9/8
Pederobba		45,877	11,95	9
Possagno		45,854	11,88	9
Quero		45,921	11,93	10/9
Romano d'Ezzelino		45,795	11,76	8
San Vito		45,755	11,91	9/8
San Zenone degli Ezzelini		45,779	11,84	9
Sant'Eulalia		45,817	11,82	9/8
Segusino		45,918	11,95	10/9
Semonzo		45,807	11,78	8
Valdobbiadene		45,901	12	8
Vas		45,938	11,94	10/9
Vittorio Veneto [Serravalle]		45,982	12,31	7

Tab. n.2 - Macrosismicità del terremoto del 25/01695 con epicentro nell'Asolano [45.800, 11.950] (dal catalogo CPTI04)

La sismicità registrata negli ultimi trent'anni si presenta da bassa a moderata., in termini di magnitudo, e si concentra nella parte superficiale della crosta, entro i 15-18 km di profondità. I terremoti di magnitudo superiore a tre, limite della soglia di percezione, sono localizzati lungo la fascia esterna della catena alpina, nella zona della flessura pedemontana e del Montello. Negli ultimi anni non vi sono stati terremoti di forte intensità, in particolare possiamo elencare i seguenti ( da CRS – centro ricerche sismologiche) :

- zona di Segusino il 23.07.2003 è stato registrato un evento sismico di magnitudo 2.2;
- zona di Cavaso del Tomba il 06.04.2004 è stato registrato un evento sismico di magnitudo 2.1;
- zona di Castelfranco V.to il 29.09.2004 è stato registrato un evento sismico di magnitudo 2.8;
- zona di Valdobbiadene il 04.12.2004 sono stati registrati eventi sismici di magnitudo compresa tra 2.9 e 3.3;
- zona di Cavaso del Tomba il 25.09.2006 è stato registrato un evento sismico di magnitudo 2.6;
- zona di Cavaso del Tomba il 05.01.2007 è stato registrato un evento sismico di magnitudo 2.3;
- zona di Segusino il 06.02.2007 è stato registrato un evento sismico di magnitudo 2.1;
- zona di Bassano del Grappa il 25.04.2008 è stato registrato un evento sismico di magnitudo 2.8;
- zona di Valstagna il 29.08.2008 è stato registrato un evento sismico di magnitudo 2.4;
- zona di Montebelluna il 09.10.2008 è stato registrato un evento sismico di magnitudo 3.3;
- zona di Campolongo di Brenta Bassano del Grappa il 09.11.2009 è stato rilevato un evento sismico di magnitudo 3.4;
- zona Crespano-Paderno del Grappa il 06.12.2009 sono stati registrati eventi sismici di magnitudo compresa tra 2.5 e 3.3.
- zona di M. Grappa il 07.07.2010 è stato registrato un evento sismico di magnitudo 2.2.
- zona di M. Grappa il 29.06.2011 è stato registrato un evento sismico di magnitudo 2.7.

- Zona Cornuda-Montebelluna (loc. Ponte di Pietra) il 30.07.2011 è stato registrato un evento sismico di magnitudo 2.0.
- Zona Cornuda-Maser (sud/est Sant. Madonna della Rocca) il 31.07.2011 è stato registrato un evento sismico di magnitudo 2.1.

#### 3. SORGENTI SISMOGENETICHE RESPONSABILI DI TERREMOTI

Il quadro sismotettonico disponibile sino alla metà degli anni '90 era dominato da un rilevante cilindriamo, con fronti di accavallamento, ritenuti attivi durante il Quaternario nella loro interezza, senza evidenze di segmentazione (v. Fig.5 Castaldini-Panizza). Da Sud a Nord si trattava del sovrascorrimento di Sacile, di quello di Aviano, del Bassano-Valdobbbiadene e a Nord della linea di Belluno-sovrascorrimento periadriatico.

Verso la fine degli anni '90 sono iniziate delle ricerche geologico-strutturali, sul fronte pliocenico (7-1.5 milioni di anni fa) - quaternario (1.5 milioni all'attuale) nell'Italia Nord Orientale e sul suo potenziale sismogenetico; con tale studio sono stati ridefiniti l'architettura del fronte sepolto della pianura friulano-veneta, lo schema dei rapporti fra i sovrasorrimenti paleocenici dinarici WSW-vergenti e quelli neoalpini SSE-vergenti e il quadro dell'evoluzione miocenica superiore-quaternaria dell'area.

Lo schema strutturale aggiornato del fronte pliocenico-quaternario (v. fig. 6) evidenzia la segmentazione del fronte stesso in un sistema di "thrust" arcuati, in massima parte ciechi e spesso caratterizzati da rampe oblique, mediante le quali un "thrust" si accavalla lateralmente su un altro. Analisi morfotettoniche e neotettoniche applicate a tali strutture hanno permesso in vari casi di datarne l'attività e di definirne la cinematica quaternaria.

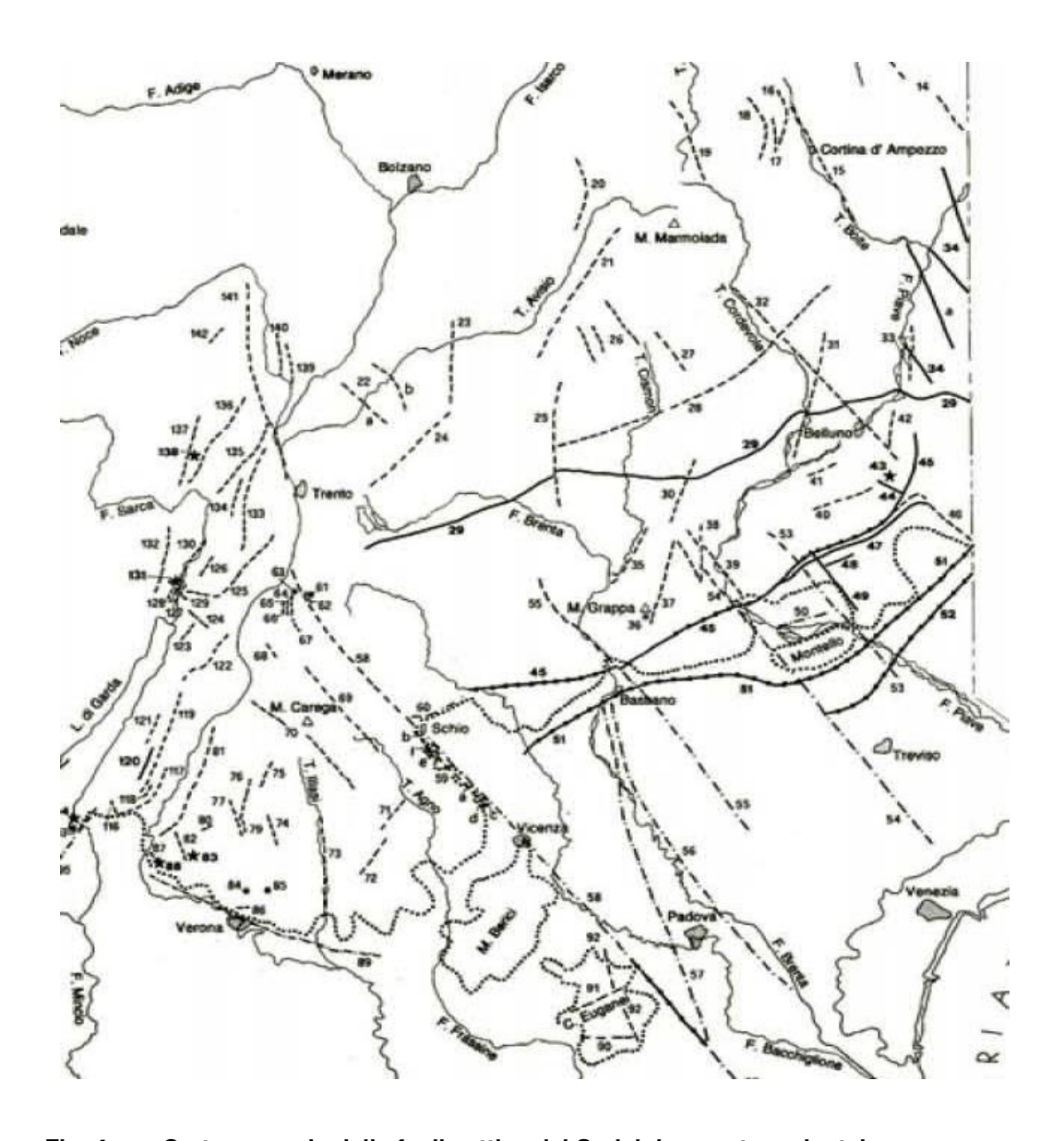


Fig. 4 - Carta generale delle faglie attive del Sudalpino centro-orientale (da Castaldini-Panizza - 1991)

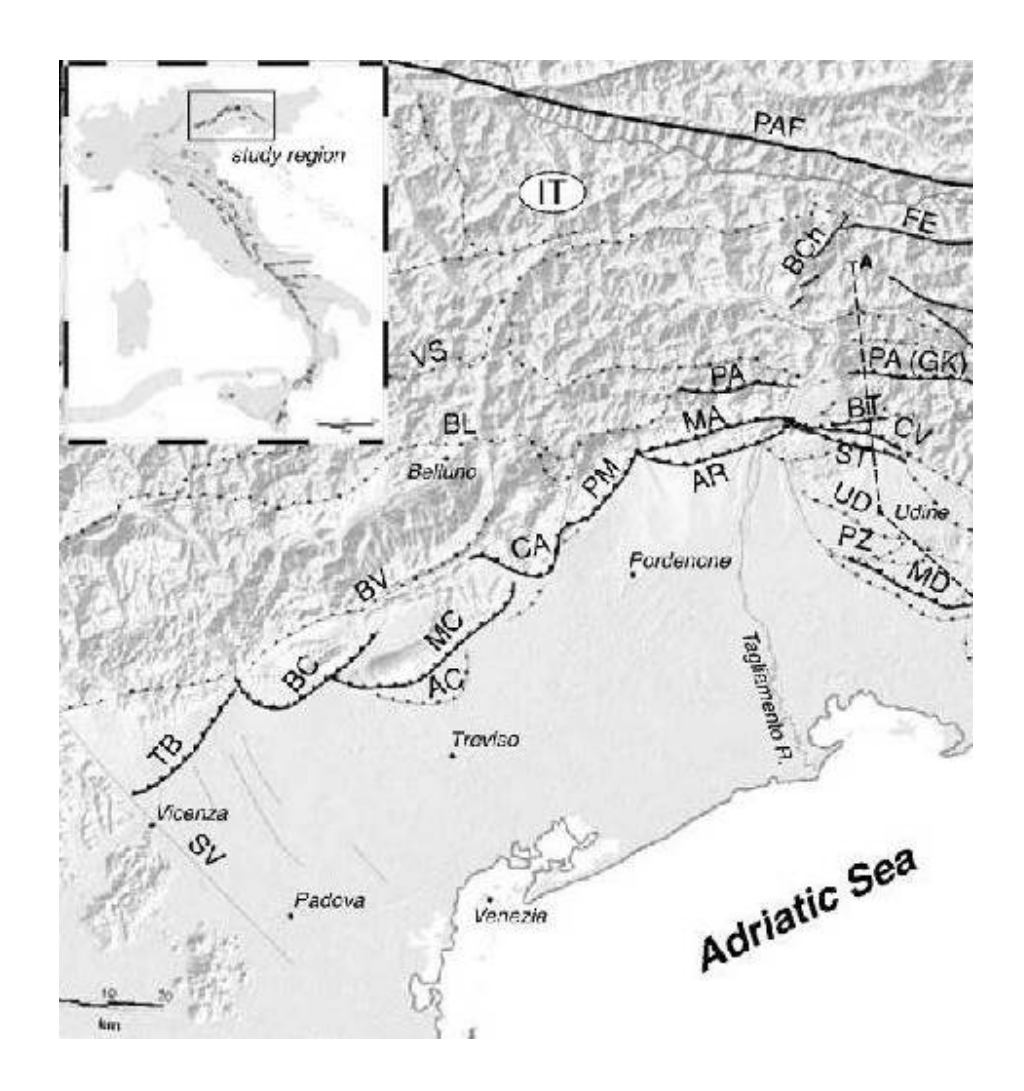


Fig. 5 - Schema strutturale semplificato del Sudalpino orientale (da Burrato e altri - 2009).

Legenda: BC=sovrascorrimento Bassano-Cornuda; BV= sovr. Bassano-Valdobbiadene;
TB= sovr. Thiene- Bassano; MC: sovr. Montello-Conegliano; AC: sovr. Arcade.

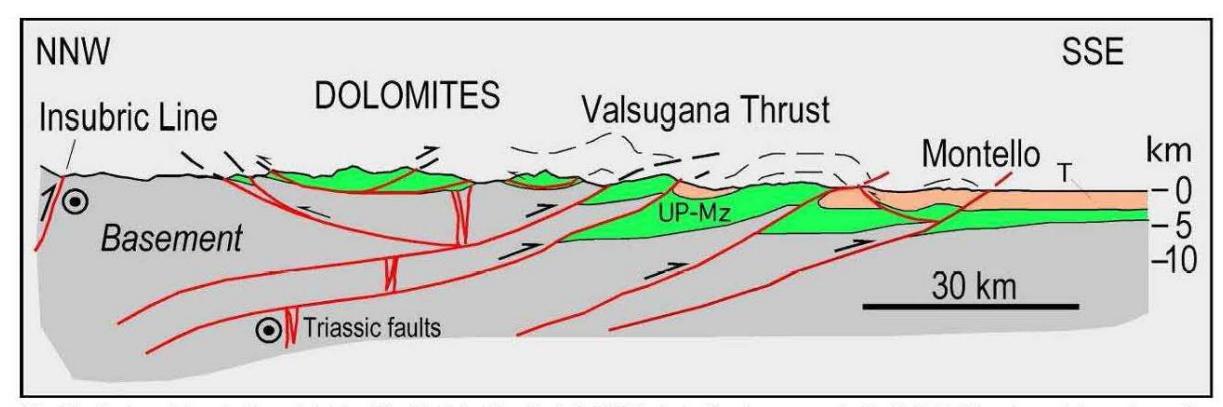
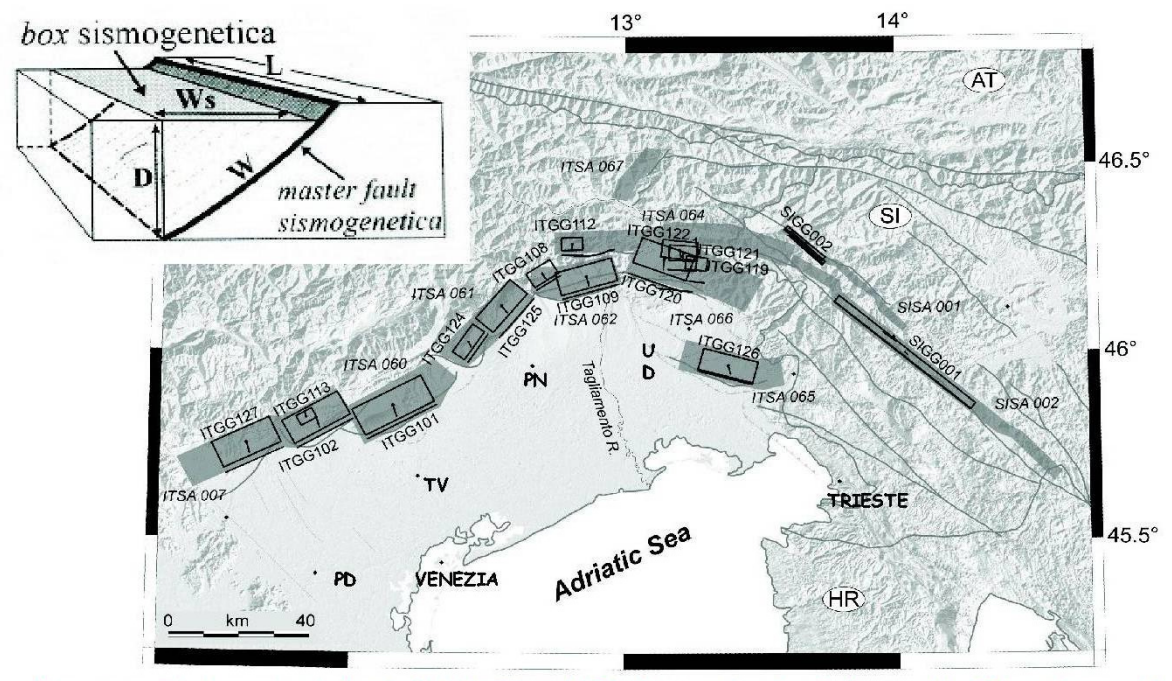


Fig. 18 - Sezione del ventaglio embriciato delle Alpi Meridionali, dalla Val Pusteria alla pianura veneta. Le Vette Feltrine, immediatamente a sud del pop-up delle Dolomiti, sono a letto del sovrascorrimento della Valsugana. UP-Mz, Permiano superiore-Mesozoico; T, Cenozoico (da Doglioni & Carminati, 2008).

Fig. 6 – Sezione geologico strutturale rappresentativa

In figura n. 8 è rappresentato lo schema dei segmenti ritenuti attivi, accompagnati dalla proiezione in superficie del piano di rottura rettangolare. In particolare per l'area del trevigiano Nord-occidentale e il feltrino, evidenziamo tre sorgenti sismogenetiche:

- ITGG101 (Montello) alla quale non è associato alcun terremoto significativo (zona silente), ed è associata all'area sismogenetica ITSA060 Montebelluna Montereale;
- ITGG113 (Monte Grappa) a cui è associato il sisma del 12.06.1836 con epicentro nel Bassanese; appartiene all'area sismogenetica ITSA007 Thiene-Cornuda;
- ITGG102 (Bassano-Cornuda) a cui è associato il sisma del 25.02.1695 con epicentro nell'Asolano; appartiene all'area sismogenetica ITSA007 Thiene-Cornuda.



Le sorgenti sismogeniche individuate nell'Italia nord-orientale e nella Slovenia occidentale inserite nel DISS - vers. 03 (Database of Individual Seismogenic Sources).

Le <u>sorgenti sismogeniche individuali</u> sono evidenziate in nero. Esse sono rappresentate con un rettangolo che è la proiezione del piano di faglia sulla superficie esterna e da una linea che rappresenta la proiezione della linea di rottura sulla superficie stessa. La freccetta nera all'interno del rettangolo rappresenta la direzione del vettore di movimento (vettore di slip sotto forma di angolo di rake). In grigio le aree con caratteristiche sismogeniche omogenee (<u>aree sismogeniche</u>). (Burrato et al., Tectonophysics, 2008).

Fig. 7 - Sorgenti sismogenetiche dell'Italia Nord-Orientale (Buratto e altri 2008)

In Tab.3 sono riportate le sorgenti sismiche di terremoti di M≥6 e i relativi parametri geometrici e cinematici, dell'area in studio o immediatamente limitrofa. La struttura Montello-Conegliano sembra essere caratterizzata da comportamento silente, sulla base dell'assenza di terremoti storici riferibili alla sua attuazione, mentre per la Thiene-Bassano alcuni autori l'associano al terremoto del 03.01.1117 con epicentro nel Veronese.

ID	Name	LAT	LON	Length (km)	Width (km)	Depth (km)	Strike (°)	Dip (°)	Rake (°)	Slip rate (mm/a)	Associated earthquake	Mw
ITGG127	Thiene- Bassano	45.69	11.54	18.0	9.5	1.0-5.8	244	30	80	0.10-1.00	Unknown	6.6
ITGG102	Bassano- Cornuda	45.75	11.79	18.0	9.5	1.0-6.4	240	35	80	0.70-0.87	25 Feb 1695	6.6
ITGG113	Monte Grappa	45.85	11.85	5.0	3.9	0.5-2.7	60	35	80	0.10-1.00	12 Jun 1836	5.5
ITGG101	Montello	45.88	12.31	22.0	11.2	1.0-8.2	242	40	80	0.47-1.56	Unknown	6.7
ITGG124	Cansiglio	45.98	12.41	10.0	6.4	1.5-6.4	214	50	60	0.52-0.65	18 Oct 1936	6.1

Tab.3 - Caratteristiche sismogenetiche di alcume sorgenti di Fig.8

Le zone sismogenetiche sono state definite in base a uniformità dello stile deformativo e della congruenza cinematica con il modello deformativo. In base alla cartografia ZS9 (v. fig. 9). Le aree del trevigiano settentrionale e del feltrino possono essere associate alle zone 905 e 906, caratterizzate da strutture a pieghe sud-vergenti del Sudalpino orientale e faglie inverse associate; la zona 905 include sorgenti sismogenetiche potenzialmente responsabili di terremoti con magnitudo M>6, e racchiude un'area in cui la frequenza di eventi sismici (anche di magnitudo medio-alte) è nettamente superiore a quella delle zone adiacenti. La zona 905 comprende anche la sorgente del Montello (potenzialmente responsabile di terremoti con M>6), che, in base ai dati attualmente disponibili, è definita come "silente" (cioè mancano, nei cataloghi disponibili, terremoti storici con magnitudo prossima a quella massima attesa). La zona 906 interessa l'area che va da Bassano del Grappa fino a Verona.

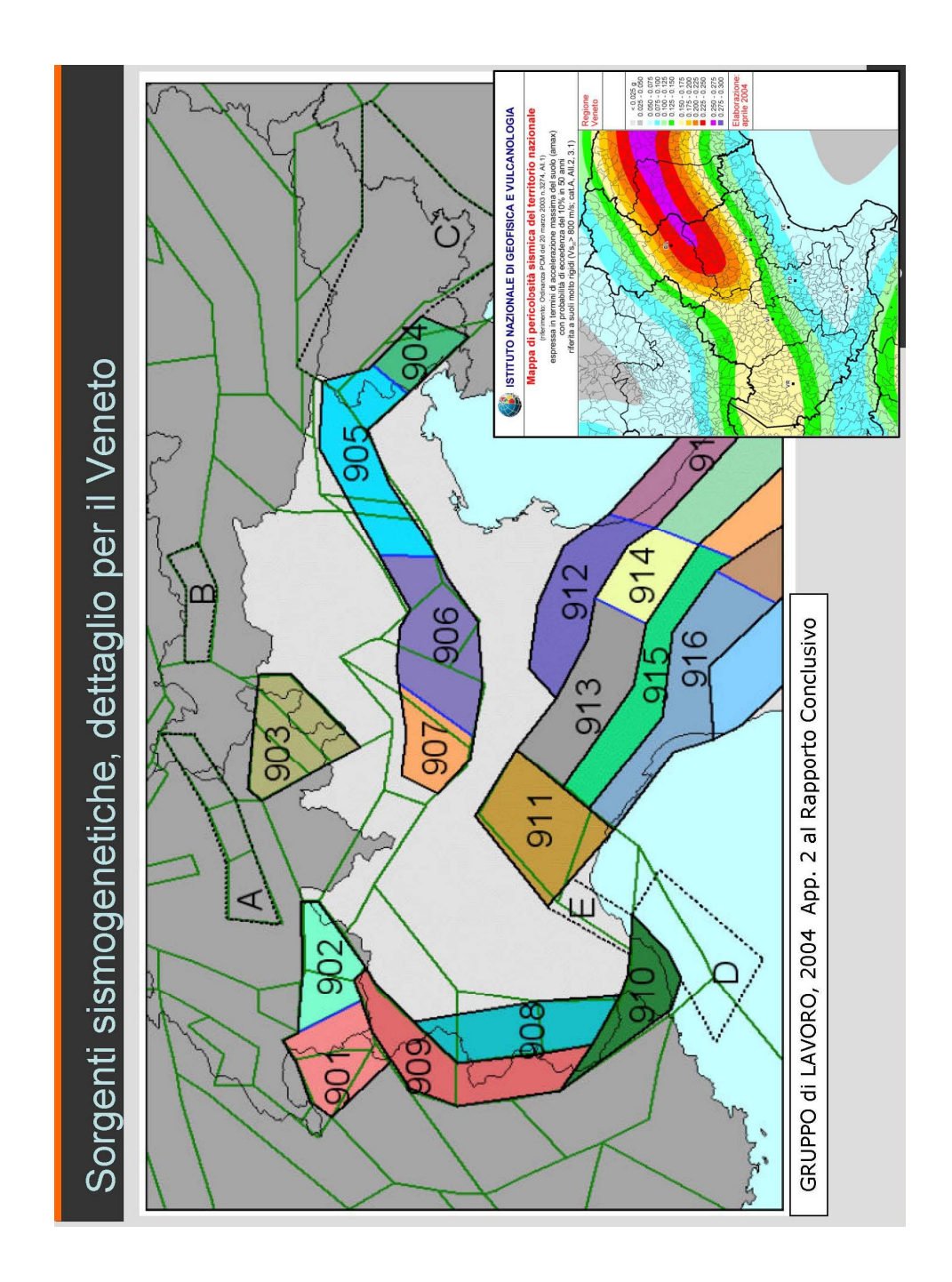


Fig. 8 - Zonazione sismogenetica ZS9 del Veneto

La catena alpina è stata prodotta dalla convergenza della micro-placca Adriatica verso l'Europa; attualmente in corrispondenza del Veneto, il raccorciamento misurabile tramite GPS è dell'ordine di circa 2mm/anno, con una velocità di circa 2 km ogni milione di anni, compatibile con un raccorciamento di circa 20 km per gli ultimi 10 milioni di anni. In particolare nell'area trevigiana è stimabile in circa 1.7 mm/anno (v. fig. 10).

## Accumulo di Deformazione Attraverso le Alpi Meridionali

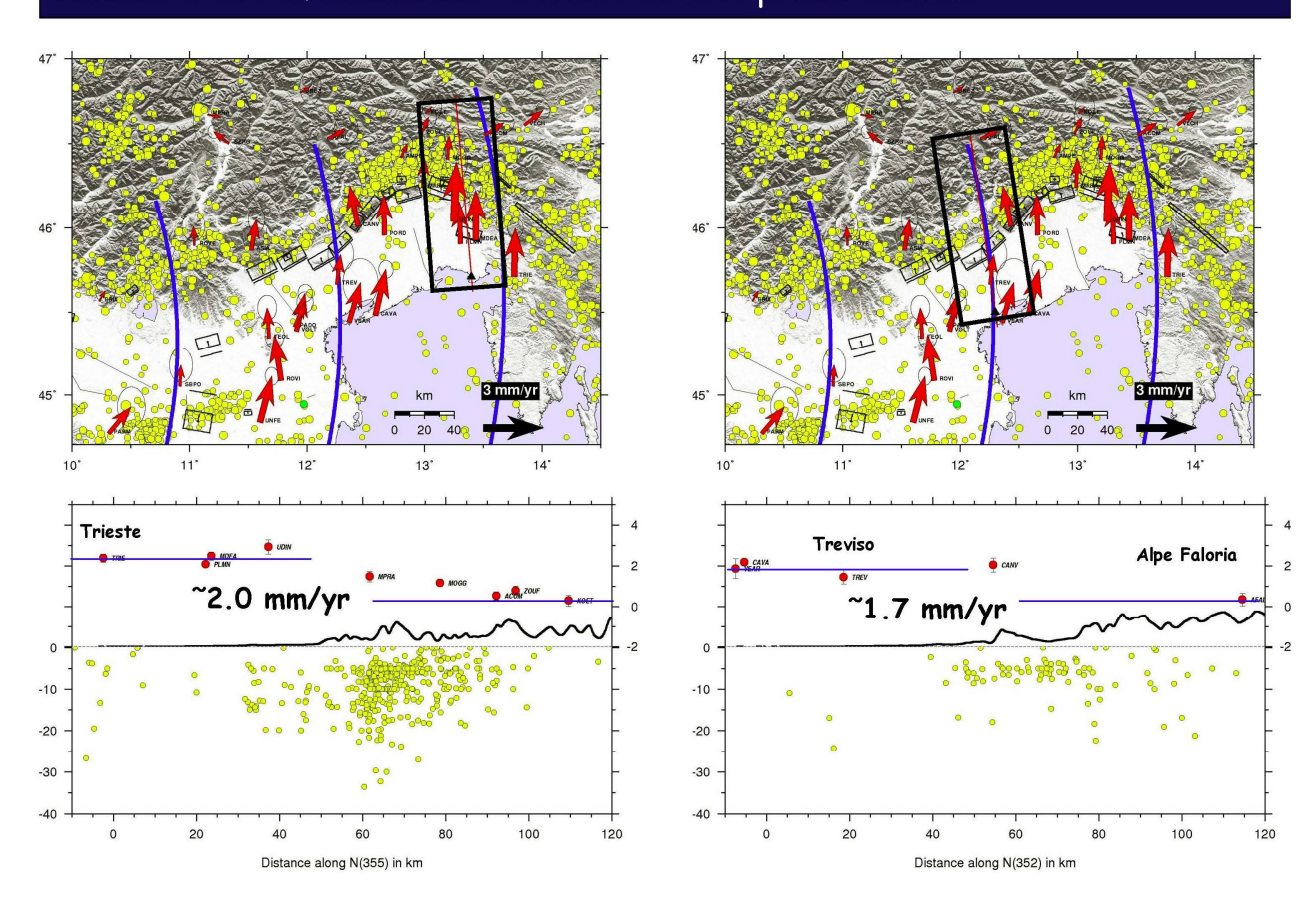


Fig. 9 - Accumulo di deformazione attraverso le Alpi Meridionali, con evidenziate l'area

Trieste- Salzburg e Treviso-Belluno (E. Serpelloni –2008)

#### 4. PRINCIPALI FAGLIE NELL'AREA ASOLANA

Nella Fig. 11 sono indicate le faglie capaci, nell'area del Feltrino, dal progetto Ithaca (Italy Hazard from Capable Faults) aggiornato all'Aprile 2010.

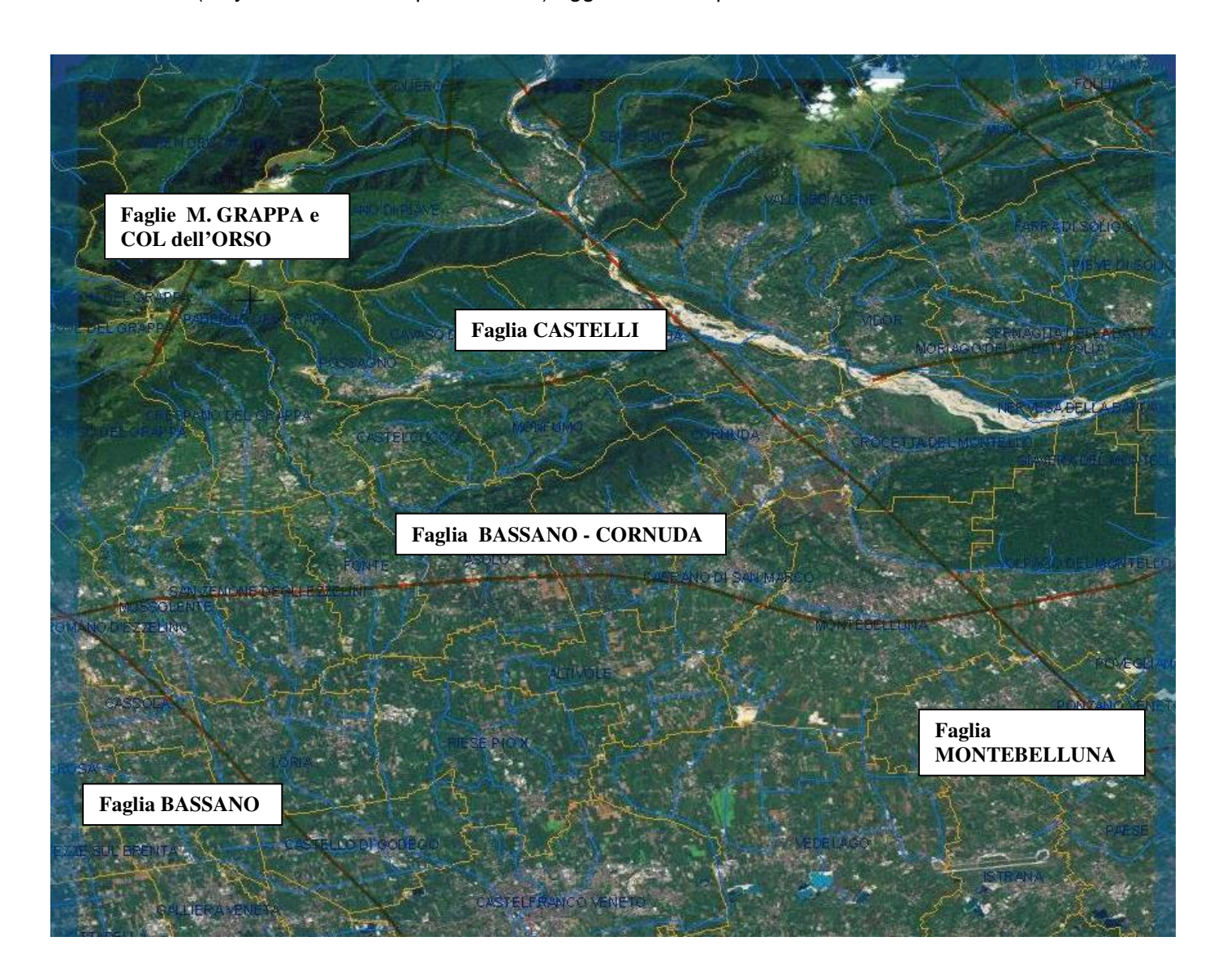
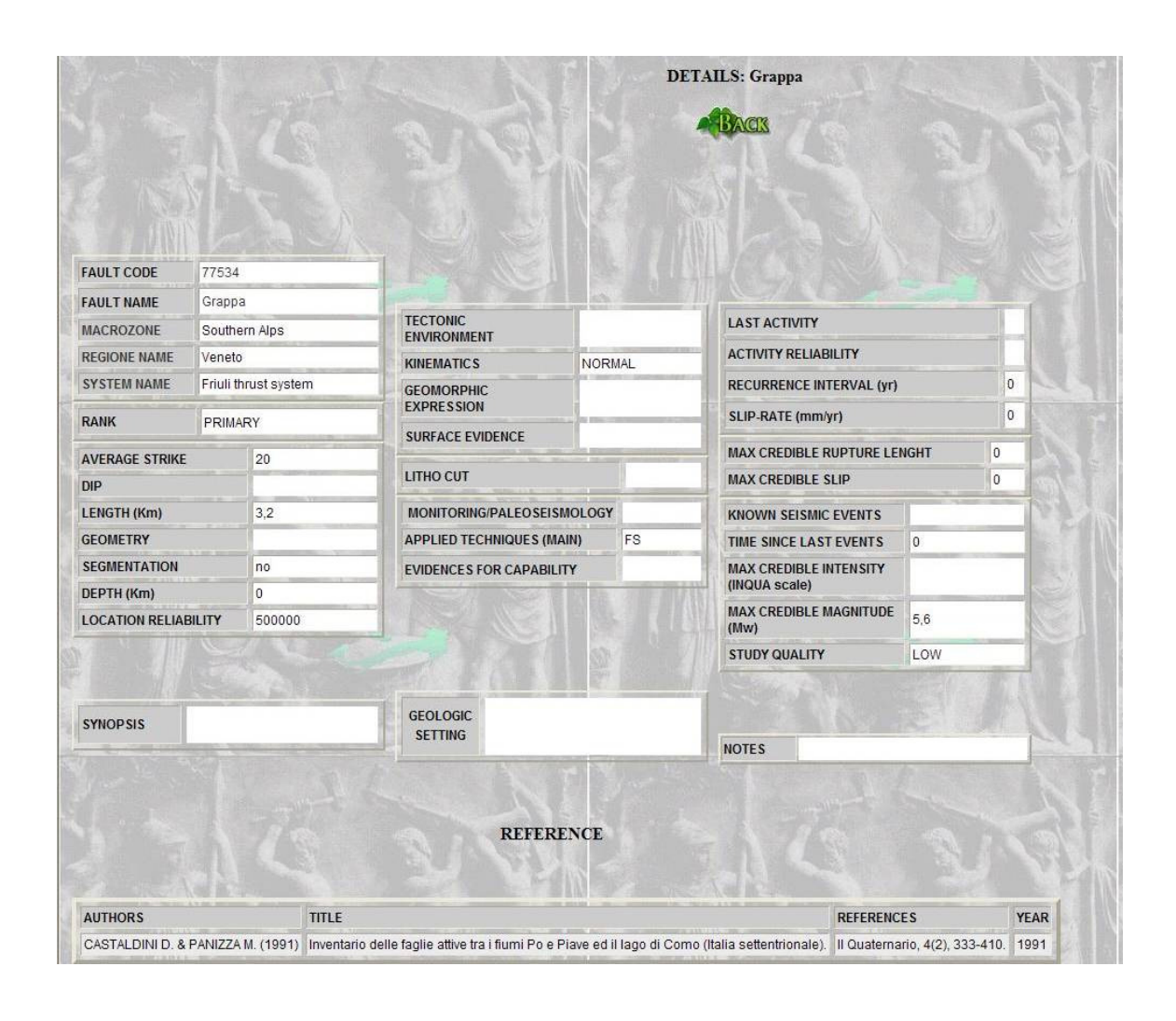


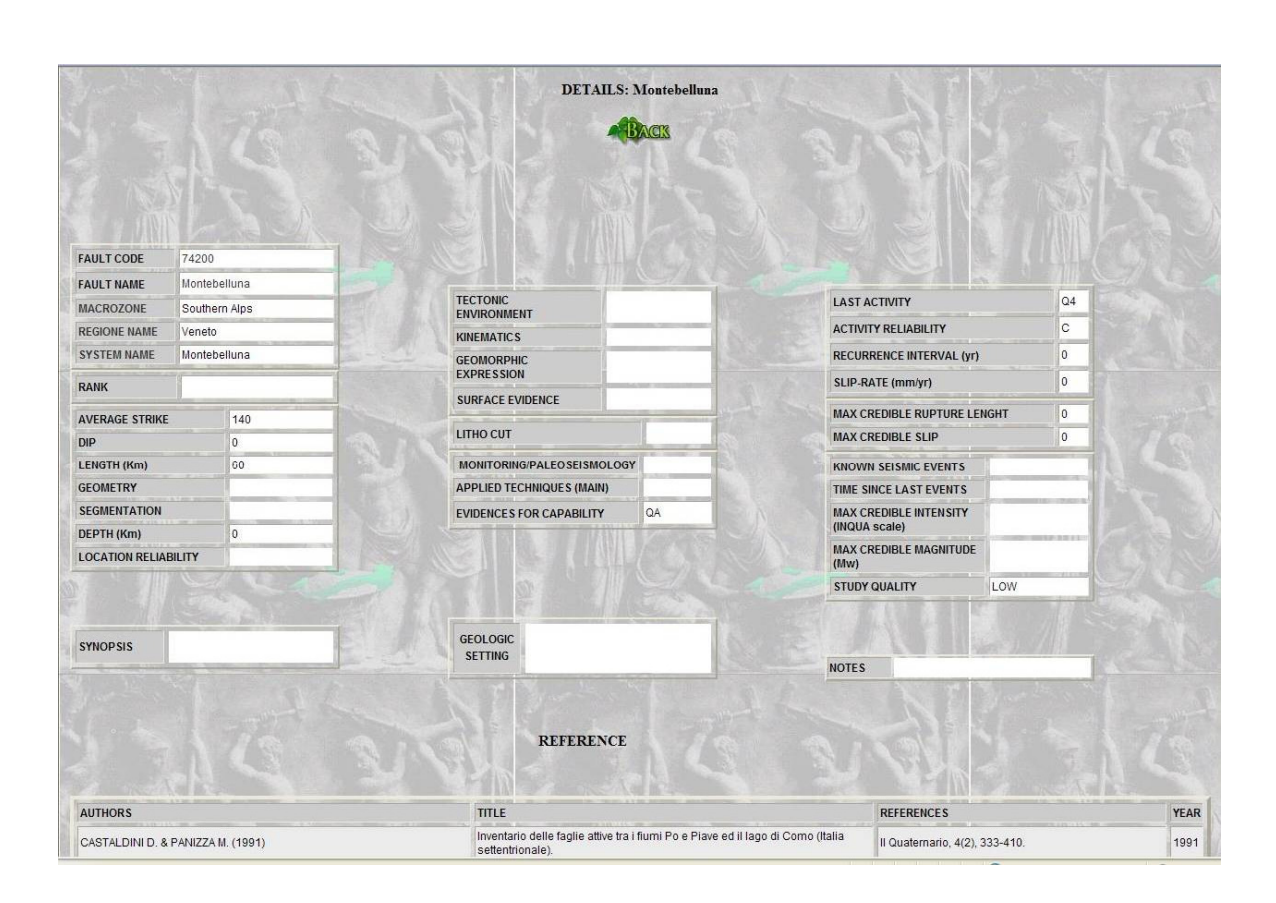
Fig. 10 - Faglie attive nell'area Asolana dal progetto Ithaca (Italy Hazard from Capable Faults) – le linee gialle sono i confini comunali, quelle marrone le faglie.

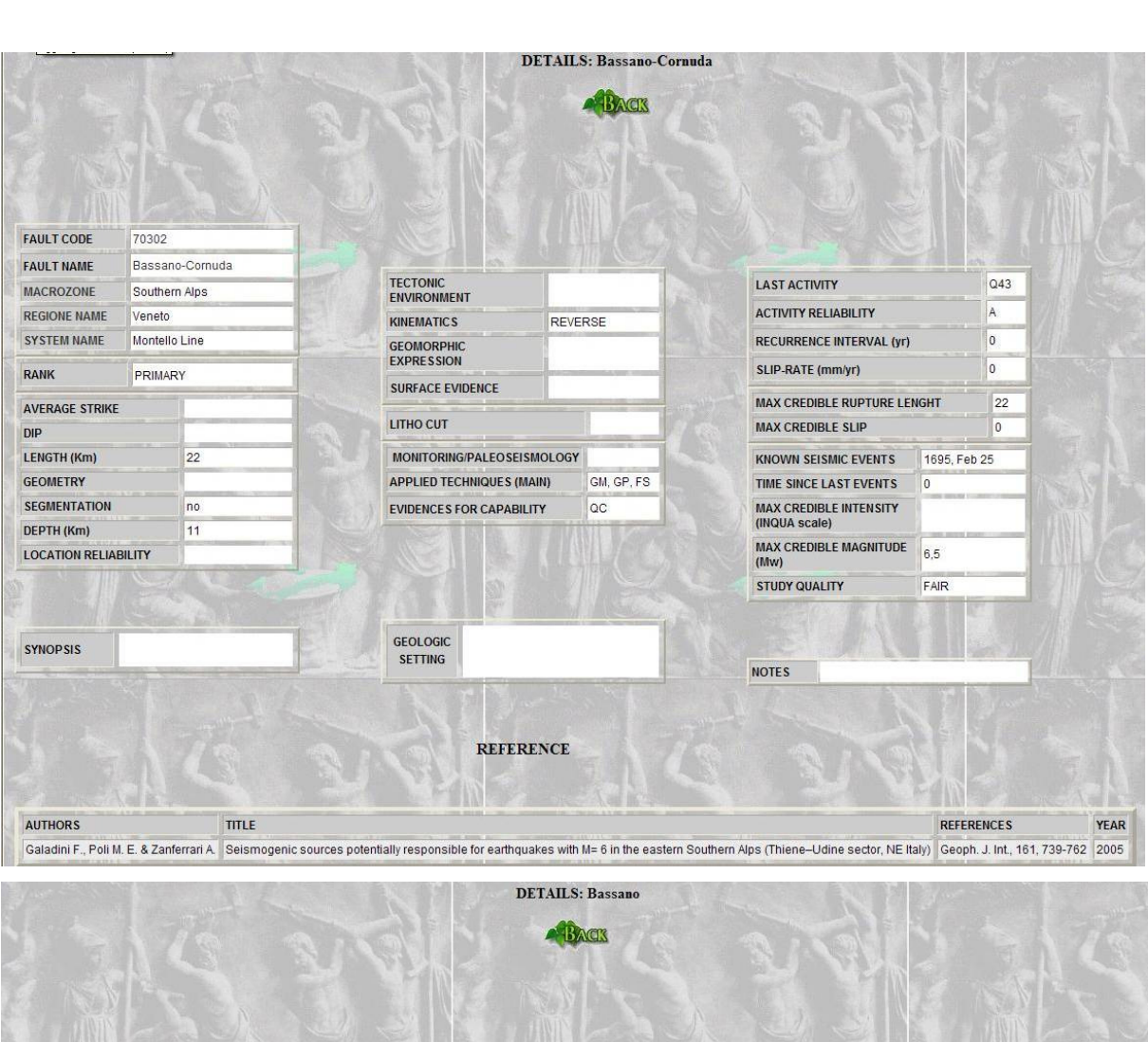
In Fig. 11 sono rappresentate le seguenti lineazioni principali, che interessano il territorio pedemontano del Grappa a Ovest del Fiume Piave:

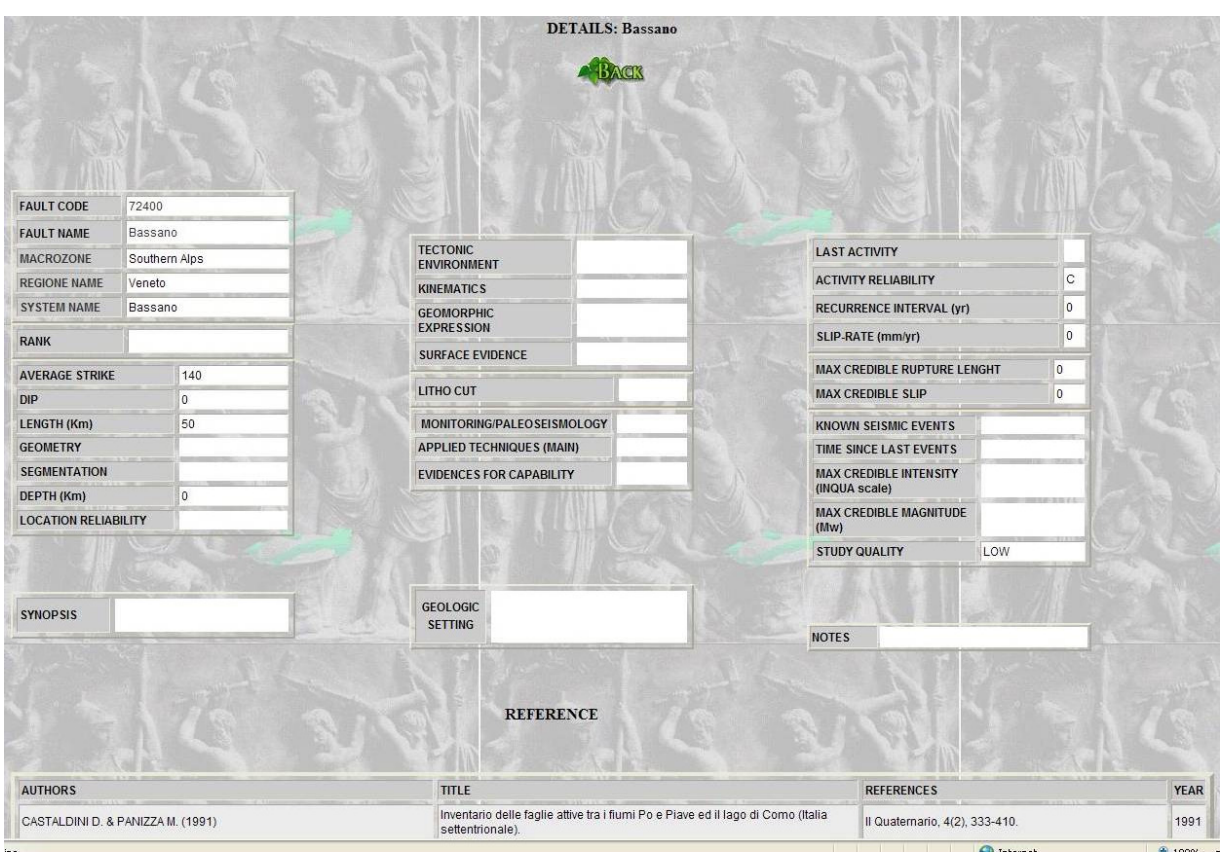
- "Cima Grappa Col dell'Orso" e "Grappa" presenti nella zona orientale del M.
   Grappa (Borso-Crespano-Paderno del Grappa), con andamento SO-NE;
- "Montebelluna" ubicata nei comuni di Montebelluna-Cornuda-Pederobba, con andamento NO-SE;
- "Bassano-Cornuda" interessa i comuni di Romano d'Ezzelino-Mussolente-S.Zenone-Fonte-Asolo-Maser- Caerano-Montebelluna, con andamento ENE-OSO e immersione NO;
- "Bassano" presente nei comuni di Romano d'Ezzelino-Cassola-Castello di Godego, con direzione NO-SE.
- "Castelli" ubicata nei comune di Cavaso-Monfumo-Pederobba, con direzione ENE-OSO.



			DETAILS	8: Cima Grappa - Col dell'Orso						
				<b>ABACK</b>						
FAULT CODE	75200									
FAULT NAME	Cima Grappa - Col dell'Orso									
MACROZONE	Southern Alps		CTONIC VIRONMENT		LAS	T ACTIVITY				
REGIONE NAME	Veneto		IEMATICS	NORMAL	ACTIVITY RELIABILITY			c		
SYSTEM NAME	Cima Grappa - Col dell'Orso System	GE	OMORPHIC		RECURRENCE INTERVAL			0		
RANK			PRESSION		SLIF	P-RATE (mm/yr)		0		
	1	SU	RFACE EVIDENCE		MAX	CREDIBLE RUPTURE LENG	SHT 0			
AVERAGE STRIKE 20 DIP 0		ш	LITHO CUT		MAX	MAX CREDIBLE SLIP 0				
LENGTH (Km)	9	Me	MONITORING/PALEOSEISMOLOGY		KNC					
GEOMETRY		AP	PLIED TECHNIQUES	(MAIN)	TIME SINCE LAST EVENTS					
SEGMENTATION		EV	EVIDENCES FOR CAPABILITY			MAX CREDIBLE INTENSITY (INQUA scale)				
DEPTH (Km)	0				MAX	CREDIBLE MAGNITUDE				
LOCATION RELIAE	BILITY				(Mw		LOW	- 67/4		
					SIU	DY QUALITY	LOW			
	1.4	GE	OLOGIC							
SYNOPSIS		S	ETTING		NOTE	NOTES				
			N N				140			
		20	REFE	RENCE	3	了》				
AUTHORS			TITLE			REFERENCES		Ŋ		
CASTALDINI D. &	PANIZZA M. (1991)		Inventario dell (Italia settentri	e faglie attive tra i fiumi Po e Piave ed onale).	il lago di Como	Il Quaternario, 4(2), 333-4	110.			







					DH	ETAILS: Castelli				
						BACK				
FAULT CODE	77535									
FAULT NAME	Castelli		TECTONIC			LAST ACTIVITY			1	
MACROZONE	Southern Alps	E	ENVIRONMENT					-	4	
REGIONE NAME	Veneto		KINEMATICS	REVE	RSE	ACTIVITY RELIABILITY			-13	
SYSTEM NAME	Friuli thrust sy	stem	GEOMORPHIC EXPRESSION			RECURRENCE INTERVAL	(yr)	0	and the same	
RANK	PRIMARY		SURFACE EVIDENCE			SLIP-RATE (mm/yr)				
AVERAGE STRIKE	70	100	SURFACE EVIDENCE				E LENGHT	0		
DIP			LITHO CUT			MAX CREDIBLE SLIP			3	
LENGTH (Km)	3,2		MONITORING/PALEO SEISMOLOGY			KNOWN SEISMIC EVENT	s	-	100	
GEOMETRY			APPLIED TECHNIQUES (MAIN)		FS	TIME SINCE LAST EVENT	TIME SINCE LAST EVENTS 0			
SEGMENTATION	no		EVIDENCES FOR CAPABILITY			MAX CREDIBLE INTENSI	Y		1	
DEPTH (Km)	0			I DI BE	THE REAL PROPERTY.	(INQUA scale)			- 1	
LOCATION RELIA	BILITY 5000	000				MAX CREDIBLE MAGNIT	JDE 3,5		1/2	
						STUDY QUALITY	LOW		A	
						The state of the s		03.00	1	
SYNOPSIS			GEOLOGIC							
31NOF 313			SETTING			NOTES				
			REFER	RENCE						
AUTHORS	W1 E-	TITLE				REFE	ENCES		YEAR	
Take a second se	PANI77A M /100	The second second	o delle faglie attive tra i fiumi Po e	Piave ed il	Jago di Cor	The state of the s	NAME OF TAXABLE PARTY.	333-410	1991	

Tab.4 - Faglie attive nell'area Asolana dal progetto Ithaca (Italy Hazard from Capable Faults-2008)

La presenza di "faglie attive" nel territorio Asolano, è stato effettuato da dati bibliografici, attraverso i tabulati sopra allegati (v. Tab.4), presenti nel progetto Ithaca (Italy Hazard from Capable Faults):

NOME DELLA FAGLIA	ULTIMA ATTIVITA'	POSSIBILITA' CHE LA FAGLIA SI RIATTIVI IN FUTURO
Cima Grappa – Col dell'Orso	/	С
Grappa	/	/
Montebelluna	Q4 - Olocene	С
Castelli	/	/
Bassano-Cornuda	Q43	A
Bassano	/	С

Si sottolinea che l'individuazione delle faglie attive e capaci è di fondamentale importanza. Per faglia attiva si intende una faglia che si è rotta almeno una volta negli ultimi 40.000 anni (limite inferiore certo dalle datazioni radiometriche). Una faglia attiva è detta capace se raggiunge la superficie producendo una frattura del terreno; l'andamento di questa rottura in superficie è la superficie della faglia (v. cap. 3.1.4 "Indirizzi e criteri di microzonazione sismica –2008 Conferenza Stato Regioni).

#### 5. INDAGINI IN SITO

La Carta delle indagini "S2" deriva dalla raccolta, dalla rappresentazione cartografica e archiviazione di elementi puntuali e lineari rappresentativi delle indagini geognostiche, geotecniche, idrogeologiche e geofisiche eseguite nel territorio di interesse. Sono state cartografate le indagini allegate al PAT e altre reperite, presso gli uffici comunali. Sono state eseguite anche misure geofisiche in sito.

#### 5.1 Sondaggi e prove penetrometriche

Allo scopo di definire le esatte caratteristiche litologiche e geotecniche del sottosuolo sono state allegate e cartografate le seguenti indagini in sito:

- Sondaggi (v. allegato n.1): sono stati allegate n.6 stratigrafie di sondaggi.
- Trincee esplorative (v. allegato n.2): sono stati allegate n.35 trincee esplorative.
- Prove Penetrometriche (v. allegato n.3): sono stati allegate n.4 prove penetrometriche dinamiche.

#### 5.2 Prove geofisiche

Per ottenere la caratterizzazione del sottosuolo ai fini della definizione dell'azione sismica di progetto, la normativa prevede il calcolo del parametro Vs<sub>30</sub>, indicando come metodologia di elezione la misura della velocità delle onde di taglio ed in subordine la prova SPT e, nei mezzi coesivi, il valore della *cu*. Detto parametro si calcola attraverso la relazione:

#### $Vs_{30}=30/\Sigma_{i=1,N} h_1/V_1$

dove  $h_1$  e  $V_1$  indicano lo spessore in metri e la velocità delle onde di taglio (per deformazioni di taglio  $\gamma < 10^{-6}$ ) dello strato *i* esimo per un totale di N strati presenti nei 30 metri superiori. Si ricorda che la velocità delle onde di taglio (Vs) è quella che meglio di ogni altro parametro fisico caratterizza i materiali dal punto di vista del loro comportamento meccanico.

In modo più coerente con le caratteristiche dei processi fisici responsabili dei fenomeni di amplificazione del moto sismico, le "Linee Guida per la Microzonazione Sismica -2008" hanno individuato (per la definizione di carte di II livello) parametri dinamici simili ma con importanti differenze in merito:

- Andamento della velocità delle onde S (Vs) fino al basamento, ovvero fino alla profondità alla quale le velocità Vs>800 m/sec: questa informazione viene utilizzata per dedurre il valore medio di Vs fino al basamento sismico.
- In assenza di questa informazione, valore del periodo proprio (frequenza di risonanza) delle coperture, accompagnato da una stima affidabile della profondità del substrato geologico, oppure da una stima della velocità media VsH delle onde S fino al primo contrasto significativo nei valori di impedenza sismica, purchè questo corrisponda ad un transazione brusca ad un substrato da Vs>600 m/sec.

Sono stati perciò realizzati profili ReMi e MASW, e test di Nakamura (HVSR) per la misura della curva di risposta elastica del terreno ovvero per i seguenti obiettivi:

- ricostruire la stratigrafia sismica del sottosuolo;
- stimare il profilo della velocità delle onde di taglio (Vs) per fornire indicazione della categoria di suolo di fondazione secondo le Norme Tecniche per le Costruzioni (DM 14.01.2008);
- caratterizzare le frequenze fondamentali di risonanza del sottosuolo.

Il tipo di stratigrafia che le tecniche di sismica effettuate possono restituire si basa sul contrasto d'impedenza. Per strato s'intende un'unità distinta da quelle sopra e sottostanti per un contrasto d'impedenza, ossia per il rapporto tra i prodotti di velocità delle onde sismiche nel mezzo e densità del mezzo stesso.

I punti di misura a stazione singola e gli stendimenti sismici, sono rappresentati in TAV "S2". Quelle a stazione singola (HVSR) sono state effettuate ponendo il Nord strumentale secondo il Nord magnetico. Nella elaborazione dei dati, si eseguono prima gli array (ReMi e MASW), in quanto servono da vincolo per l'inversione delle curve H/V, derivanti dalle prove a stazione singola (HVSR). Si sottolinea che le tecniche in array, si fondano sull'assunto di sottosuolo a strati piani e paralleli; questo è un requisito fondamentale per l'inversione dei dati sperimentali. Al fine di verificare se l'assunto sia o meno soddisfatto è buona norma effettuare alcune registrazioni a

stazione singola in punti diversi lungo lo stendimento, o ripetere le misure ReMi lungo altre direzioni e confrontare le curve di dispersione ottenute.

#### 5.2.1 Indagine sismica mediante la tecnica "MASW"

Il metodo d'indagine MASW, basato su un'energizzazione sismica artificiale del suolo e sull'analisi spettrale delle onde di Rayleigh presenti nel segnale, consente di ricostruire il modello sismostratigrafico del sottosuolo. La propagazione delle onde, nel caso di mezzi stratificati e trasversalmente isotropi, avviene in maniera diversa rispetto al caso di mezzi omogenei, non esiste più un'unica velocità, ma ogni frequenza è caratterizzata da una diversa velocità di propagazione, a sua volta legata alle varie lunghezze d'onda che interessano il terreno a diverse profondità e che risultano influenzate dalle caratteristiche elastiche. Questo comportamento viene definito "dispersione" ed è fondamentale nello sviluppo dei metodi sismici che utilizzano le onde di superficie.

Le lunghezze d'onda più grandi corrispondono alle frequenze più basse e vanno a interessare il terreno più in profondità, quelle più piccole, che sono associate alle frequenze più alte, rimangono nelle immediate vicinanze alla superficie. Lo studio dello spettro della velocità derivante dall'analisi di un sismogramma registrato, consente di definire la "curva di dispersione" che associa ad ogni frequenza la velocità di propagazione dell'onda. Tale curva è estraibile (picking) dallo spettro del segnale, poiché essa approssimativamente posa sui massimi del valore assoluto dello spettro.

In particolare, utilizzando specifiche tecniche di analisi spettrale risulta possibile identificare non solo il modo di vibrazione fondamentale, ma anche gli eventuali modi superiori e definire le curve di dispersione. Queste curve andranno interpretate ed invertite, per ricavare informazioni utili sul profilo di velocità nel sottosuolo. La profondità d'investigazione dipende dalla massima lunghezza d'onda misurata, questa determina la massima profondità di esplorazione. A parità di velocità di propagazione "VR" la lunghezza d'onda (L) dipende dalla frequenza (f) di vibrazione considerata 
L= VR /f. Quindi la massima lunghezza d'onda misurabile dipende dalla minima frequenza osservabile. L'esperienza mostra che le sorgenti artificiali risultano povere delle basse frequenze, in pratica, scendere sotto i 10 Hz è assai difficile e implica che lunghezze d'onda maggiori di 40-50 metri (e quindi h>30 metri) sono difficilmente utilizzabili con sorgenti artificiali. Una stima conservativa della

profondità d'investigazione indica un valore pari a circa 1/3-1/2 della massima lunghezza d'onda misurabile, quindi la profondità massima raggiungibile è dell'ordine della grandezza delle dimensioni dello stendimento. Per superare questo problema si utilizzano le sorgenti e/o vibrazioni naturali o antropiche (tecniche passive, esempio ReMi – HVSR).

La tecnica MASW sottintende un metodo interpretativo indiretto attraverso il quale, a partire dalla curva di dispersione rilevata, si arriva al modello di stratificazione del terreno con i relativi parametri sismici. La procedura è articolata in tre passi successivi:

- acquisizione, registrazione e analisi dei dati sismici, contenenti le onde di Rayleigh per un intervallo sufficientemente ampio di frequenze;
- individuazione sullo spettro, della curva di dispersione funzione delle caratteristiche geosismiche del terreno;
- ullet inversione, ovvero reiterazioni successive per la definizione di un modello geosismico finale, le cui caratteristiche (densità e  $V_s$ ) meglio si approssimano a quelle reali.

Dal punto di vista esecutivo, le acquisizioni sono state effettuate con stendimenti lineari, in cui i geofoni sono collocati su una linea retta, ad una distanza reciproca costante, determinata dalle condizioni geologiche e logistiche. E' importante che non vi siano variazioni stratigrafiche laterali nell'ambito della lunghezza dello stendimento e che lo stesso non subisca brusche variazioni di quota. La sorgente è stata posizionata esternamente allo stendimento (prima del primo geofono G1), e sempre in asse con esso.

Per l'acquisizione di questo tipo di dati, eseguiti dallo scrivente (M6) è stato utilizzato il software SoilSpy Rosina.

Operativamente sono stati realizzati dieci stendimenti e utilizzati geofoni a bassa frequenza (4,5 Hz), con spaziatura di tre metri, la lunghezza dell'array è di 24 metri. Nello studio del sito in questione è stata adottata la tecnica sopradescritta e l'elaborazione dei dati, eseguita dallo scrivente, è stata facilitata dall'uso di un software dedicato denominato *Grilla*.

#### 5.2.2 Indagine sismica mediante la tecnica dei microtremori "ReMi"

Le tecniche correntemente usate per la stima della velocità di taglio per caratterizzare un sito sotto il profilo della risposta sismica sono troppo costose per essere impiegate come indagine di routine negli studi di microzonazione. In particolare esse richiedono l'adozione di sorgenti di elevata energia per essere significative in ambienti rumorosi, come quelli urbani, o registratori indipendenti da disporre in estesi stendimenti.

La tecnica qui adottata (ReMi = Refraction Microtremor) si basa sulla constatazione che le registrazioni del rumore di fondo ambientale, fatte con uno stendimento sismico "tradizionale" per rifrazione, possono essere utilizzate, con un opportuno trattamento numerico, per stimare la velocità delle onde di taglio Vs fino a profondità che possono essere superiori a 100 metri con una precisione del 20%. Questa metodologia studiata e sperimentata da J.N. Louie del Seismological Laboratory and Dept. Of Geological Sciences dell'Università del Nevada, si basa su due idee cardine, la prima delle quali è quella che molti sistemi di acquisizione di sismica a rifrazione (con dinamica a 24 bit) sono in grado di registrare onde di superficie con frequenze fino a 2 Hz, la seconda è quella che una semplice trasformata bidimensionale (p-f) slowness (1/Velocità) frequenza della registrazione di un rumore di fondo (microtremor) è in grado di separare le onde di Rayleigh da altri tipi di onde che compongono il sismogramma rendendo possibile il riconoscimento delle vere velocità di fase dalle velocità apparenti. Il profilo verticale delle Vs può essere ricavato per inversione monodimensionale o per modellazione diretta della velocità di fase delle onde di superficie (Rayleigh e/o Love) (Dorman e Ewing, 1962). Le onde di Rayleigh (1885) costituiscono un particolare tipo di onde di superficie che si trasmettono sulla superficie libera di un mezzo isotropo e omogeneo e sono il risultato dell'interferenza tra onde di pressione (P-waves) e di taglio verticali (Sv-waves).

Tali onde sono presenti in natura e sono conosciute con il termine di microtremori. Possono venire accuratamente captate ed analizzate nei loro contenuti cromatici ed energetici con un array geometrico lineare simile a quelli utilizzati nella prospezione sismica classica. In un mezzo stratificato queste onde sono di tipo guidato e dispersivo e vengono definite pseudo-Rayleigh.

La dispersione è un fenomeno indotto dalla deformazione del treno d'onda che produce una variazione di propagazione di velocità con la frequenza. Le componenti a frequenza minore penetrano più in profondità rispetto a quelle a frequenza maggiore, per un dato modo, e presentano normalmente più elevate velocità di fase.

Le registrazioni ottenute sono state analizzate con la seguente metodologia:

- 1) la traccia originaria di circa dieci minuti di durata viene suddivisa in finestre di 10 secondi:
- 2) su ciascuna finestra viene eseguito lo slant-stack per valori diversi di Vs e la trasformata di Fourier, ottenendo così un diagramma "velocità di fase dell'onda di Rayleigh" "frequenza", il cui massimo energetico indica la curva di dispersione della velocità di fase delle onde di Rayleigh. Poiché la direzione prevalente (se esiste) delle sorgenti di microtremore non è individuabile in modo univoco da uno stendimento lineare, per evitare di restituire la velocità apparente, il picking della curva di dispersione nei grafici a contouring va effettuato al di sotto della fascia di massima energia.
- 3) Si conservano le sole finestre utili (eliminando quindi quelle in cui compaiono eventualmente solo modi superiori).
- 4) Si produce una curva di dispersione media che può essere invertita tramite confronto con una curva di dispersione teorica derivante da un modello di sottosuolo che va modificato fino ad ottenere una buona somiglianza tra curva sperimentale e teorica.

Per l'acquisizione di questo tipo di dati, eseguita dallo scrivente (R1, R4) è stato utilizzato il software SoilSpy Rosina.

Operativamente sono stati realizzati degli stendimenti e utilizzati geofoni a bassa frequenza (4,5 Hz), con spaziatura di tre metri, la lunghezza dell'array è di 24 metri. Nello studio del sito in questione è stata adottata la tecnica sopradescritta e l'elaborazione dei dati, eseguita dallo scrivente, è stata facilitata dall'uso di un software dedicato denominato *Grilla*.

## 5.2.3 Indagine sismica passiva con tecnica "HVSR" (Horizontal Vertical Spectra Ratio) a stazione singola

La tecnica di indagine adottata a supporto di questo studio e conosciuta come *metodo di Nakamura* (1989), dal nome dello scienziato giapponese che l'ha messa a punto, parte dal presupposto che:

- 1. Il rumore ambientale è generato da riflessioni e rifrazioni di onde di taglio con gli strati superficiali e dalle onde di superficie;
- 2. Le sorgenti di rumore superficiale non interessano il rumore ambientale alla base di una struttura non consolidata;
- 3. Gli strati soffici non amplificano la componente verticale del rumore ambientale: questo è composto da onde di superficie tipo Rayleigh generate dall'interazione del vento con le strutture, dal traffico e da altre attività urbane.

Le funzioni di trasferimento **SE** e **As** che sono rispettivamente l'effetto intrinseco di sito e l'effetto della singola onda Rayleigh possono essere definite come:

#### SE=Hs/Hb As=Vs/Vb

dove **H** e **V** sono gli spettri per le componenti orizzontali e verticali delle registrazioni di rumore ambientale alla superficie (s) o al top del basamento rigido.

Gli effetti di sito, che non comprendono il contributo della sorgente, sono definiti da SM come:

#### $SM = Se/As \Leftrightarrow SM = HsVb/VsHb$

Nakamura e Theodulidis *et al.* (1996) hanno dimostrato che gli spettri delle componenti verticali (Vb) e orizzontali (Hb) sono equivalenti al top del basamento rigido:

#### Se Hb/Vb = 1 allora Sm= Hs/Vs

Alla fine quindi, gli effetti di sito **SM** (ampiezza del rapporto spettrale) posso essere espressi come *rapporto spettrale delle componenti orizzontali e verticali del rumore ambientale alla superficie del suolo*. In conclusione questa affermazione implica che una stima della risposta del terreno in un determinato sito può essere ottenuta con un singolo sismometro a tre componenti. Esperienze di campagna hanno dimostrato che registrazioni di una quindicina di minuti per sito sono sufficienti per fornire risultati stabili nei differenti contesti urbani.

Dalle registrazioni del rumore sismico ambientale in campo libero, sono state ricavate le curve H/V, con i seguenti parametri:

- larghezza delle finestre d'analisi 20 secondi;
- lisciamento secondo finestra triangolare con ampiezza pari al 10% della frequenza centrale;
- rimozione dei transienti sulla serie temporale degli H/V.

Le curve H/V possono essere convertite dal dominio H/V – frequenza, al dominio Vs – profondità, tramite inversione vincolata. Nel caso presente il vincolo è fornito dalla Vs del primo strato riferita dalle indagini in array. Più in generale il vincolo è costituto dalla profondità di un riflettore sismico nota tramite prove dirette (sondaggio/penetrometria / geofisica indipendente) il cui marker sia riconoscibile nelle curve H/V. A partire da questo elemento noto si genera una serie di modelli sintetici (che contemplano la propagazione delle onde di Rayleigh e di Love nel modo fondamentale e superiori in sistemi multistrato) e si considera per buono il modello teorico più vicino alle curve sperimentali.

Le misure di microtremore ambientale HVSR, eseguite dallo scrivente (N1, N4, N5, N6), sono state effettuate per mezzo di un tomografo digitale portatile progettato specificatamente per l'acquisizione del rumore sismico. Lo strumento (Tromino, Micromed spa) è dotato di tre sensori elettrodinamici (velocimetri) orientati N-S, E-W e verticalmente. I dati di rumore, amplificati e digitalizzati a 24 bit equivalenti, sono stati acquisiti alle frequenze di campionamento di 128 Hz.

#### 5.2.4 Analisi delle risultanze

Sono state eseguite misure geofisiche MASW, ReMI, HVSR in dieci siti, in corrispondenza soprattutto delle nuove aree di espansione urbanistica, che prevedono un maggior aumento di volume: la n. 76 (Gazzola) di mc 3700, e la 99 (fraccaro) di mc 13315.

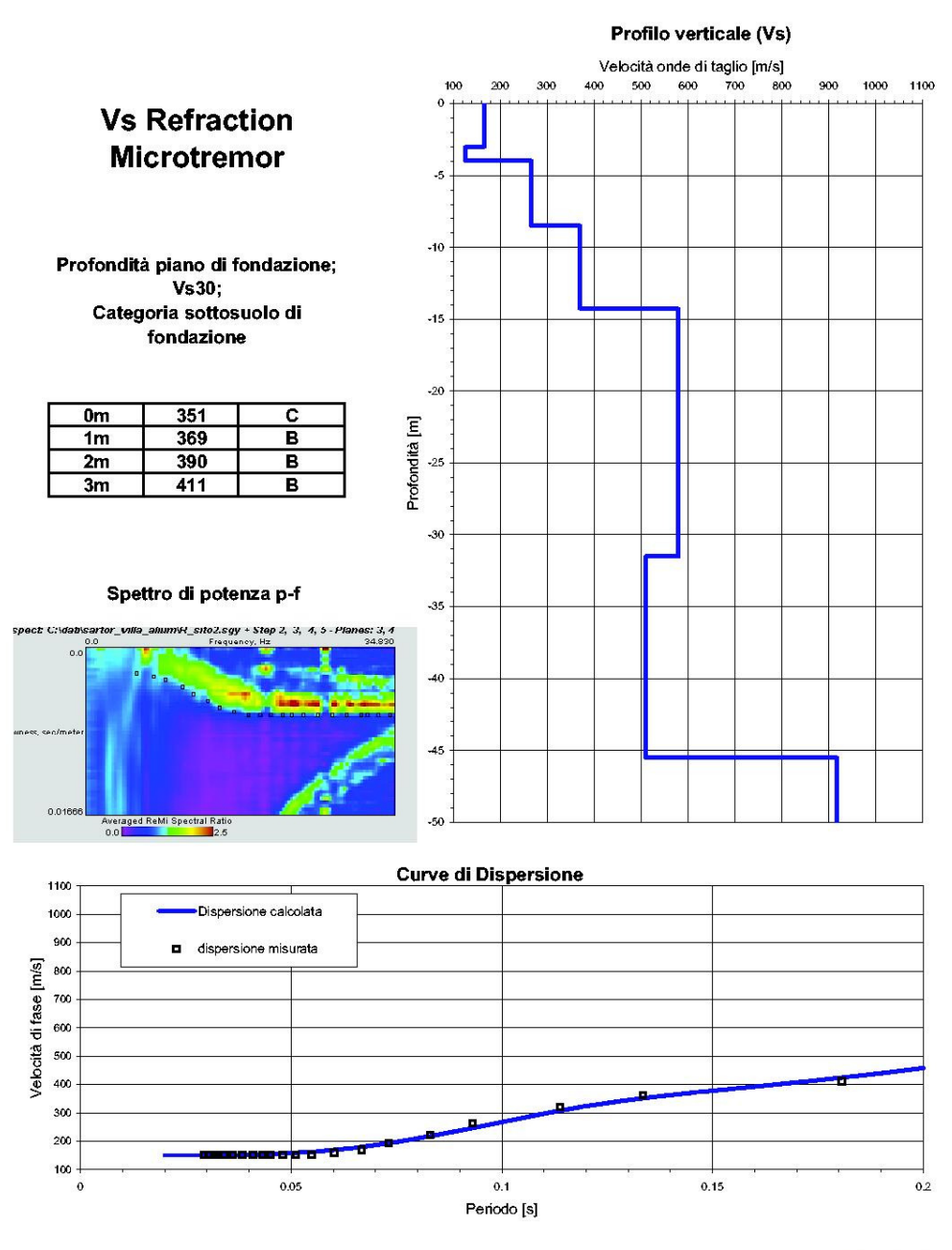
L'inversione delle curve di dispersione è stata effettuata congiuntamente a quella delle curve H/V, pertanto il modello di Vs per ciascun sito sarà quello che ha dato il miglior "fit" con le curve di dispersione MASW, ReMi e H/V.

#### 5.2.4.1 Sito n.1 "ditta Zardo"

Nel sito in esame è stata eseguita una misura una ReMI, e una HVSR. Negli array sono stati dispiegati 24 geofoni ad intervalli di due metri, per circa dieci minuti alla frequenza di campionamento di 512 Hz e analizzato su finestre di 10 secondi di lunghezza.

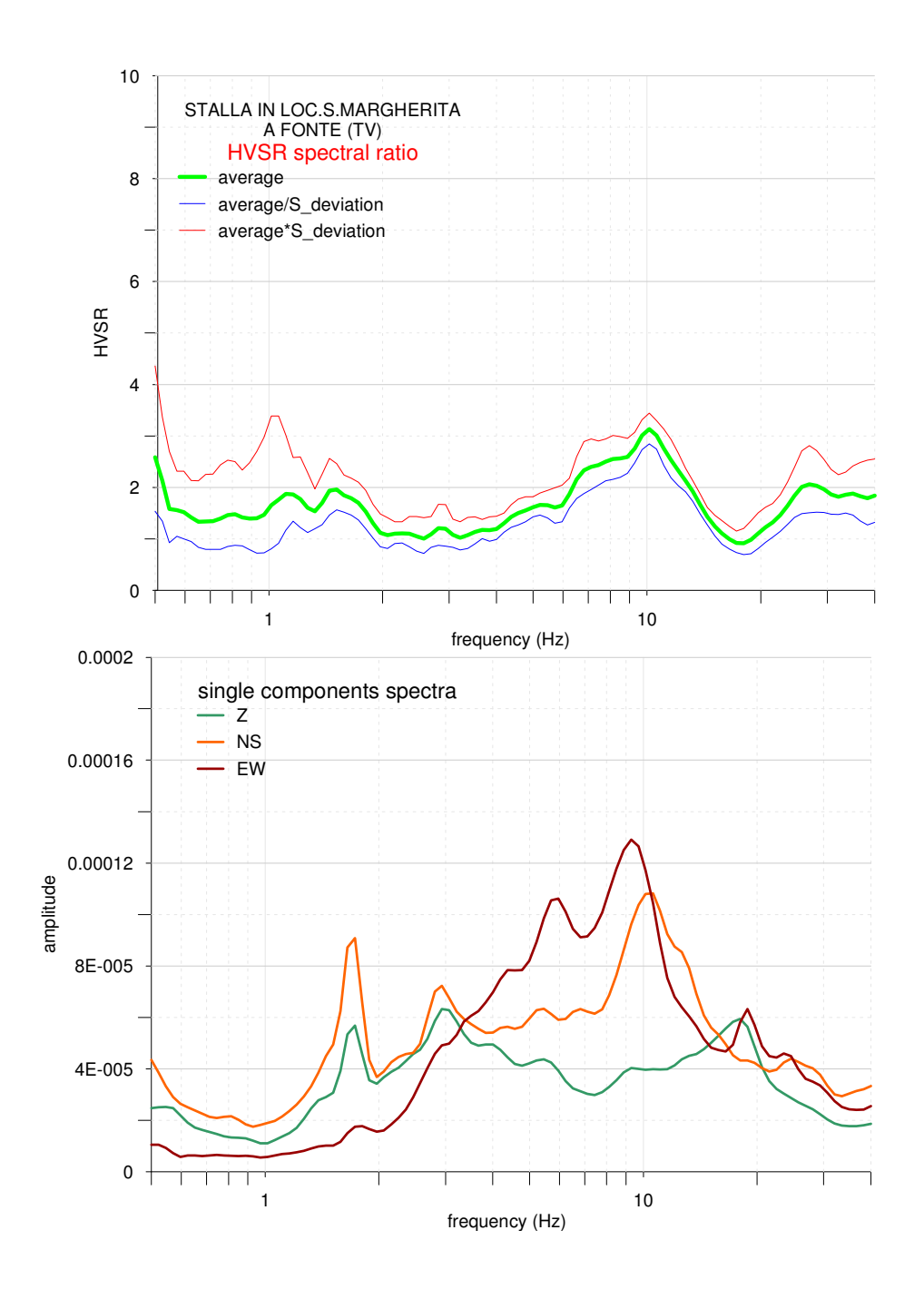
L'esito dell'analisi ReMi è rappresentato dal contouring a colori.

#### COSTRUZIONE DI UNA STALLA IN VIA S.MARGHERITA A FONTE (TV)





Spettro ReMi e interpretazione



Spettri di ampiezza in velocità delle singole componenti del moto e curva HVSR

La curva H/V presenta due frequenze evidenti di risonanza: una a 10 Hz, e un'altra a 1.8 Hz. Tutte e due sono significative dal punto di vista della microzonazione sismica. Il modello di sottosuolo ottenuto congiuntamente dalle indagini array (strati superficiali) e a stazione singola è quello rappresentato nella ReMi; il bedrock sismico è posto alla profondità di circa 46 metri dal p.c.

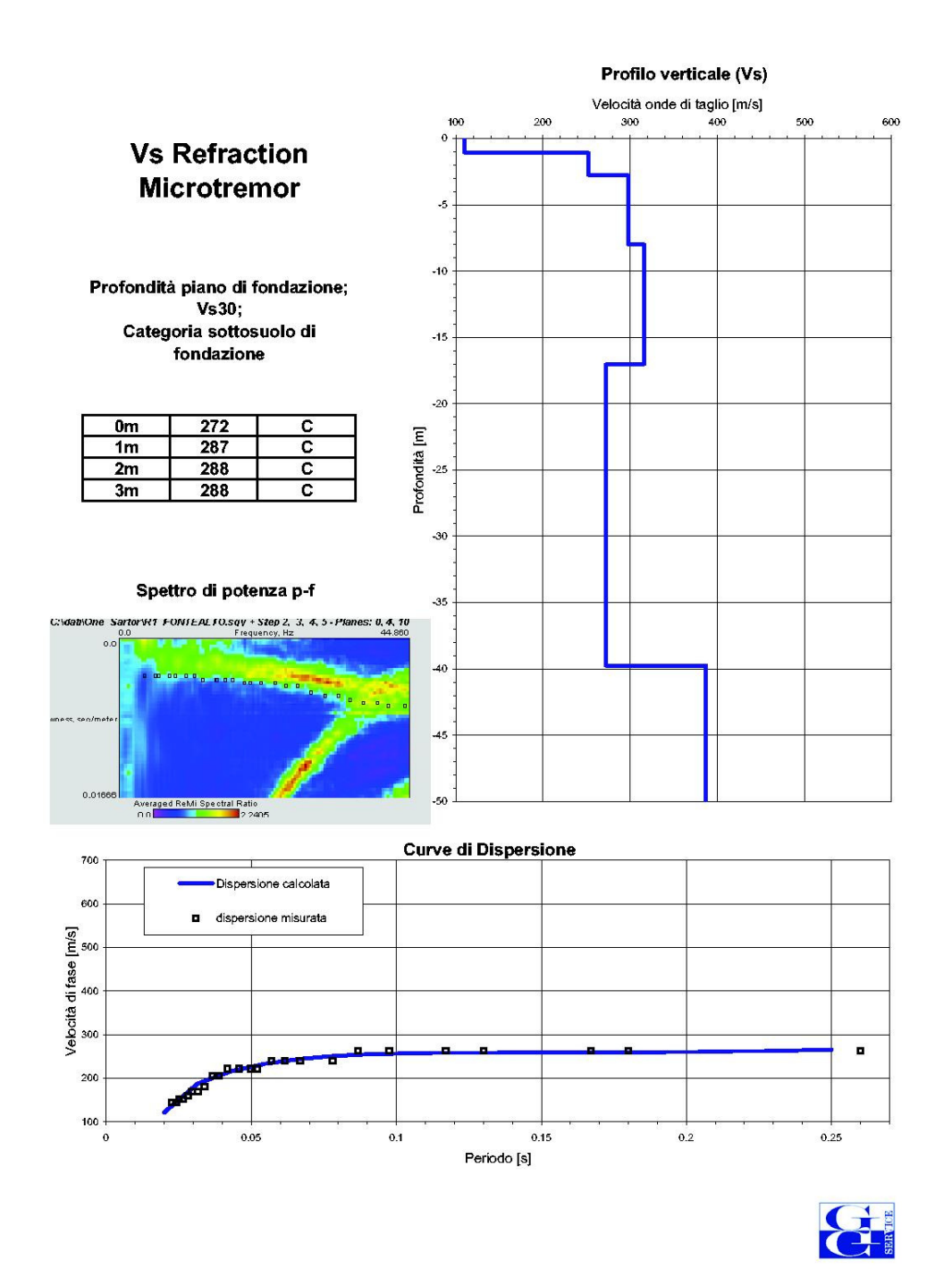
La Vs<sub>30</sub> (velocità media delle onde di taglio dei primi 30 metri) calcolata ai sensi del DM 14.01.2008 è di 351 m/sec (incertezza dell'ordine del 20%). La categoria di suolo di fondazione per il sito in esame è **C**, qualora il piano di fondazione sia al piano campagna.

## 5.2.4.2 Sito n.2 "ditta Guadagnin"

Nel sito in esame sono state eseguite due misure ReMI, e una HVSR. Negli array sono stati dispiegati 24 geofoni ad intervalli di due metri, per circa dieci minuti alla frequenza di campionamento di 512 Hz e analizzato su finestre di 10 secondi di lunghezza.

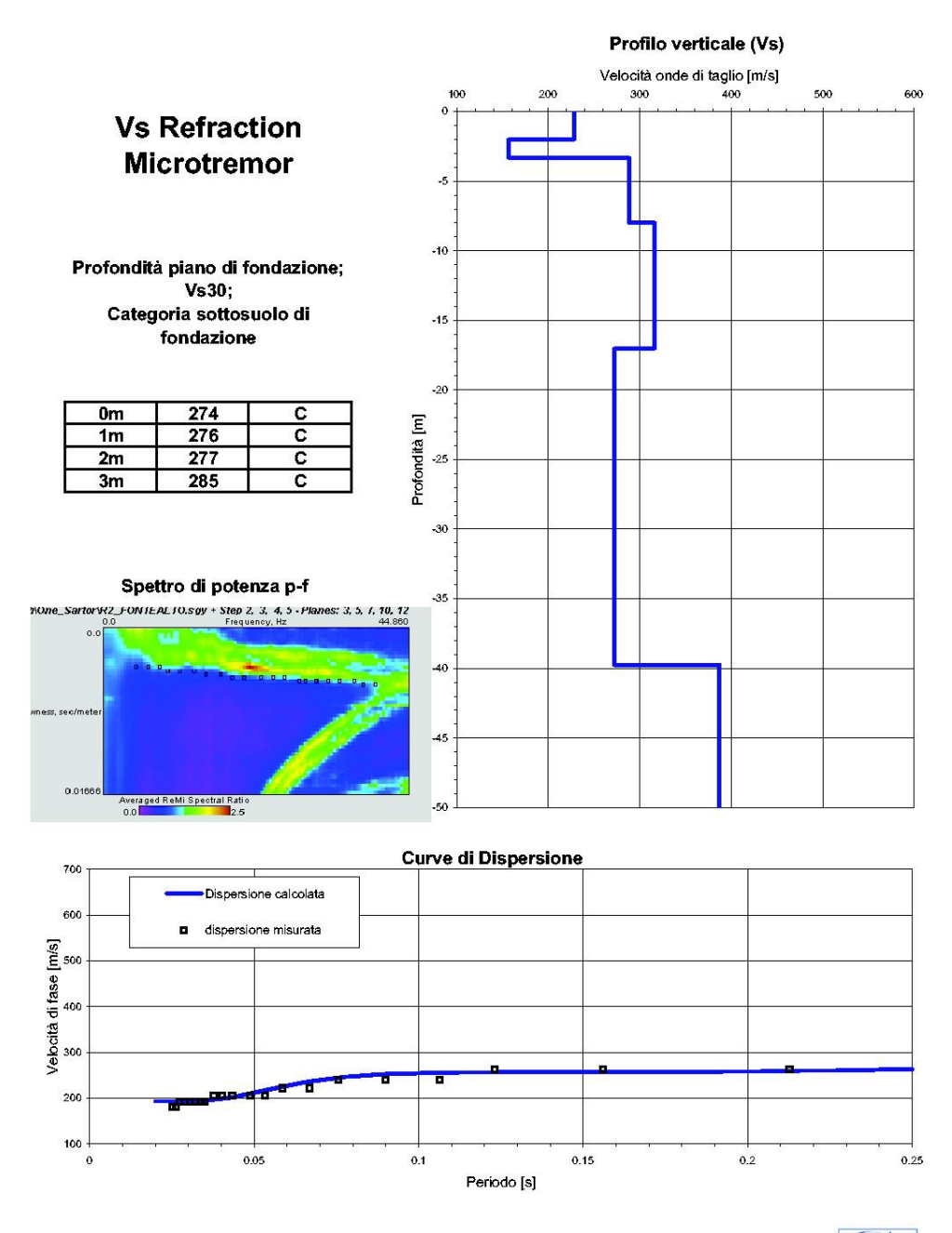
I due spettri Remi presentano alcune differenze tra di loro, a causa della diversa orientazione e direttività delle sorgenti vibrazionali antropico/naturali. Dai modelli verticali delle Vs emerge la presenza di sedimenti abbastanza addensati e sostanzialmente omogenei fino a circa 40 metri, dove si rinvengono terreni più rigidi.

## P.L. Z.T.O. C2/14 IN FONTE ALTO (TV) ReMi 1



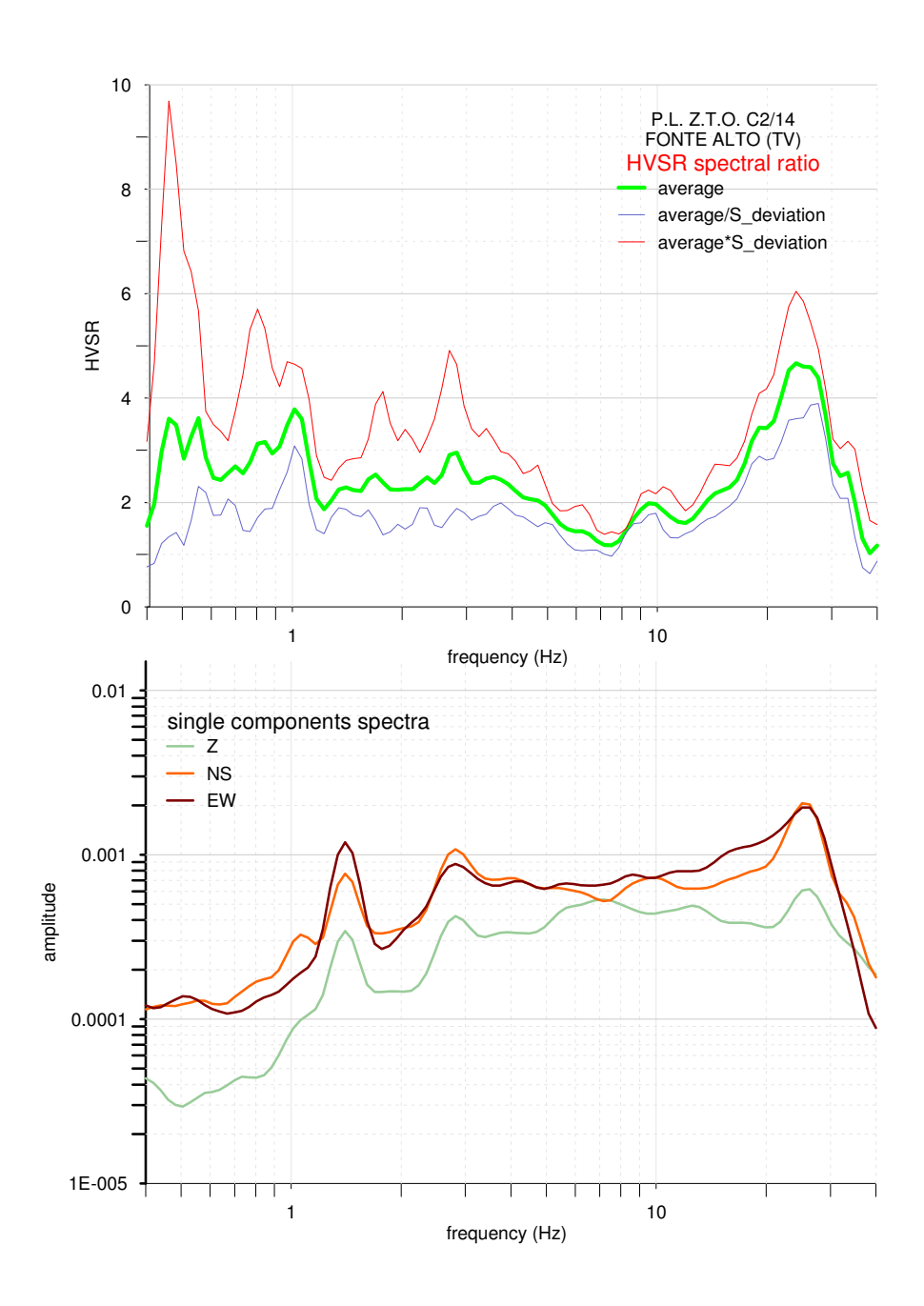
Spettro ReMi e interpretazione (stendimento R2)

## P.L. Z.T.O. C2/14 IN FONTE ALTO (TV) ReMi 2



SELECTION

Spettro ReMi e interpretazione (stendimento R2bis)



Spettri di ampiezza in velocità delle singole componenti del moto e curva HVSR

La curva H/V risente della bassa qualità della serie temporale disturbata fortemente da condizioni di rumore transiente, e presenta tre frequenze di risonanza: una a 0.6 Hz, una a 2Hz e un'altra a 20 Hz.

Il modello di sottosuolo ottenuto congiuntamente dalle indagini array (strati superficiali) e a stazione singola è quello rappresentato nella ReMi.

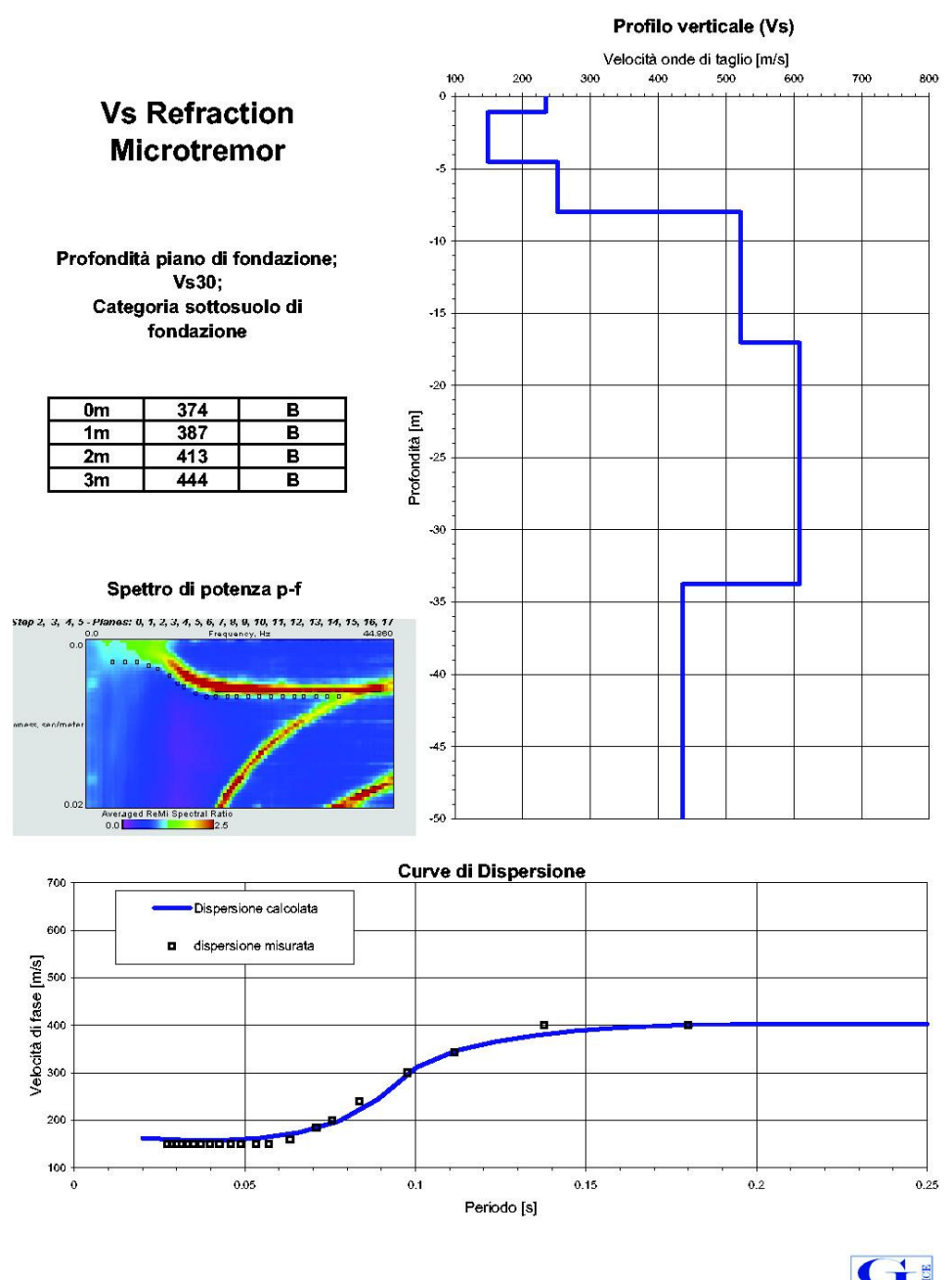
La Vs<sub>30</sub> (velocità media delle onde di taglio dei primi 30 metri) calcolata ai sensi del DM 14.01.2008 è di circa 270 m/sec ( incertezza dell'ordine del 20%). La categoria di suolo di fondazione per il sito in esame è **C**, qualora il piano di fondazione sia al piano campagna.

## 5.2.4.3 Sito n.3 "ditta Maggiolo"

Nel sito in esame è stata eseguita una misura ReMI, e una HVSR. Negli array sono stati dispiegati 24 geofoni ad intervalli di due metri, per circa dieci minuti alla frequenza di campionamento di 512 Hz e analizzato su finestre di 10 secondi di lunghezza.

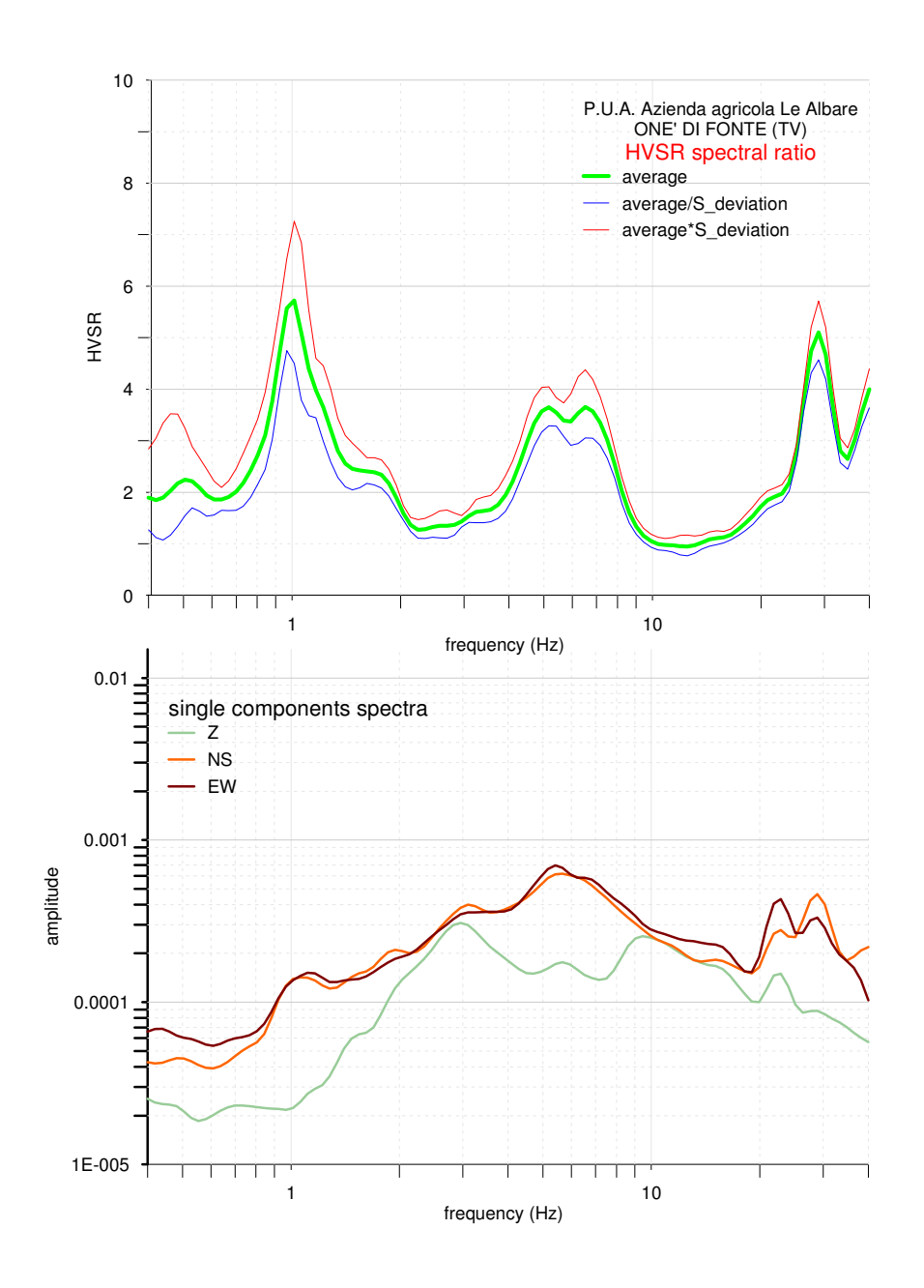
L'esito dell'analisi ReMi è rappresentato dal contouring a colori. Dai modelli verticali delle Vs emerge la presenza di sedimenti poco addensati, a cui fa seguito un terreno decisamente rigido.

# P.U.A. RISTRUTTURAZIONE ALLEVAMENTO AVICOLO "LE ALBARE" ONE' DI FONTE (TV)





Spettro ReMi e interpretazione



Spettri di ampiezza in velocità delle singole componenti del moto e curva HVSR

La curva H/V presenta tre frequenze di risonanza significative a livello ingegneristico: una a 1 Hz, una a 5Hz e un'altra a 7 Hz.

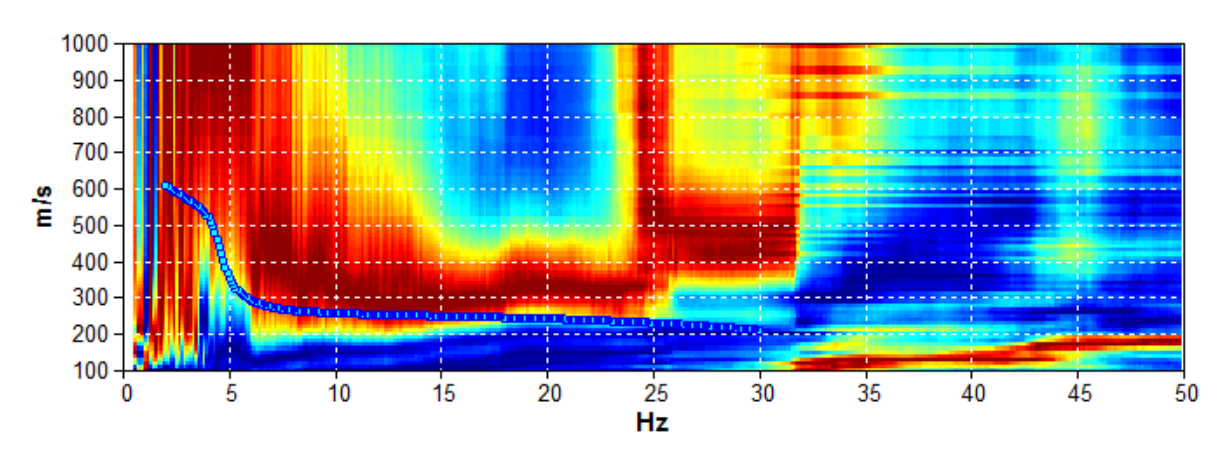
Il modello di sottosuolo ottenuto congiuntamente dalle indagini array (strati superficiali) e a stazione singola è quello rappresentato nella ReMi. Il bedrock sismico può corrispondere alla frequenza di 1 Hz, la cui profondità è di circa 125 metri dal p.c..

La Vs<sub>30</sub> (velocità media delle onde di taglio dei primi 30 metri) calcolata ai sensi del DM 14.01.2008 è di circa 370 m/sec (incertezza dell'ordine del 20%). La categoria di suolo di fondazione per il sito in esame è **B**, qualora il piano di fondazione sia al piano campagna.

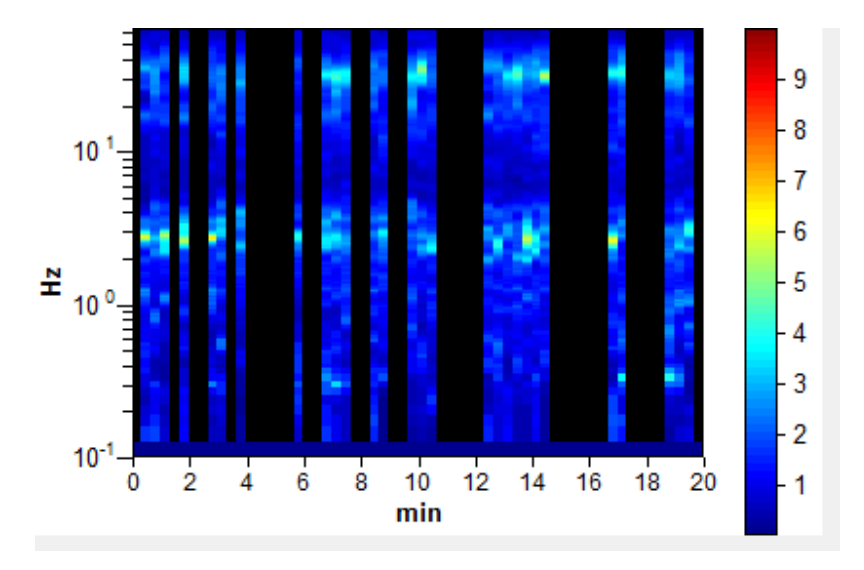
### 5.2.4.4 Sito n.4 "ditta Saule"

Nel sito in esame è stata eseguita una misura ReMI, e una HVSR. Negli array sono stati dispiegati nove geofoni ad intervalli di tre metri, per circa dieci minuti alla frequenza di campionamento di 512 Hz e analizzato su finestre di 10 secondi di lunghezza.

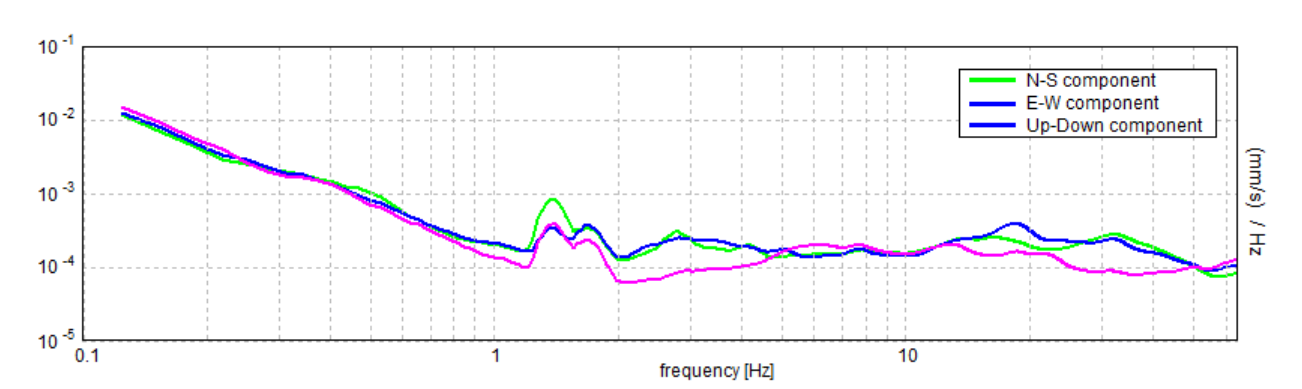
La curva di dispersione risulta leggibile nella prova ReMi, ed è vincolabile con maggiore precisione grazie alla prova H/V. Dai modelli verticali delle Vs emerge come al di sotto di circa tre si incontrano sedimenti abbastanza addensati (Vs=290m/sec) e sostanzialmente omogenei sino a 27 metri dal p.c., dove vengono intercettati terreni più rigidi (Vs=700 m/sec).



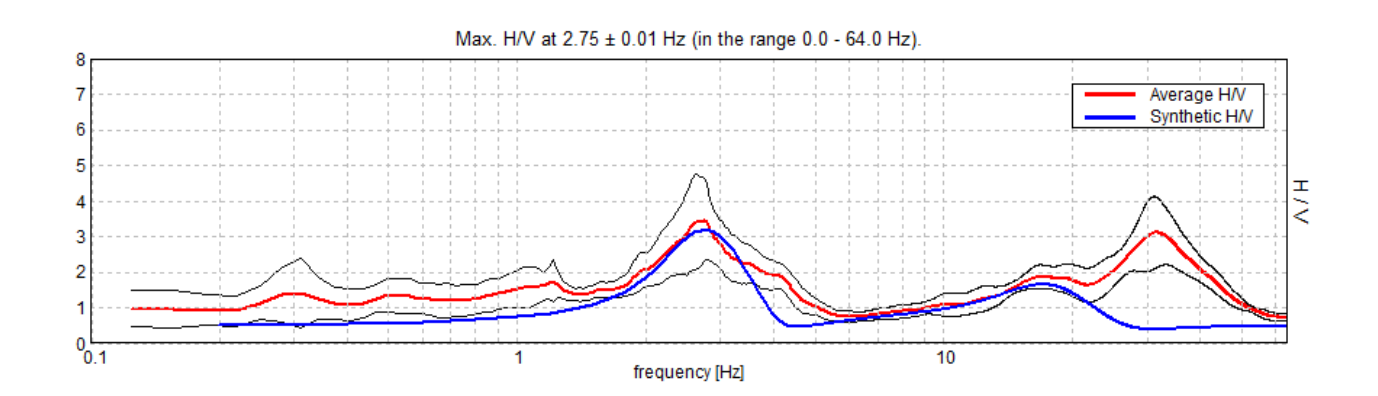
Spettro ReMi



**HVSR** stability



Spettri di ampiezza in velocità delle singole componenti del moto



Confronto tra curva H/V sperimentale (rosso) e teorica (blu)

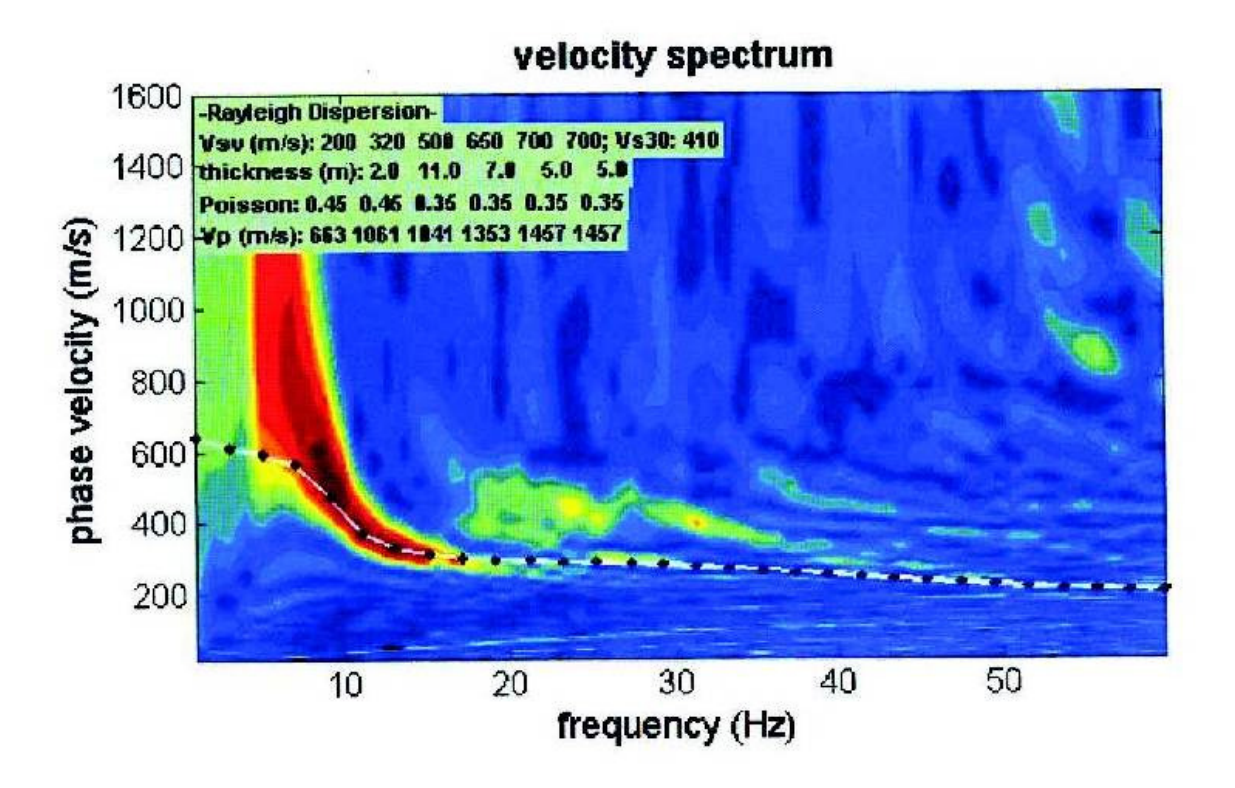
46

La curva H/V presenta frequenze di risonanza: una a 2-3 Hz, e una seconda a 17-18 Hz. Tutte e due sono significative dal punto di vista della microzonazione sismica. Il bedorock sismico si stima sia alla profondità di circa 27 metri dal p.c..

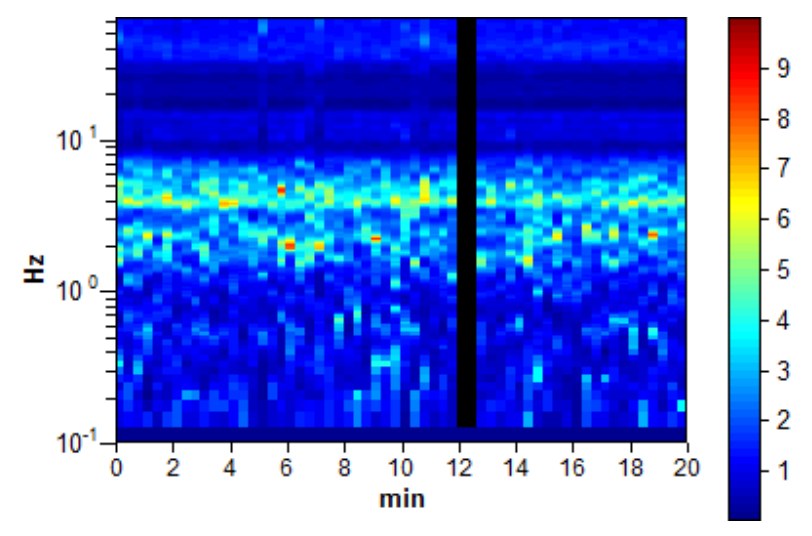
La categoria di suolo di fondazione per il sito in esame è C.

#### 5.2.4.5 Sito n.5 "ditta Gazzola"

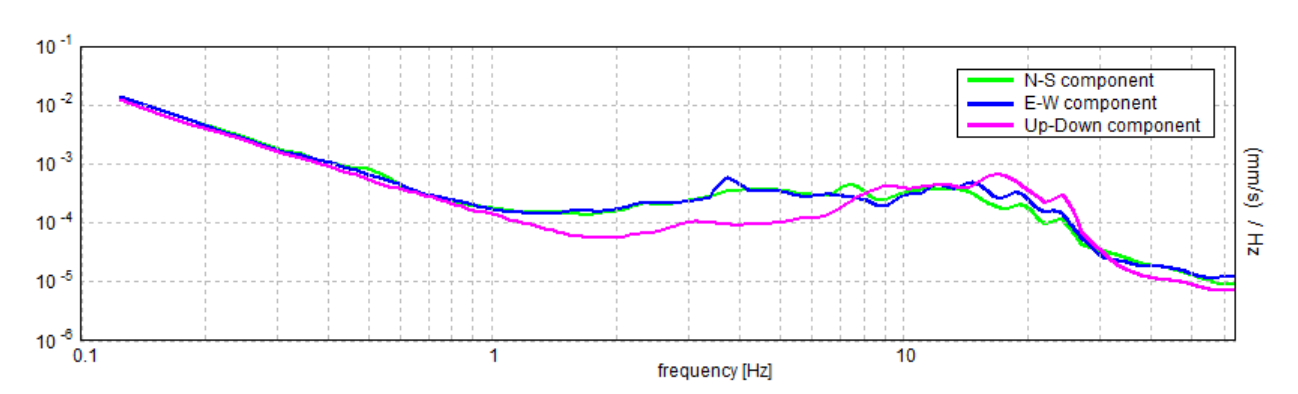
Nel sito in esame è stata eseguita una misura MASW (v. rel. dott. Bernardi del 21.06.2011) e una misura HVSR nel Luglio 2011 dallo scrivente. Si è ritenuto integrare l'indagine sismica MASW in quanto questo tipo di prove difficilmente raggiungono i trenta metri di profondità.



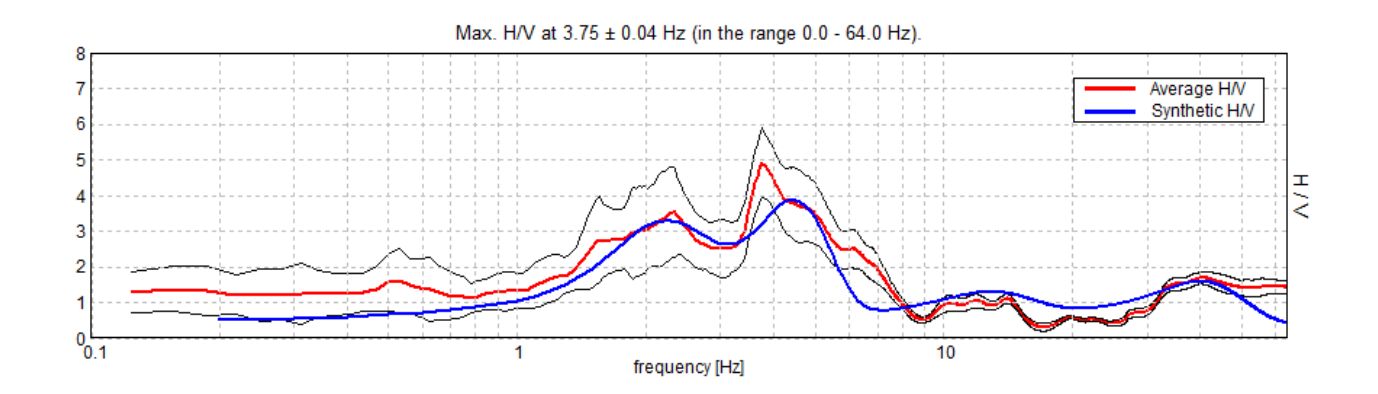
Spettro Masw



**HVSR** stability

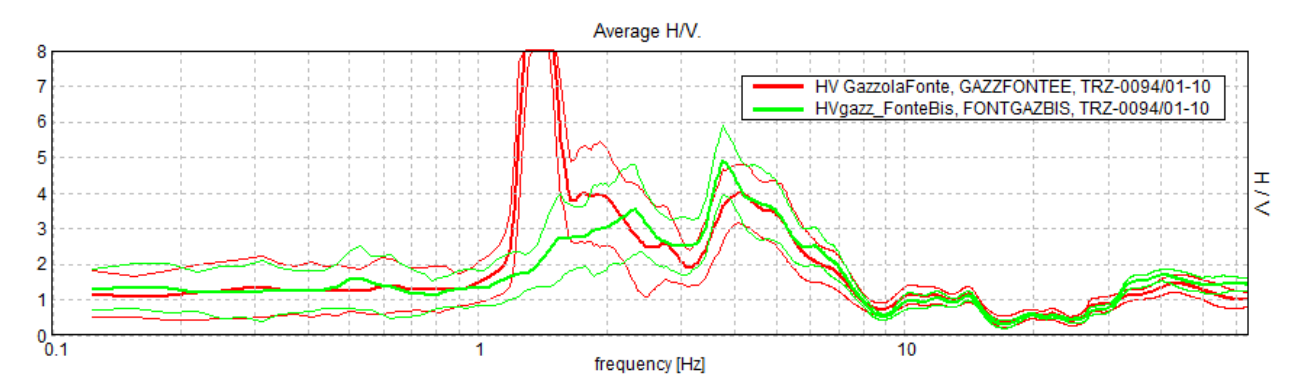


Spettri di ampiezza in velocità delle singole componenti del moto



Confronto tra curva H/V sperimentale (rosso) e teorica (blu)

48



Confronto tra le curva H/V registrate nella stessa posizione in occasione di un temporale a circa 20 km (rosso) e successivamente in condizioni metereologiche stabili (verde)

Sono state eseguite due prove HVSR nella stessa posizione e in tempi diversi, in quanto durante l'esecuzione della prima, vi era un temporale a circa venti chilometri di distanza. L'elaborazione dei dati della prima prova evidenziava un massimo molto evidente a circa 1.5 Hz, causato da una sorgente vibrazionale antropico/naturale. Il giorno successivo nella seconda prova, in condizioni meteorologiche buone, non vi era più presente questa anomalia. Difatti le due curve H/V, eseguite nella stessa posizione in tempi diversi, sono pressoché identiche, se togliamo l'anomalia a 1.5 Hz.

La curva H/V presenta quattro frequenze evidenti di risonanza: una a circa 2 Hz, una seconda a circa 4 Hz, una terza con un'ampiezza poco rilevante a 10-15 Hz e una quarta a circa 30 Hz. Le prime tre sono significative dal punto di vista della microzonazione sismica, in quanto quella a 30 Hz è esterna ai limiti d'interesse, stabilito da 0.1 a 20 Hz. Il bedrock sismico può essere stimato alla profondità di circa 61 metri dal piano campagna.

Il modello di sottosuolo ottenuto correlato alle prove penetrometriche (strati superficiali) e a stazione singola è il seguente:

Spessore degli strati (metri)	Vs (m/sec)
0.4	65
2.2	130
9.5	210
11	385
38	490
substrato	800

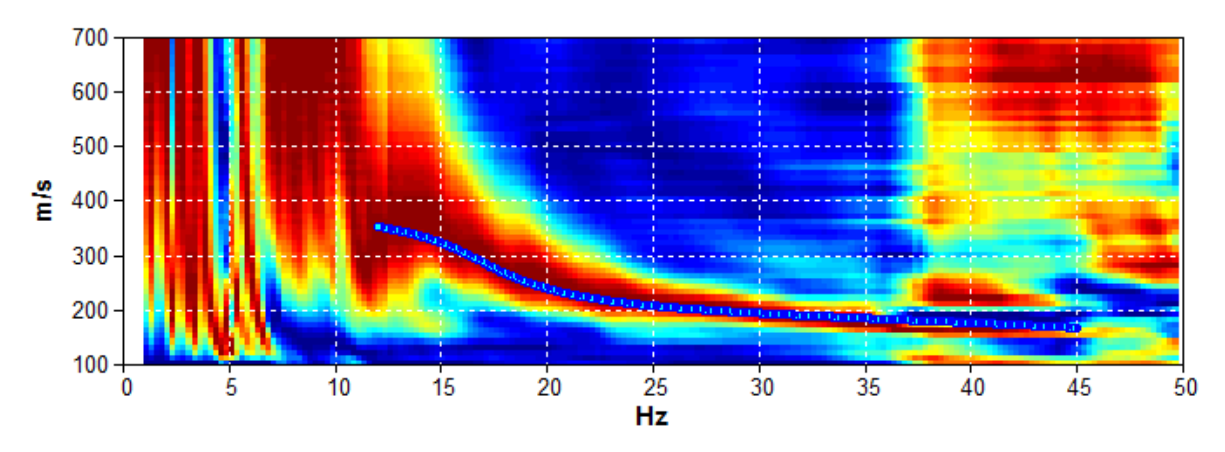
La Vs<sub>30</sub> (velocità media delle onde di taglio dei primi 30 metri) calcolata ai sensi del DM 14.01.2008 è di 270 m/sec (incertezza dell'ordine del 20%). La categoria di suolo di fondazione per il sito in esame è **C**.

#### 5.2.4.6 Sito n.6 "ditta Fraccaro"

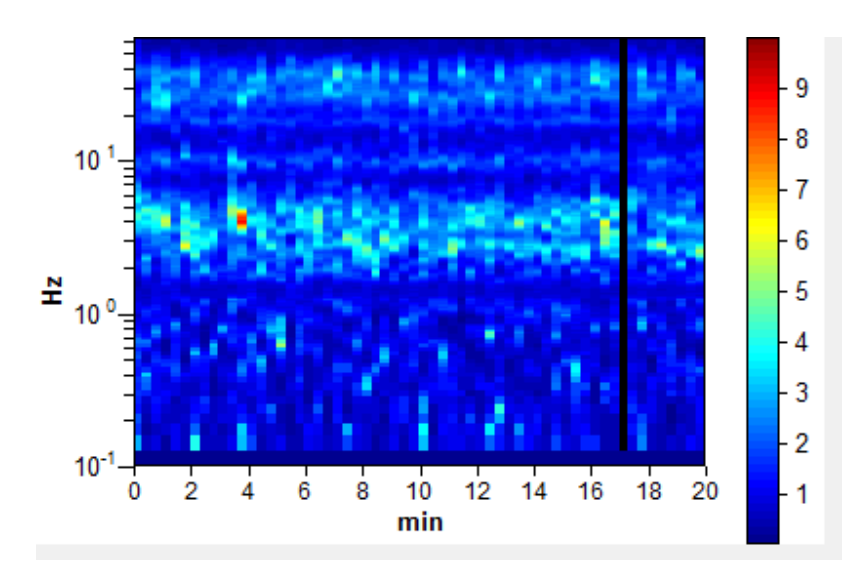
Nel sito in esame è stata eseguita una misura MASW, una ReMI, e una HVSR. Negli array sono stati dispiegati nove geofoni ad intervalli di tre metri, per circa dieci minuti alla frequenza di campionamento di 512 Hz e analizzato su finestre di 10 secondi di lunghezza.

L'analisi della ReMi risulta molto disturbata a causa di numerosi disturbi antropici provenienti dall'area circostante, per cui non è stato possibile interpretarla.

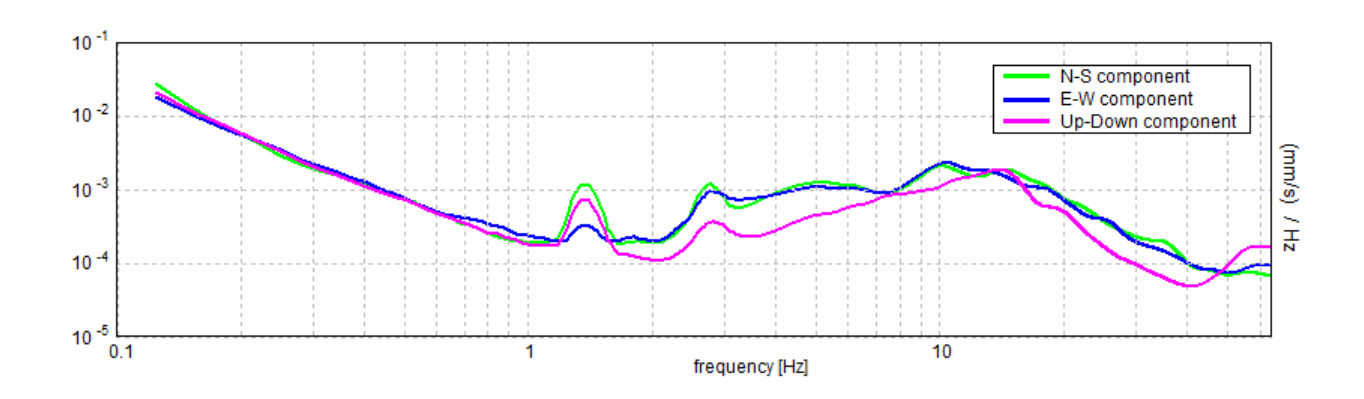
La curva di dispersione risulta invece meglio leggibile nella prova Masw, ed è vincolabile con maggiore precisione grazie alla prova H/V. La curva di dispersione della velocità di fase delle onde di Rayleigh nel modo fondamentale risulta visibile nell'intervallo tra circa 12 e 45 Hz.



Spettro Masw

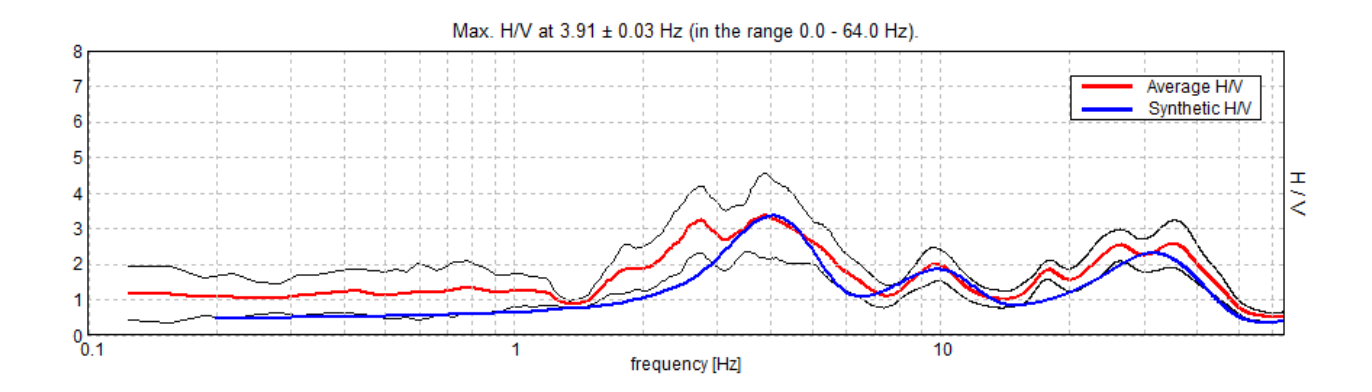


HVSR stability ( Nord)

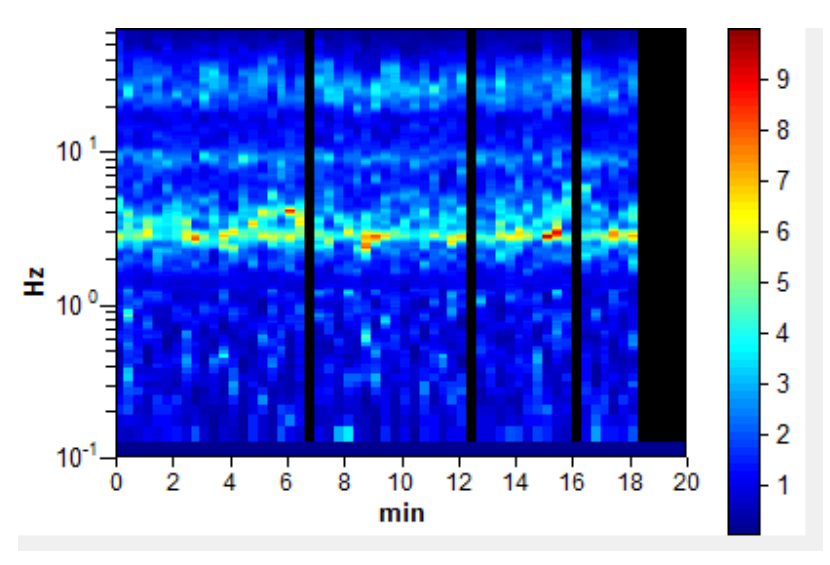


Spettri di ampiezza in velocità delle singole componenti del moto (Nord)

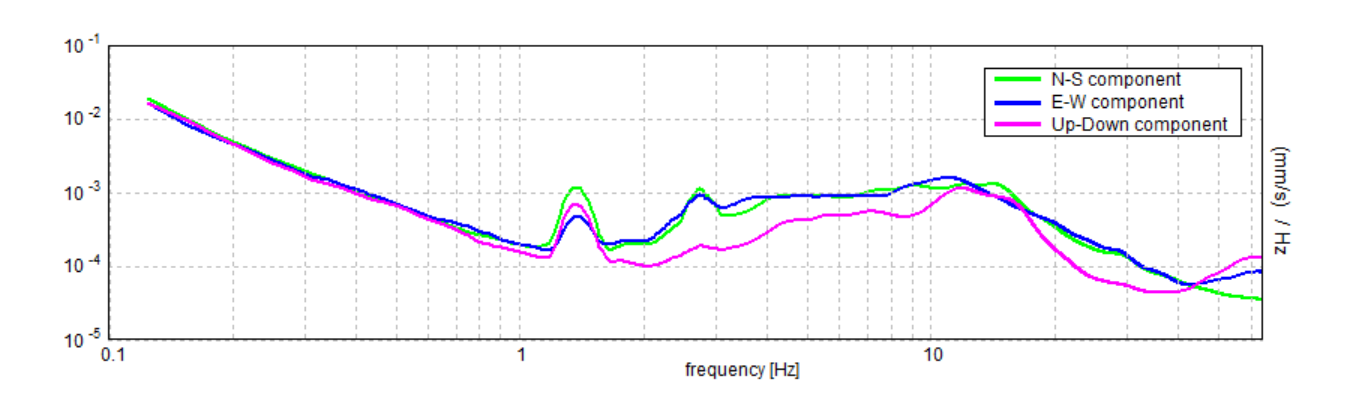
51



Confronto tra curva H/V sperimentale (rosso) e teorica (blu) - (Nord)

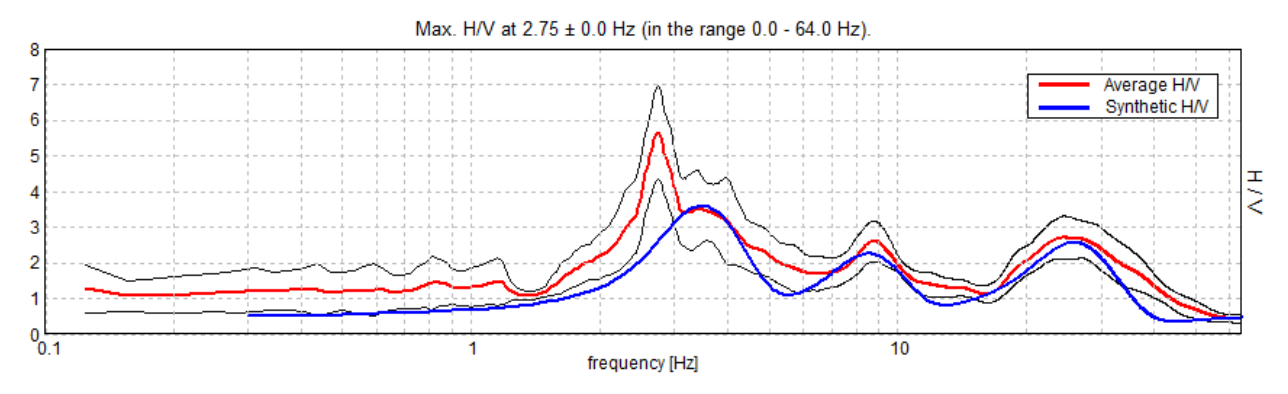


HVSR stability (Sud)

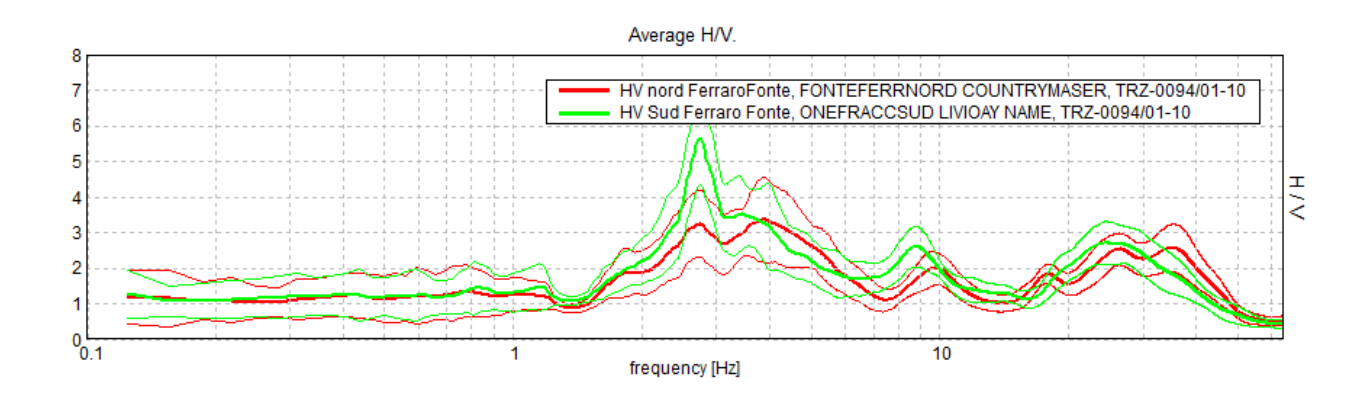


Spettri di ampiezza in velocità delle singole componenti del moto (Sud)

52



Confronto tra curva H/V sperimentale (rosso) e teorica (blu) - (Sud)



Confronto tra le curva H/V registrate in testa (Nord) e in coda (Sud) allo stendimento Masw

Sono state eseguite due prove HVSR, una a Nord e una a Sud, rispettivamente in testa e in coda alla stendimento Masw, per verificarne la somiglianza e stabilire se il terreno in analisi sia o meno assimilabile a un sito a strati piani e paralleli, requisito di base per l'inversione delle tecniche in array. Le due curve H/V mostrano un pattern piuttosto sumile.

Le curve H/V presentano frequenze di risonanza, nell'intervallo d'interesse ingegneristico 0.1-20 Hz, a circa 9-10 Hz, e a 3-4Hz. Queste frequenze sono significative dal punto di vista della microzonazione sismica.

La profondità minima del bedrock sismico può essere stimata in circa 26 metri dal piano campagna.

Il modello di sottosuolo ottenuto congiuntamente dall'indagine array (strati superficiali) e a stazione singola è il seguente:

Spessore degli strati (metri)	Vs (m/sec)
0.7	95
1.4	210
4.9	240
8	440
11	390
substrato	800

La Vs<sub>30</sub> (velocità media delle onde di taglio dei primi 30 metri) calcolata ai sensi del DM 14.01.2008 è di 340 m/sec (incertezza dell'ordine del 20%). La categoria di suolo di fondazione per il sito in esame è **C**, qualora il piano di fondazione sia posrto in corrispondenza del p.c..

### 6. ELEMENTI GEOLOGICI IN PROSPETTIVA SISMICA

Per la redazione della carta degli "*Elementi geologici in prospettiva sismica*" si è fatto riferimento alla Carta Litologica, Geomorfologica e Idrogeologica allegate al PAT.

Con l'Ordinanza del Presidente del Consiglio dei Ministri n.3274 del 20.03.2003 questo comune è stato classificato sismico e rientra nella "zona n.2". Al punto 3.2 si afferma che "... la pericolosità sismica è definita in termini di accelerazione orizzontale massima attesa ag in condizioni di campo libero su sito di riferimento rigido con superficie topografica orizzontale (di categoria A quale definita al capitolo 3.2.2), nonché di ordinate dello spettro elastico in accelerazione ad essa corrispondente Se(T), con riferimento a prefissate probabilità di eccedenza Pvr, come definite nel capitolo 3.2.1, nel periodo di riferimento Vr, come definito nel capitolo 2.4. ...". Al punto 3.2.2 si afferma che "... Ai fini della definizione dell'azione sismica di progetto, si rende necessario l'effetto della risposta sismica locale mediante specifiche analisi, come indicato nel capitolo 7.11.3 In assenza di

tali analisi, per la definizione dell'azione sismica si può fare riferimento a un approccio semplificato, che si basa sull'individuazione di categorie di sottosuolo di riferimento (Tan 3.2.II e 3.2,III)."

La normativa vigente non prevede perciò amplificazione litologico-stratigrafica per i suoli di categoria "A" ("Ammassi rocciosi affioranti o terreni molto rigidi caratterizzati da valori di Vs30 superiori a 800 m/s, eventualmente comprendenti in superficie uno strato di alterazione, con spessore massimo pari a 3 m)".

I suoli diversi da "A", e perciò "B", "C", "D", "E", "S1" e "S2", sono invece considerati soggetti ad amplificazione litologico-stratigrafica.

Non sono stati individuati, nel territorio comunale, suoli di tipo "A" ( non soggetti ad amplificazione Itologico-stratigrafica), in quanto le "Rocce tenere a prevalente coesione e ad attrito interno", costituenti il bedrock, normalmente presentano valori delle V<sub>S30</sub> inferiori a 800 m/s.

Sono stati individuati i seguenti elementi geologici:

- a) Suoli di tipo diverso da "A" soggetti ad amplificazione litologico-stratigrafica" (Rocce tenere a prevalente coesione e ad attrito interno, materiali granulari più o meno addensati dei terrazzi fluviali e/o fluvioglaciali antichi a tessitura prevalentemente ghiaiosa e sabbiosa, materiali a tessitura eterogenea dei depositi di conoide di deiezione torrentizia, materiali alluvionali a tessitura prevalentemente limo-argillosa, materiali di origine fluviale del "Mindel" a tessitura prevalentemente limo-argillosa);
- b) Altri elementi (Linee di contatto tra litotipi a caratteristiche fisico-meccaniche molto diverse, aree con profondità della falda minore di 15 metri dal piano campagna, linea di faglia attiva);
- c) Morfologie generanti amplificazione topografica ( dorsali e orlo di scarpata di cava estinta).

## a) <u>SUOLI DI TIPO DIVERSO DA "A" SOGGETTI AD AMPLIFICAZIONE</u> LTOLOGICO - STRATIGRAFICA

Non sono stati individuati, nel territorio comunale, suoli di tipo "A" ( non soggetti ad amplificazione Itologico-stratigrafica), in quanto le "Rocce tenere a prevalente coesione e ad attrito interno", costituenti il bedrock, normalmente presentano valori delle V<sub>S30</sub> inferiori a 800 m/s. Tutti gli altri litotipi sono sciolti e sempre con V<sub>S30</sub> inferiori a 800 m/s.

- □ Suoli di tipo diverso da "A" soggetti ad amplificazione litologico-stratigrafica":
- > SA1 Rocce tenere a prevalente coesione
  - **Marna di Tarzo** (Serravaliano/Miocene p.p. Tortoniano p.p./Miocene p.p) [circa 17 /14 milioni di anni fa]

Si tratta di una formazione molto potente localizzata tra la cresta dell'Arenite di M. Baldo e quella Tortoniano-Messiniana. Essa è costituita da marne siltose grigio-azzurre, in cui non è ben evidente la stratificazione, tanto da impedire il rilevamento della giacitura. Queste marne si presentano generalmente poco compatte, risultando così facilmente erodibili, erosione che crea condizioni di instabilità diffusa nei pendii. La copertura vegetale non consente di avere estesi affioramenti. Il passaggio tra l'Arenite di M. Baldo e le Marne di Tarzo è graduale. Si ha infatti una diminuzione progressiva della frequenza e dello spessore delle intercalazioni arenacee ed il limite è stato posto in corrispondenza dell'ultimo livello arenitico ritrovato in campagna. Il limite al tetto della Marna di Tarzo con l'Arenaria di Vittorio Veneto è stato posto in corrispondenza della prima intercalazione arenacea ritrovata.

Il contenuto in macrofossili non è molto abbondante, nei vari affioramenti è stata notata la presenza di Lamellibranchi e Gasteropodi soprattutto nelle parti basali più compatte, anche se spesso è impossibile riconoscere i generi poiché gli esemplari sono frequentemente decalcificati e rotti. Tra i microfossili si ha un abbondante contenuto in Foraminiferi, per lo più planctonici, ritrovati nella parte

inferiore della formazione. Questi fossili hanno permesso di attribuire la Marna di Tarzo al Serravalliano-Tortoniano.

## > SA2 Rocce tenere a prevalente attrito interno

- Conglomerati poligenici con lenti argillose-sabbiose e di lignite (Messiniano - circa 14/07 milioni di anni fa):

I conglomerati del Messiniano sono costituiti da banchi conglomeratici, fluviali e deltizi, a ciottoli calcarei improntati, calcari selciferi, selci, quarzo, porfidi, ecc.; i ciottoli in superficie sono cariati. Tra i banchi conglomeratici vi sono lenti argillose e/o sabbiose e/o arenacee di estensione e potenza variabile. Al letto è incluso l'orizzonte a lenti di lignite, con argille ad Helix ed Unio (M. Fagarè), testimonianti una facies lacustre. Da ricordare che in località case Trinca, in via Rizzelle a Cornuda, sono stati trovati livelli di lignite con lenti marnose ad impasto di lumachella sfaticcia (ad esempio con "Coretus"); questi fossili testimoniano un ambiente marino salmastro. Fondamentale memoria sulla sedimentazione ciclica e stratigrafica del Messiniano, tra Bassano e Vittorio Veneto, è stata pubblicata da F. Massari nel 1975. In particolare, nei Comuni di Monfumo e di Asolo, egli illustra la serie regressiva a conglomerati, riconoscendo varie facies organizzate sovente in modo ciclico: facies di prodelta, di piattaforma deltizia frontale, facies deltizia e facies alluvionale. La facies deltizia, che è la più comune, è rappresentata da piccoli delta conglomeratici di spessore limitato, ma di notevole estensione laterale, formanti un sistema embricato. Gli edifizi deltizi sono formati prevalentemente entro bacini semichiusi o chiusi (delta baia, dapprima, poi di laguna ed infine di stagno costiero e di bacino lacustre). Si può osservare anche la presenza di associazioni miste di forme marine e salmastre o anche continentali in alcuni livelli pelitici del Messinaino, appartenenti a cicli di cordone littorale associato a depositi palustri; queste faune verrebbero interpretate come il risultato di uno spiaggiamento ad opera di violente mareggiate.

La giacitura degli strati in tutta l'area rilevata nel sito in oggetto si mantiene attorno ai Nord 60-80° Est con un'inclinazione di 25-40 gradi verso Sud-Est.

# > **SA3** Materiali di origine fluviale del "Mindel" a tessitura prevalentemente limoargillosa (circa 500/400.000 anni fa)

Questo terreno affiora nella fascia pedecollinare ed è stato depositato durante il periodo fluviale del Mindel. Sono argille rosso-brune alterate, con laccature di idrossidi di manganese, con ciottoli (al massimo 20 cm di diametro) di selci, di porfidi quarziferi violacei, di porfiriti, di gneiss, di filladi quarzifere, ecc., poggianti sul Conglomerato Messiniano. La potenza di questo deposito a volte supera i dieci metri. E' un litotipo normalmente consistente, e molle se saturo e/o parzialmente saturo.

# > SA4 Materiali a tessitura eterogenea dei depositi prevalentemente di conoide torrentizia

Ai piedi del rilievo montuoso, allo sbocco delle valli in pianura, si aprono a ventaglio conoidi alluvionali anche di notevole estensione e spessore, dovuti ad apporto misto detritico ed alluvionale dei corsi d'acqua. I depositi alluvionali sono costituiti da alternanze di ghiaie, a volte cementate, e sabbie, con intercalati lenti limose e/o argillose. Talvolta presentano accumuli di argille rossastre contenenti schegge di selce e soprattutto frammenti di Biancone. Questi depositi alluvionali poggiano su forme articolate del substrato roccioso posto alla profondità variabile da -3.0 a -50 metri circa dal piano campagna.

### > SA5 Materiali alluvionali a tessitura prevalentemente limo-argillosa superficiale

Sono terreni che costituiscono principalmente la zona di transizione dalle aree ferrettizzate (depositi di "ferretto" delle colline asolane) e di conoide a quelle con depositi ghiaiosi fluvioglaciali del Wurm, e secondariamente modeste aree vallive della zona collinare.

Le acque torrentizie, che dalle colline si riversavano e procedevano sull'antistante pianura ghiaiosa, venivano assorbite, e abbandonavano di conseguenza su di essa le loro torbide residue, costituendo un cappello di copertura. Si delineava perciò una zona di raccordo tra i depositi di alluvione pedecollinare e le masse alluvionali deposte dalle grandi correnti fiumi Piave e Brenta. In questa zona vi sono dei terreni

argillosi e/o misti a lenti ghiaiose e/o sabbioso-ghiaiose, poggianti sui depositi fluvioglaciali ghiaiosi e/o sui conglomerati Messiniani.

I depositi alluvionali delle aree vallive collinari sono costituiti in superficie soprattutto da argille di colore marrone, con potenza variabile; a volte queste argille sono alternate a lenti sabbioso ghiaiose. Questi depositi sono di origine torrentizia, in particolare le loro acque si riversano sulla pianura ghiaiosa dove vengono assorbite ed abbandonano di conseguenza su di essa le loro torbide residue costituendo un cappello di copertura. Il loro spessore è normalmente superiore ai 3.0 metri.

> SA6 Materiali granulari più o meno addensati dei terrazzi fluviali e/o fluvioglaciali antichi prevalentemente ghiaioso sabbiosi. (Wurm - circa 84/10.000 anni fa)

Questi materiali sono stati depositati principalmente durante il periodo fluvioglaciale del Wurm, dalle divagazioni dei F. Piave - Brenta; essi depositava ingenti quantità di materiali, il trasporto solido era infatti molto abbondante per la maggiore portata dovuta allo scioglimento dei ghiacciai, da cui traevano origine.

I sedimenti sono costituiti da alluvioni ghiaiose e ghiaioso sabbiose, a volte cementate, i cui elementi sono arrotondati; ad esse sono alternate lenti sabbiose di modesta estensione laterale. Dall'analisi di stratigrafie profonde relative a pozzi idrici esistenti nel territorio, si può sottolineare che le ghiaie con matrice sabbiosa, sono intercalate in profondità con livelli cementati conglomeratici.

> **SA6** Materiali di riporto di spessore normalmente superiore ai tre metri

Sono cave dismesse e/o abbandonate e/o estinte, e ripristinate con materiale di riporto. Lo spessore è normalmente superiore ai tre metri.

### b) <u>ALTRI ELEMENTI</u>

## Linee di faglia attiva

Nella zona immediatamente a Sud delle colline, il progetto Ithaca (Italy-Hazard from Capable Faults), individua una faglia attiva (linea Bassano-Cornuda), la cui ubicazione non è certa in quanto è obliterata dai depositi quaternari. Nel territorio non vi sono evidenze superficiali, scarpate di neoformazione, che possano avvalorare la presenza di faglie capaci ovvero di creare una fogliazione di superficie.

Linee di contatto tra litotipi a caratteristiche fisico-meccaniche molto diverse

Sono discontinuità sismiche superficiali d rilievo, al contatto tra rocce e
depositi incoerenti, che possono generare "effetti di bordo".

## Aree con profondità della superficie della falda minore di 15 metri dal piano campagna

Sono state cartografate queste zone in quanto la normativa al punto 7.11.3.4.2 esclude fenomeni di liquefazione qualora vi sia "...la profondità stagionale della falda superiore a 15 metri dal piano campagna, per piano campagna sub-orizzontale e strutture con fondazioni superficiali."

## c) MORFOLOGIE GENERANTI AMPLIFICAZIONE SISMICA

La normativa vigente prevede, per configurazioni superficiali semplici ("...prevalentemente bidimensionali, creste o dorsali allungate ...se di altezza maggiore di 30 metri"), un'amplificazione sismica per le seguenti categorie:

"T1 = Superficie pianeggiante, pendii e rilievi isolati con inclinazione media i ≤ 15°,

T2 = Pendii con inclinazione media i > 15 °:

T3 = Rilievi con larghezza in cresta molto minore che alla base e inclinazione media  $15^{\circ} \le i \le 30^{\circ}$ ;

T4 = Rilievi con larghezza in cresta molto minore che alla base e inclinazione media i > 30 °.

E' certa l'amplificazione sismica generata dalla morfologia; al momento però non vi sono studi e/o metodi di calcolo certi che quantifichino l'effetto.

### - Dorsale

Sono state cartografate le dorsali di altezza compresa tra dieci e trenta metri, e quelle con altezza maggiore a 30 metri.

### - Orlo di scarpata di cava estinta

E' stato cartografato un orlo di scarpata di cava estinta di altezza compresa tra i dieci e i trenta metri. Si tratta di una cava di "argilla" posta nella formazione "Marne di Tarzo".

#### 7. ZONE OMOGENEE IN PROSPETTIVA SISMICA

La Dgr. n. 3308/2008 prevede, per definire le zone omogenee in prospettiva sismica, la mappatura del territorio comunale in:

- "aree stabili, nelle quali non si ipotizzano effetti locali di rilievo di alcuna natura (substrato geologico posto a profondità inferiore a tre metri con morfologia piatta o semi-pianeggiante);
- <u>aree stabili suscettibili di amplificazioni sismiche</u>, nelle quali sono attese amplificazioni del moto sismico, come effetto dell'assetto litostratigrafico e morfologico locale;
- <u>aree suscettibili d'instabilità</u>, nelle quali gli effetti sismici attesi e predominanti sono riconducibili a deformazioni del territorio (non sono necessariamente esclusi per queste zone anche fenomeni di amplificazione del moto). Le principali cause d'instabilità sono: instabilità di versante, liquefazioni, faglie attive, cedimenti differenziali."

La Dgr. n. 69/2010 "Linee guida per la realizzazione dello Studio di Compatibilità sismica per i PAT" precisa con maggiore dettaglio la diversità tra le tre categorie:

- "aree stabili non suscettibili di amplificazione sismica" sono quelle zone che presentano una morfologia regolare e suoli di tipo "A" con copertura inferiore ai tre metri, prive di rotture sulla superficie topografica per riattivazione di faglie capaci, non potenzialmente soggette a fenomeni d'instabilità innescabili dallo scuotimento sismico (es. frane, cedimenti per collasso di cavità sotterranee, per densificazione di terreni insaturi e per liquefazione di terreni saturi).
- "aree stabili suscettibili di amplificazione sismica" sono aree stabili perché non soggette a fenomeni d'instabilità, e poste su suoli diversi del tipo "A",

- caratterizzate da topografia accidentata (creste, orli di scarpata, cime isolate, irregolarità morfologiche sepolte).
- "aree instabili per azione sismica" sono aree in cui si possono verificare i seguenti fenomeni di instabilità sismoindotti: instabilità di versante (per crollo, per colata tipo mud flow, per scivolamento, ecc.), cedimenti per densificazione di terreni insaturi (es, terreni naturali e/o di riporto limoso sabbiosi recenti), per liquefazione in terreni saturi, per collasso di cavità sotterranee, rotture in superficie per riattivazione di faglie capaci.

Nel presente studio non sono state rilevate *aree stabili non suscettibili di amplificazione sismica*. L'intero territorio Comunale è stato inserito come "*area stabile suscettibile ad amplificazione sismica*" o per effetto morfologico locale o litologico-stratigrafico.

In particolare sono state distinte le seguenti sottocategorie (v. TAV. "S3"):

- "Zone stabili suscettibili di amplificazione sismica per effetti litologicostratigrafici e topografici di superficie": sono suoli diversi dal tipo "A", per cui interessati ad amplificazione litologico-stratigrafica, lungo dorsali e un orlo di scarpata di cava estinta di altezza maggiore a 30 metri, con inclinazione del pendio > a 15°, e perciò soggetti, secondo la normativa italiana, ad effetti di amplificazione topografica.
- "Zone stabili suscettibili di amplificazione sismica per effetti litologicostratigrafici e topografici di morfologia sepolta": sono suoli diversi dal tipo "A", per cui interessati ad amplificazione litologico-stratigrafica e caratterizzati da una morfologia sepolta del bedrock sismico irregolare, che può creare dei fenomeni di amplificazione topografica e litostratigrafica.
- "Zone stabili suscettibili di amplificazione sismica per effetti litologicostratigrafici": sono suoli diversi dal tipo "A", per cui interessati ad amplificazione litologico-stratigrafica.

Le *aree di instabilità* per azione sismica sono costituite da:

- **Zone con cedimenti differenziali** dovuti al contatto tra mezzi a caratteristiche elastiche molto diverse.

- Zone con cedimenti per densificazione di terreni insaturi nei terreni di riporto a volte con la medesima granulometria.
- Aree di potenziale cedimento per liquefazione di terreni saturi sabbiosi, sabbioso-limosi o sabbioso-ghiaiosi e con superficie della falda minore di 15 metri dal piano campagna.
- Zone con rotture in superficie per riattivazione di faglia attiva e capace (traccia indeterminabile). Queste faglie sono state inserite tra le aree instabili per azione sismica solo per precauzione, in quanto non è stato possibile determinare se siano attive e capaci. In questi siti si dovrà verificare, per quanto possibile, a livello puntuale se vi siano delle evidenze geologichegeomorfologiche di superficie, tali da poter stabilire lo stato di "riattivazione".

## 8. Piano degli Interventi e normativa tecnica

L'allegato "A" della Dgrv n.3308/2008 prevede che, all'interno del P.I., "...per il territorio urbanizzato, urbanizzabile (suscettibile di trasformazioni urbanistiche per l'espansione degli abitati) ..." che venga effettuata:

- "con riferimento alle "aree stabili" (v. lettera "a" punto "3" dell'allegato A) la caratterizzazione del terreno tramite la misura delle Vs30 (velocità di propagazione delle onde di taglio entro i 30 metri di profondità come definita dalle vigenti norme tecniche sulle costruzioni);
- con riferimento alle "aree suscettibili di amplificazioni sismiche" (v. lettera "b" punto "3" dell'allegato A) uno studio finalizzato alla determinazione della profondità del bedrock sismico in funzione della definizione del periodo proprio della vibrazione del sottosuolo e alla definizione dei profili di Vs30, unitamente alla valutazione degli effetti morfologici;
- con riferimento alle "aree suscettibili di instabilità" (v. lettera "c" punto "3" dell'allegato A), uno studio degli eventuali effetti di cui all'alinea precedente e uno studio specifico finalizzato all'individuazione degli ambiti potenzialmente soggetti a instabilità, utilizzando come parametri di riferimento quelli stabiliti dalla vigente normativa tecnica sulle costruzioni."

...Gli elaborati dei P.I. ... comprendono una relazione tecnica contenente i dati riguardanti le indagini effettuate e una cartografia in scala adeguata, su base

C.T.R. con l'ubicazione delle indagini e l'individuazione delle microzone omogenee e relative condizioni predisponenti l'amplificazione."

Gli interventi, presenti in questo P.I., sono di modesta entità sparsi nel territorio comunale, senza contiguità territoriale. Eseguire una microzonazione sismica per aree omogenee, comporterebbe l'esecuzione di numerose indagini in sito su tutto il territorio comunale. Sono state eseguite indagini sismiche puntuali in due aree, in quanto prevedono un ampliamento volumetrico consistente: n. 76 di 3700 mc e la n. 99 di 13315 mc.

Si ritiene perciò di proporre una normativa generale sull'intero territorio comunale e stralciare parte dell'art. 25 delle NTA del PAT dal capoverso "ai soli fini sismici qualora l'indagine sia eseguita in conformità ..." sino alla fine dell'articolo, e sostituirlo con il seguente:

La relazione geologica ai soli fini sismici dovrà essere corredata in conformità al DM. 14.01.2008, e in particolare da:

- Relazione illustrativa in cui saranno illustrate le caratteristiche geologiche, geomorfologiche e idrogeologiche in un intorno significativo. Dovrà essere descritta la sismicità storica del territorio e gli estremi dei valori di accelerazione orizzontale massima per i suoli di categoria "A". Dovranno essere illustrati i metodi e i risultati delle prove in sito.
- <u>Cartografia</u> (CTR di base fuso W a scala minima 1:5.000) geologica, geomorfologica, idrogeologica di un'area convenientemente estesa, che metta in evidenza i fenomeni di instabilità dei versanti (crollo, colamento superficiale, ...), i cedimenti per densificazione dei terreni insaturi, per liquefazione, per collasso di cavità sotterranee, per contatto tra litotipi a caratteristiche fisico-meccaniche molto diverse, le rotture in superficie per riattivazione di faglia capace (traccia possibile o indeterminabile), la morfologia che può causare amplificazioni topografiche (es. scarpate con pareti subverticali, bordo di cave, di discariche, nicchie di distacco, orlo di terrazzi, zone di cresta rocciosa e/o cime isolate con pendenze maggiori a 15 gradi e altezza maggiore ai 30 metri), le caratteristiche litologiche, l'ubicazione delle prove in sito, le aree con profondità della falda < 15 metri dal piano campagna.

- Indagini in sito: La normativa vigente prevede di valutare l'effetto della risposta sismica locale mediante specifiche analisi. Qualora si addotti un approccio semplificato, si dovrà far riferimento alle categorie di sottosuolo, in base ai valori della velocità equivalente Vs30. Si consiglia di eseguire misure, anche se non specificato dalla normativa vigente, commisurate alla frequenza di risonanza degli edifici che si devono eseguire (es. un edificio a 15 piani sviluppa indicativamente una risonanza di 1 Hz, la quale è legata tipicamente ad un contatto sedimento-roccia a 100 metri di profondità). In ogni caso la misura diretta della velocità di propagazione delle onde di taglio Vs, con metodi geofisici, è fortemente raccomandata. Qualora non sia possibile la classificazione può essere effettuata in base ai valori del numero equivalente di colpi della prova penetrometrica dinamica (SPT) Nspt30 nei terreni prevalentemente a grana grossa e della resistenza non drenata equivalente Cu30 nei terreni prevalentemente a grana fine; le prove dovranno essere eseguite almeno ogni tre metri di profondità e ad ogni cambio litologico.
- Le misure geofisiche possono essere eseguite con i seguenti metodi: tecniche dirette in foro (down-hole, cross-hole, cono sismico, ecc.), tecniche indirette attive (sismica a rifrazione onde S, sasw, masw, ftan, ecc.), tecniche indirette passive (spac, esac, ReMi, H/V, ecc.). Qualora si eseguano misure con tecniche indirette attive devono essere eseguite contestualmente anche indagini dirette in foro o indirette passive.
- Nel caso di modellazione H/V è indispensabile la conoscenza di un vincolo ( stratigrafia e/o penetrometria e/o Vs del primo strato determinata con altre tecniche), inoltre le misure devono essere conformi alle linee guida SESAME e rappresentate graficamente in un campo di frequenze di interesse ingegneristico (0.1-20Hz).
- Dovranno essere allegati alla relazione geologica i grafici di misura e dl'interpretazione delle prove in sito.
- Si potranno utilizzare valori provenienti da misure dirette puntuali delle onde di taglio "Vs" eseguite in sito immediatamente adiacente a quello investigato,

purchè i litotipi, la morfologia superficiale e sepolta, l'idrogeologia, e le caratteristiche sismiche siano compatibili a quelle riscontrate nell'area in studio; la verifica dovrà essere sottoscritta da professionista laureato in geologia.

Per le aree soggette al presente Piano degli Interventi, oltre ad eseguire quanto previsto dalla normativa prevista dall'art.25 delle N.T.A. del PATI e dai capoversi precedenti, si dovrà:

- per tutte le aree definire il periodo proprio di vibrazione del sottosuolo in funzione alla frequenza di risonanza degli edifici; si dovrà prestare particolare attenzione ai contrasti d'impedenza significativa (es. bedrock e terreni alluvionali).
- per le aree n. 91, 72, 4 verificare in particolare il contatto tra litotipi a caratteristiche fisico-meccaniche molto diverse.
- per la n. 31, 33, 48 verificare l'amplificazione topografica e la stabilità del pendio in caso di sisma.
- per le aree n. 1, 4, 5, 6, 7, 8, 9, 10, 11, 12, 13, 14, 15, 16, 17, 18, 20, 22, 24, 25, 26, 29, 30, 34, 35, 36, 37, 38, 39, 40, 41, 43, 44, 45, 46, 47, 49, 50, 51, 52, 53, 54, 55, 56, 57, 58, 59, 60, 61, 62, 64, 65, 66, 67, 68, 69, 70, 71, 72, 73, 75, 76, 77, 80, 81, 82, 83, 84, 85, 87, 88, 89, 90, 91, 92, 93, 94, 95, 96, 97, 98, 99, 100 i cedimenti differenziali per liquefazione in terreni saturi e di densificazione in terreni insaturi, soprattutto limoso-argillosi; a volte si riscontrano anche litotipi limoso sabbiosi che possono essere soggetti a tale fenomeno.
- per le n. 2, 7, 13, 25, 36, 45, 67, 81, 96 si dovrà considerare, a livello di calcolo strutturale, la presenza di faglia attiva e capace (v. catalogo Ithaca) sepolta da una coltre di depositi quaternari.
- per l'area n.99 e 42-78 non sono necessarie ulteriori indagini sismiche.

Treviso, Luglio 2011

Il geologo

## **ALLEGATI**

• ALLEGATO n. 1 : Sondaggi

• ALLEGATO n. 2 : Trincee esplorative

• ALLEGATO n. 3 : Prove Penetrometriche

• ALLEGATO n. 4 : Aree d'intervento urbanistico

_							
Committente		nittente	Amm. com.le di Fonte	s	ONDAGGI	0 F	OGLIO
0	Cantiere		/		S1		1
L	.ocali	tà	Fonte (TV)				
Data Inizio		nizio	1986 Data Fine /		Il geologo		jo
	Scala 1:200	Stratigrafia	Descrizione			Potenza	Profondita'
П		0	Terreno vegetale			0.20	0.20
ľ	4		Ghiaia			3.80	
	6		Ghiaia limosa			2.00	4.00
	8		Limo sabbioso			2.50	6.00
		$\sim$	Limo			1.00	8.50
V	10		Ghiaia				9.50
ļ	12	0 0				4.50	
U	14	00					14.00
	16		Ghiaia con ciottoli			4.00	
۲	18	60	Ghiaia grossolana			1.00	18.00
	20		Roccia molto compatta			0	19.00

La falda fuoriesce dalla bocca pozzo posta al piano campagna.

Comr	nittente	Amm. com.le di Fonte	DAGGIO	FO	GLIO
Cantiere		/	S2		1
Local	ità	Fonte (TV)			
Data	Inizio		Il geologo		
			Sartor dott. Livio		
Scala 1:100	Stratigrafia	Descrizione		rolenza	Profondita'
	ulk	Terreno vegetale		0.00	
1		Limo a volte con ciottoli			0.60 -
2	$\approx$				
	$\approx$				
3			9	0.10	
4	$\approx$		L L	o	
5					
6	60	Ghiaia medio fine	6	0.00	5.70 -
7		Limo			6.30 -
			7	08.1	
8		Sabbia fine		$\exists$	7.60 -
9			{	2.40	
			٠	Ni	
10					10.00

E' stata rilevata la presenza della falda alla profondità di -3.50 metri dal piano campagna.

Co	omn	nittente	Amm. com.le di Fonte	AGGIO	FC	OGLIO
Ca	antie	ere	<u>/</u>	3		1
Lo	cali	tà	Fonte (TV)			
Data Inizio		nizio		II geolog Sartor dott.		
Scala 1:100	Ocala 1.100	Stratigrafia	Descrizione		Potenza	Profondita'
	1	***	Terreno vegetale Limo		09.0	- 0.60
	2		Ghiaia medio fine Limo	000	.20 .20 .20	1.00 1.20 1.40 1.60
	3	$\approx$	\Ghiaia fine \Limo		1.10	2.70
	4		Ghiaia		1.20	- 3.90
	5		Limo sabbioso		1.20	0.50
ľ			Ghiaia fine		.10 08.0	5.10 5.20
1	6		Limo Ghiaia	+	0.80	6.00
ľ	7		Limo sabbioso			6.80
	8				3.20	
	9					10 00

E' stata rilevata la presenza della falda alla profondità di -2.00 metri dal piano campagna.

С	omn	ittente	Amm. com.le di Fonte	GGIO	FC	GLIO
Cantiere		re	S	4		1
Lo	ocali	à	Fonte (TV)			
D	ata I	nizio		− ∥ II geolog		
			Sarto	r dot	t. l	_ivio
	Scala 1:1000	Stratigrafia	Descrizione	Dotonzo	ו סופוולמ	Profondita'
	10		Argilla Marnosa grigia	10 00	200.5	
	00		Limo argilloso di colore marrone	4.7	70	12.30 17.00
١,	20	4 4 1 4 1	Conglomerato compatto e poco tenace, a volte fratturato			17.00
	30			25 30	3	
		]		20	3	
H.	40	0 0				42.30
	50		Conglomerato fratturato	ے		42.50
ľ		7,7		α σ	5	
L,	60	0/2		<u> </u>		60.30
		0 ld	Argilla grigia	1.5		61.80
	70		Conglomerato compatto, a volte fratturato	0.5		71.50
	80	4 'Y	Argilla con lignite  Conglomerato compatto, a volte fratturato	/\	00/	72.00
			Congioniciate compatie, a voite naturate	ءِ	,	
	90			00 20	1.72	
		0 o				

Venute d'acqua: -36.30 mt da p.c., da -42.30 a -60.30 mt da p.c., da -66.30 a -72.00 mt da p.c..

Arenarie sabbiose con livelli calcarei

99.00 -105.30

Committente		Amm. com.le di Fonte	SONDAGG	OIE	FOGLIO
Cantiere		1	S5		1
Località		Fonte (TV)			'
Data I	nizio	1995 Data Fine /	— ∥ II geolog		
			Sartor	dott	. Livio
200	w	9			
Scala 1:1500	Stratigrafia	Descrizione		za	Profondita'
ala	ratiç	Secr		Potenza	ofor
Š	ਨ	ď		۱۳	Ā
		Limo argilloso		6.00	6.00
15	Y 4	Argilla Marnosa grigio-azzurra	/	4.00	10.00
00		Conglomerato con lenti argillose		.50	
30				34.9	
45	<del>0 d</del>				44.50
	<b>У</b> У.	\Argilla con lignite		0.50	44.50 <del>-</del> 45.00
60		Conglomerato poco cementato		٥	
				35.00	
75	00				80.00 -
90		Conglomerato generalmente compatto, a volte fratturato			
	00			30.00	
105				<u>ش</u>	
120		Arenarie sabbiose con livelli calcarei			110.00
120					
135					
150				0	
165				91.00	
100					
180					
195					201.00
Venut	e d'acqu	a: da -43.0 a -45.0 mt da p.c., -109.0 mt da p.c			

C	omn	nittente	1	SONDAGG	Ю Г	OGLIO		
C	antie	ere	Muson Villa d'Asolo	Sms	1	1		
Località Asolo (TV)		tà	Asolo (TV)			•		
С	ata I	nizio	12.02.1992 Data Fine	II ge	olog	go		
	Scala 1:100	Stratigrafia	Descrizione		Profondita'	Potenza		
		w/kz	Terreno vegetale			0.80		
+	1	$\approx$	Limo marrone		0.80			
	2	$\approx$				1.80		
	3	$\approx$	Limo sabbioso marrone		2.60	06.0		
İ		$\widetilde{\widetilde{\widetilde{\widetilde{\widetilde{\widetilde{\overline{\overline{\overline{\overline{\overline{\overline{\overline{\overline{\overline{\overline{\overline{\overline{\overline$						
	4	$\sim$	Ghiaia medio fine in matrice limoso sabbiosa marrone chiaro					
	5	$\approx$				2.30		
		$\sim$						
	6	0	Ghiaia medio grossa in matrice limoso sabbiosa nocciola		5.80			
	7	) .				2.70		
	8	) - (				23		
		0			8.50			
+	9	0	Ghiaia medio fine con elementi di ghiaia grossa in matrice limoso sabbiosa nocciola	ı I				
	10	00						
	11	0 0						
t	11	o						
	12					6.50		
	13	00						
ľ								
	14	0 0						
	15	0 0			15.00			

Tor:1.20-0.55/ 1.50-0.34/ 2.00-0.5/ 2.50-0.24/ 3.00-0.3 kg/cmq SPT: 5.90-6.35: 50/Rcm14cm; 7.40-7.85: 38/50/Rcm11

# • ALLEGATO n. 2 : Trincee esplorative

Committente Ristorante al Vecchio Mulino		Ristorante al Vecchio Mulino	SONDAGG	io F	OGLIO
Cantie	ere	/	T1		1
Locali	tà	Fonte (TV)			•
Data Inizio		06.05.1996 Data Fine /	II geolog		
Scala 1:100	Stratigrafia	Descrizione		Potenza	Profondita'
	NAME .	Terreno di riporto ghiaioso		0.20	0.20
1		Terreno vegetale limoso		0.60	0.80
2		Ghiaia con matrice limoso sabbiosa		2.20	
3	$\approx$				3.00
Non è stata rilevata la presenza di una falda.					

Committente		Amm. com.le di Fonte	GIO	FOGLIO
Cantie	ere	/   T2		1
Locali	tà	Fonte (TV)		
Data I	nizio	28.05.1986 Data Fine /		
		Sartor	dott	. Livio
Scala 1:100	Stratigrafia	Terreno vegetale Ghiaia con matrice limoso sabbiosa	© Potenza	
2	0 0		2.90	
3				3.20
		Sabbia limosa	0.30	
Non è stata rilevata la presenza di una falda.				

Committente		Amm. com.le di Fonte	SONDAGO	io F	OGLIO
Cantie	re	/	T3		1
Localit	à	Fonte (TV)			'
Data Inizio				geologo r dott. Livi	
Scala 1:100	Stratigrafia	Descrizione		Potenza	Profondita'
	W.	Terreno vegetale		0.40	0.40
2		Sabbia fine		1.80	
3	0 0	Ghiaia medio fine		1.30	3.50
E' stata	a rilevata	a la presenza della falda alla profondità di -2.80 metri dal piano campagna.			

Comn	nittente	Amm. com.le di Fonte	SONDAG	GIO	FOGLIO
Cantie	ere	<i>I</i>	∥ T4		1
Locali	tà	Fonte (TV)			
Data Inizio		28.05.1986 Data Fine /		eolo dott	go . Livio
Scala 1:100	Stratigrafia	Descrizione Terreno vegetale		) is Potenza	
2		Limo sabbioso  Sabbia fine		1.10	1.40
3				2.10	
					3.50
Non è	stata ril	evata la presenza della falda.			

				Т	
Comn	nittente	Amm. com.le di Fonte	ONDAGGIO	FC	OGLIO
Cantiere			T5		1
Locali	tà	Fonte (TV)	10		
Data Inizio		21.10.1988 Data Fine /	II geo artor do		
Scala 1:50	Stratigrafia	Descrizione		Potenza	Profondita'
8 ½ 8 ½ 8 ½	ulke	Terreno di riporto		0.40	
8 5 8 6 8 8		Sabbia limosa		0.40	0.40
99	00	Ghiaia		0:30	- 0.80
1.5		Sabbia limosa	0	.20	1.10
		Ghiaia grossacon matrice sabbiosa		0.80	
- 5 5 5 5 5 5 5 5 5 5 5 5 5 5 5 5 5 5 5		Ghiaia con matrice sabbiosa di colore rossastro		0.50	2.10
<b>5</b> 6		Argilla limosa di colore grigio		.10	2.60 2.70
3:8		Ghiaia sabbiosa	0	.30	3.00

E' stata rilevata la presenza della falda alla profondità di -2.40 metri dal piano campagna.

Comn	nittente	Xamin Maurizio		SONDAGG	IO F	OGLIO
Cantie	ere	<u>/</u>		T6		1
Locali	tà	Fonte (TV)				•
Data Inizio		05.08.1990	Data Fine /	II ge Sartor o		
Scala 1:50	Stratigrafia	Descrizione			Potenza	Profondita'
8 1 8 3 8 3 8 3 8 3 8 6		Terreno vegetale			09.0	
		Limo sabbioso			1.40	0.60
5.5		Limo argilloso			0:30	2.00
		Sabbia			0.70	2.30
3.5		Limo sabbioso			0:30	3.00
3 4 3 2 2 2 2 2 2 2 2 2 2 2 2 2 2 2 2 2 2 2		Sabbia			0.50	3.30
		Limo argilloso			0:30	3.80
43		Sabbia			0.40	4.10
■ 4 8 ■ 4 8 ■ 5 0	Ö	Sabbia con ciottoli			0.50	5.00

E' stata rilevata la presenza della falda alla profondità di -2.20 metri dal piano campagna.

Comm	nittente	1		SONDAG	GIO I	FOGLIO
Cantiere		1		T8		1
Locali	tà	Fonte (TV)				
Data Inizio		14.06.1989	Data Fine /	II g	eolo:	
Scala 1:100	Stratigrafia	· ·			Potenza	Profondita'
1	, ° ° ° ° ° ° ° ° ° ° ° ° ° ° ° ° ° ° °	Terreno vegetale Ghiaia con matrice limoso sabbiosa			1.60 0.60	0.60
2	) ° ° ° ° ° ° ° ° ° ° ° ° ° ° ° ° ° ° °	Argille marnose			0.20	2.20 2.40
Non è	stata ril	evata la presenza di una falda.				

Comn	nittente	De Panni Emilio	SONDAG	GIO	FOGLIO
Cantie	ere	/	_∥ T9		1
Locali	tà	Fonte (TV)			
Data Inizio		26.04.1991 Data Fine /	II g	eolc dott	
Scala 1:100	Stratigrafia	Descrizione		Potenza	Profondita'
1	alle valle valle	Terreno vegetale		1.60	
3	0 0 0 0 0 0 0 0 0 0 0 0 0 0 0 0 0 0 0 0	Ghiaia con matrice sabbiosa e con livelli limosi		2.80	1.60
					4.40

Committente		D'Aloia Addolorata SONDAG	GIO	FOGLIO
Cantie	re	/	<b>)</b>	1
Localit	à	Fonte (TV)		
Data Inizio			II geolog	
Scala 1:100	Stratigrafia	Descrizione	Potenza	Profondita'
1		Terreno vegetale Ghiaia con matrice sabbiosa	0.50	0.50
3	0 0 ) ° ° 0 0		2.50	3.00
Non è	stata rile	evata la presenza di una falda.		

Comi	mittente	/ SONDA	GGIO	FOGLIO
Canti	ere	<u>/</u>	1	1
Local	ità	Fonte (TV)		<u>'</u>
Data Inizio		1985 Data Fine /	II geolog	
Scala 1:100	Stratigrafia	Descrizione	DO:	20
1		Terreno vegetale Limo argilloso	0.0	0.30
	00	Ghiaia	9	
2	$\sim$	Argilla limosa plastica	0 0 0	: 1.00
3	00	Ghiaia	08.0	2.50
	10.000.000.00	Argilla giallastra plastica	0.4	3.30 3.70
4		Argilla azzurra plastica	0	4.50

Il livello della falda è a -3.30 metri dal piano campagna.

Comn	Committente Amm. Com.le di Fonte		SONDAGG	IO F	OGLIO	
Cantie	ere	1		T12		1
Locali	tà	Fonte (TV)				<u> </u>
Data Inizio		10.03.1999 Data Fine /		II ge Sartor o		
Scala 1:100	Stratigrafia		Descrizione		Potenza	Profondita'
1		Terreno vegetale Ghiaia con matrice limoso sabbiosa			0.30	0.30
2					2.00	2.30

Il livello della superficie della falda è a -1.80 metri dal piano campagna.

Committente		Amm. Com.le di Fonte	SONDAGG	ilo F	-OGLIO			
Cantie	ere	/	T13	}	1			
Locali	tà	Fonte (TV)						
Data I	nizio	/ Data Fine /	II ge Sartor o					
Scala 1:100	Stratigrafia	Descrizione		Potenza	Profondita'			
	W/w	Terreno vegetale		0.40	0.40			
1		Sabbia fine		1.20				
3	00	Ghiaia con matrice limoso sabbiosa		1.90	1.60			
	00				3.50			
Non è	Non è stata rilevata la presenza di una falda.							

Comn	nittente	Baron Loris e Pietro	SONDAGG	GIO F	OGLIO
Cantie	ere	via Castellana	∥ T14	L	1
Locali	ità	Onè di Fonte (TV)			
Data Inizio		Gennaio 2006 Data Fine /	II ge	eolog dott.	
Scala 1:100	Stratigrafia	Descrizione		Potenza	Profondita'
1	*	Terreno vegetale  Ghiaia con matrice limoso argillosa		0.40	0.70
2		Limo argilloso di colore marrone		0.90	2.00
3		Ghiaia con matrice limoso sabbiosa  Argilla limosa di colore grigio		0.50	2.50
		5		1.50	

Venute d'acqua alla profondità di -2.00 metri dal piano campagna.

Committente		Franco Giulio SONDAGO	GIO	FOGLIO
Cantie	ere	Progetto costruzione fabbricato	5	1
Locali	tà	Fonte		
Data I	nizio	/ Data Fine / Sartor	eolo dott	
Scala 1:50	Stratigrafia	Descrizione	Potenza	Profondita'
9 1 2 3 3 4 9 5 9 6 9	Aller Aller	Terreno vegetale	0.70	
		Ghiaia con matrice limoso sabbiosa talvolta argillosa	3.30	0.70
43	$\widetilde{z}$	Limo argilloso di colore nocciola	0:30	4.30
4 5 4 6 4 8		Ghiaia con matrice limoso sabbiosa talvolta argillosa	0.50	4.80

Non si sono riscontrate venute d'acqua.

Comi	mittente	Amm. com.le di Fonte	GIO   F	OGLIO			
Canti	ere	/ T16	$\mathbf{s}$	1			
Loca	lità	Fonte (TV)					
Data Inizio		/ Data Fine / II gi	eolog dott.				
Scala 1:100	Stratigrafia	Descrizione	Potenza	Profondita'			
	w/w	Terreno vegetale	0.50	0.50			
2	0 0	Ghiaia fine con matrice limoso sabbiosa	1.40				
	$\approx$	Limo talvolta argilloso di colore ocra a fiamme grigie	09.0	- 1.90 - 2.50			
Non e	Non è stata rilevata la presenza della falda.						

Comm	ittente	Marcon Antonio e Guidolin Loretta	SONDAGGIO	FOGI	LIO
Cantie	re	Nuovo fabbricato residenziale	T17	1	
Localit	à	Onè di Fonte (TV)	· · ·	'	
Data Inizio		12.02.2005 Data Fine /	Il geol		vio
Scala 1:100	Stratigrafia	Descrizione		Potenza	Profondita'
1		Terreno vegetale  Ghiaia con matrice limoso argillosa	0.		0.70
2		Argilla limosa grigia con qualche ciottolo	$\overline{}$	1.40	1.00
3		Ghiaia con matrice limoso sabbiosa		09. 19.	2.40
4	ŽŽ	Ghiaia con matrice limoso argillosa da girgia a giallo rossastra	0.		4.00 4.50

Si sono riscontrate venute d'acqua alla profondità di -2.40 metri dal piano campagna.

Committente Mazzarolo Elide		Mazzarolo Elide	SONDAGG	10	FOGLIO
Canti	ere		T18		1
Local	ità	Fonte (TV)			
Data	Inizio	08.09.2001 Data Fine /	II geolog Sartor dott.		_
					1
Scala 1:100	Stratigrafia	Descrizione		Potenza	Profondita'
1	where	Terreno vegetale		1.00	1.00
2	0 0	Ghiaia grossa con matrice limoso sabbiosa		1.30	1.00
3	200	Argilla limosa con ciottoli e livelli di ghiaia con matrice argilloso limosa			2.30
				1.90	
_	1000 1000				4.20

Non è stata rilevata la presenza della falda.

Com	mittente	Az. Agricola Dal Bello SONDAGO	SIO F	OGLIO
Cantiere		/		4
Loca	lità	Fonte (TV)	<u> </u>	l 
Data	Inizio	29.10.2001 Data Fine / Sartor	eolog dott.	
Scala 1:200	Stratigrafia	Descrizione	Potenza	Profondita'
	0.0	Terreno vegetale	0.50	0.50 -
2		Ghiaia con matrice limoso sabbiosa e con trovanti	0.20	2.10
4		Limo argilloso di colore nocciola  Ghiaia con matrice limoso sabbiosa e con trovanti	0.20	2.30
6		Giliala con matrice ilmoso sabbiosa e con trovanti	8.70	
10	0 0			11.00

Non è stata rilevata la presenza della falda.

Committente		GAZZOLA SILVANO SONDA	GGIO	FOGLIO			
Cantie	ere	ONE' di FONTE	0	1			
Local	tà			<u>'</u>			
Data	nizio	20.10.2002 Data Fille /	Il geologo Sartor dott. Li				
Scala 1:100	Stratigrafia	Descrizione	Potenza				
		Terreno di riporto	0.3	- 0.30			
1		Limo argilloso di colore grigiastro con lenti di torba	1.20				
2		Ghiaia con ciottoli anche decimetrici e con matrice sabbiosa	1.	1.50			
3			2.30				
	0			3.80			
La fal	La falda è a una profondità di -1.50 metri dal p.c.						

Committente		/ sc	ONDAGGIO	FC	OGLIO
Cantiere	Э	ONE' di FONTE	T21		1
Località					<u>'</u>
Data Iniz	zio	14.12.2002 Data Fine / S	Il geologo Sartor dott. Liv		
Scala 1:100	Stratigrafia	Descrizione		Potenza	Profondita'
	wlke	Terreno vegetale		0.70	- 0.70 -
2 2		Ghiaia con matrice limoso sabbiosa		3.80	0.70
4 La falda	è a ur	na profondità di -3.90 metri dal p.c.			4.50

Committente		Bellotto Legnami S.a.s.		SONDAGG	ilO F	OGLIO
Cantiere		Costruzione fabbricato		T22	,	1
Località		Onè di Fonte (TV)				
Data Inizio					eologo dott. Livio	
Scala 1:50	Stratigrafia		Descrizione		Potenza	Profondita'
1 - CAST A LOCATION OF THE PORT OF THE POR	We when	Terreno vegetale			0.80	
		Argilla limosa di colore rossastr	ro		1.90	0.80
5 7 A		Ghiaia con matrice limoso argil	losa di colore rossastro		0:30	2.70

Non si sono riscontrate venute d'acqua.

Comn	nittente	P.di L. Dussin e altri SONDAG	GIO	FOGLIO
Cantie	ere	/ T2:	3	1
Locali	tà	Fonte (TV)		
Data I	nizio		II geolog Sartor dott.	
Scala 1:100	Stratigrafia	Terreno vegetale  Ghiaia con matrice limoso sabbiosa  Ghiaia con matrice sabbiosa	0.50 Potenza	0.90
3		Grilata con matrice saddiosa	2.60	4.00

Non è stata rilevata la presenza di una falda.

Committente		/ SONDAG	GIO	FOGLIO				
Cantie	ere	/ T24	1	1				
Locali	tà	Fonte (TV)		'				
Data I	nizio	Data Fine / Sartor	eolo dott					
Scala 1:100	Stratigrafia	Descrizione	Potenza	Profondita'				
	W.	Terreno vegetale	0.50	0.50				
2		Limo argilloso di colore marrone	2.70	0.50				
3				3.20				
Non è	Non è stata rilevata la presenza di una falda.							

Comr	nittente	SONDA	GGIO	FOGLIO
Cantie	ere	/ T2	25	1
Local	Località Fonte (TV)			'
-			geolo or dot	ogo t. Livio
Scala 1:100	Stratigrafia	Descrizione	Potenza	Profondita'
		Terreno vegetale	0.4	0 0.40
2		Limo argilloso di colore marrone	2.50	
3		Ghiaia con matrice sabbiosa	0.60	2.90
Modo	eto vonu	to d'acqua alla profondità di 2 10 matri dal n.c.		

Committente	Zardo Rino e Simone	SONDAGGI	O F	OGLIO
Cantiere	Costruzione magazzino agricolo	Tms <sup>-</sup>	1 📗	
Località	Onè di Fonte (TV)			
Data Inizio	07.10.2009 Data Fine	II geolo		go
Scala 1:100	Descrizione		Profondita'	0 Potenza
1	Terreno vegetale  Limo argilloso di colore rossastro con elementi spigolosi del diametro di 2-3 cm		0.60	0.60
3				3.40
4			4.00	

Committente	Az. Agricola Le Albare		SONDAGGI	O FC	OGLIO
Cantiere	Cantiere Allevamento avicolo		Tms2	<b>&gt;</b>	1
Località	Onè di Fonte (TV)				
Data Inizio	a Inizio 15.04.2010 Data Fine /		-	geologo rtor Livio	
Scala 1:100 Stratigrafia		Descrizione		Profondita'	Potenza
1	Terreno vegetale Ghiaia grossa con matrice lim Limo argilloso marrone	oso sabbiosa		0.50 0.70	0.50 0.20
3				3.50	2.80

Committente	Az. Agricola Le Albare	SONDAGGIO	FOGLIO
Cantiere	antiere Allevamento avicolo		1
Località	Onè di Fonte (TV)	Tms3	
Data Inizio	15.04.2010 Data Fine /		ogo Livio
Scala 1:100 Stratigrafia	Descrizione	Profondita	
1 0 0	Terreno vegetale Ghiaia grossa con matrice limoso sabbiosa	0.2	1.80
3	Limo argilloso marrone	2.0	1.50

Comm	nittente	Az. Agricola Le Albare		SONDAGG	IO FO	OGLIO
Cantie	Cantiere Allevamento avicolo		Tms4	4	1	
Localit	tà	Onè di Fonte (TV)				
Data Inizio 15.04.2010		15.04.2010	Data Fine /	II ge Sarto		
Scala 1:100	Stratigrafia		Descrizione		Profondita'	Potenza
1 2		Terreno vegetale Ghiaia grossa con matrice limos Limo argilloso marrone	o sabbiosa		0.50	0.50
3					3.50	2.40

Committente	Az. Agricola Marin		SONDAGGIO	FOGL	
Cantiere	Alzienda agricola		Tms5	5 1	
Località	Onè di Fonte (TV)				
Data Inizio	15.04.2010 Data Fine /			II geologo Sartor Livio	
Scala 1:100 Stratigrafia		Descrizione		Profondita'	
1	Terreno vegetale Limo argilloso marrone			0.70	
2 3				c	
			;	3.50	

Commit	ttente	Guadagnin Mara, Katia e Zorzi Ro	oberto	SONDAGG	ilo Fo	OGLIO
Cantiere	Cantiere Costruzione fabbricati		Tms	6	1	
Località	l	Fonte Alto (TV)				
Data Iniz	zio			eologo dott. Livi		
Scala 1:50	Stratigrafia		Descrizione		Profondita'	Potenza
0 0 0 0 0 0 0 0 0 0 0 0 0 0 0 0 0 0 0	3/4 3/4 3/4	Terreno vegetale			1.10	1.10
15		Limo argilloso con ciottoli				0.40
1 - 00000 - 010000000000000000000000000	17611981198	Ghiaia con matrice limoso sabbio	osa		1.50 -	
SCHOOL STATE OF THE STATE OF TH	466496496				4.50	3.00

Non sono state riscontrate venute d'acqua.

Committente		Guadagnin Mara, Katia e Zorzi Rob	erto	SONDAGG	ilO F	OGLIO
Cantiere	)	Costruzione fabbricati		Tms	7	1
Località		Fonte Alto (TV)				<u>'</u>
Data Iniz	zio	18.07.2007	Data Fine	II ged Sartor de		
Scala 1:50	Stratigrafia		Descrizione		Profondita'	Potenza
000 000 000 000	alke alke	Terreno vegetale				1.00
132		Limo argilloso con ciottoli			1.00	0.20
45367 000 000 000 000 000 000 000 000 000 0	6/8/6/8/6	Ghiaia con matrice limoso sabbios	a			1.40
56	<u>~</u>	The continue of colors at the			2.60	
332		Limo argilloso di colore nocciola			0.00	09.0
3 6 9		Ghiaia con matrice limoso sabbios	a		3.20	0.80
38	×				4.00	

Non sono state riscontrate venute d'acqua.

Committente	MAC S.n.c. Flli Bigolin		SONDAGO	GIO F	OGLIO
Cantiere	Cantiere Ampliamento fabbricato		Tms	8	1
Località	Onè di Fonte (TV)				
Data Inizio	27.06.2007	Data Fine /	II ged Sartor d		
Scala 1:50 Stratigrafia		Descrizione		Profondita'	Potenza
0.1 0.2 0.2 0.3 0.3 0.3 0.3 0.3 0.3 0.3 0.3	Terreno di riporto ghiaioso  Limo argilloso di colore marrone	e con qualche ciottolo		0.50	0.50
	<b>Q</b>	·		1.00	1.40
	Ghiaia con matrice sabbiosa			1.90	2.10
3800				4.00	

Non sono state rinvenute venute d'acqua.

Committente	Feltrin Pietro		SONDAGO	GIO F	OGLIO
Cantiere	Cantiere via Signoria		Tms	9	1
Località	Fonte (TV)				
Data Inizio	18.07.2007	Data Fine		eologo dott. Livic	
Scala 1:50 Stratigrafia		Descrizione		Profondita'	Potenza
8.5 8.5 8.5 8.5	Terreno vegetale			0.40	0.40
	Limo argilloso di colore nocciola	1		1.50	1.10
1.6	Limo argilloso di colore marrone	e scuro		1.50	06:0
15.00 (1) (1) (1) (1) (1) (1) (1) (1) (1) (1)	Limo argilloso di colore nocciola	a .		2.40	1.10
33				3.50	

Non sono state riscontrate venute d'acqua.

Committente	Feltrin Pietro	SONDAGGIO	FOGLIO	
Cantiere	via Signoria	Tms10	) 1	
Località	Fonte (TV)			
Data Inizio			eologo dott. Livid	
Scala 1:50 Stratigrafia	Descrizione		Protondita Potenza	
	Terreno vegetale  Ghiaia con matrice sabbiosa debolmente limosa	0.	1.80	
2.5		2.	50	

Non sono state riscontrate venute d'acqua.

Committente	Ferraro	SONDAGO	GIO F	OGLIO
Cantiere	PI	lms1	1	1
Località	Onè di Fonte (TV)			
Data Inizio	26.07.2011 Data Fine /		geologo or dott. Liv	
Scala 1:50 Stratigrafia	Descrizione		Profondita'	Potenza
8:2 × × × × × × × × × × × × × × × × × × ×	Torrono vogotaro		0.50	0.50
				1.70
The state of the s	limo sabbioso grigiastro con ciottoli (diam. max 5 cm)		3.00	0.80

Livello falda -1.10 metri.

### • ALLEGATO n. 3 : Prove Penetrometriche

# TECNOAMBIENTE S.a.s. di Sartor Livio & c. Certificato: PatFSZ-07 DIN 1 PROVA PENETROMETRICA DINAMICA DIAGRAMMA NUMERO COLPI PUNTA - Rpd Scala 1: 50 - cantiere : - lavoro : - località : - data prova : 21/06/1995 - quota inizio : - prof. falda : p.c. Falda non rilevata PATI Fonte-S.Zenone Fonte - data emiss. : 16/05/2007 da -2.5 mt terreni parzialmente saturi Rpd (kg/cm²) 50 100 m 1 5 6 7 8 9 9 10

#### TECNOAMBIENTE S.a.s. di Sartor Livio & c.

Certificato: PatFSZ-07

## DIN 2 PROVA PENETROMETRICA DINAMICA DIAGRAMMA NUMERO COLPI PUNTA - Rpd Scala 1: 50 - cantiere : - data prova : 21/06/1995 PATI Fonte-S.Zenone quota inizio :prof. falda : p.c. Falda non rilevata - lavoro : - località : Fonte 16/05/2007 - data emiss. : da -2.5 mt terreni parzialmente saturi - note : N = N(10) numero di colpi penetrazione punta - avanzamento $\delta$ = 10 cm m $^0$ $^0$ $^10$ $^0$ $^0$ $^10$ $^0$ $^0$ $^10$ $^0$ $^0$ $^10$ $^0$ $^0$ $^10$ $^0$ Rpd (kg/cm²) 50 100 <sup>150</sup> m 1 2 3 4 5 5 6 8 8 9 9 10

#### TECNOAMBIENTE S.a.s. di Sartor Livio & c.

Certificato: PatFSZ-07

### PROVA PENETROMETRICA DINAMICA DIAGRAMMA NUMERO COLPI PUNTA - Rpd

DIN 5

- cantiere :

- lavoro : - località : PATI Fonte-S. Zenone

Onè di Fonte

- data prova :

24/06/2004

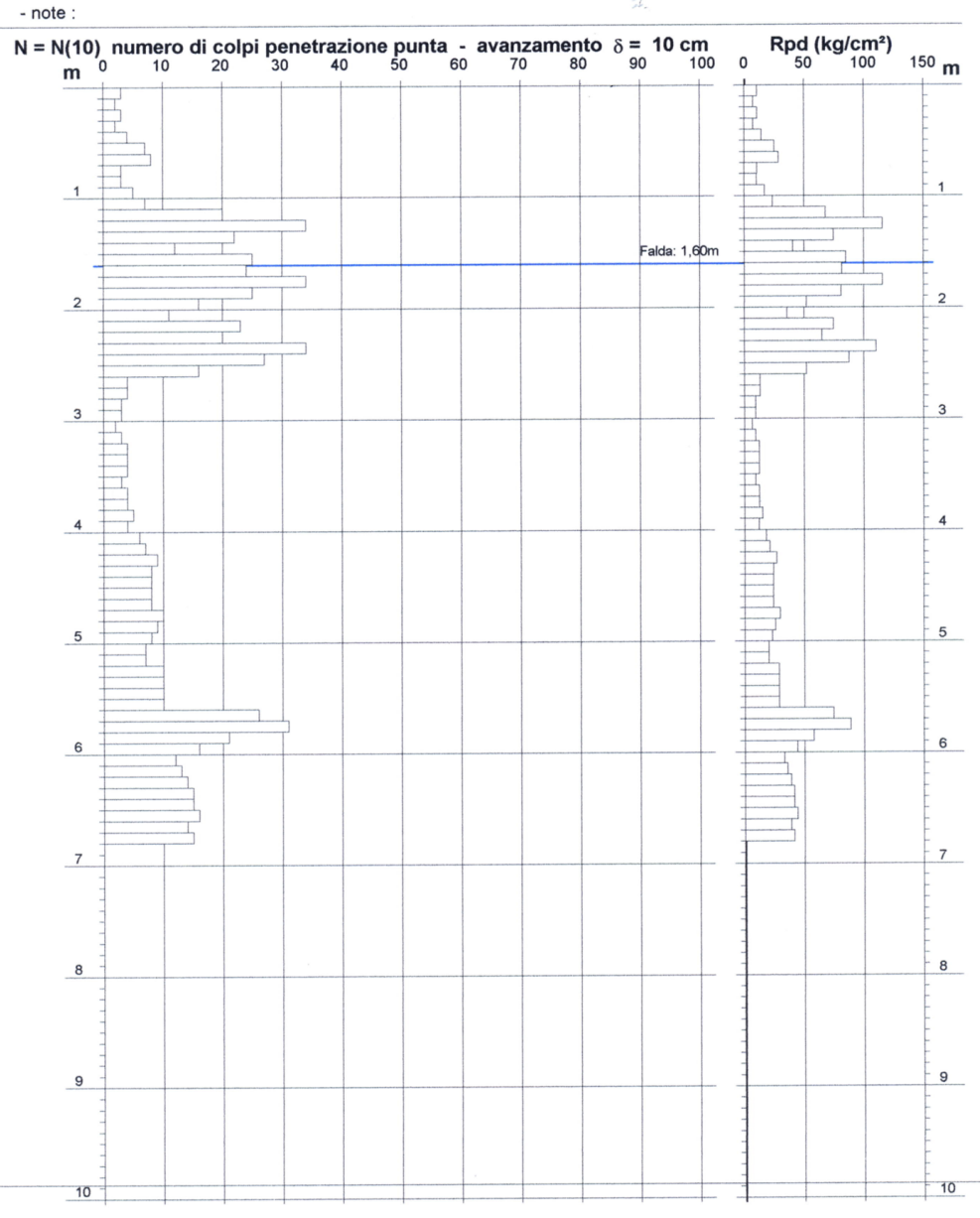
Scala 1: 50

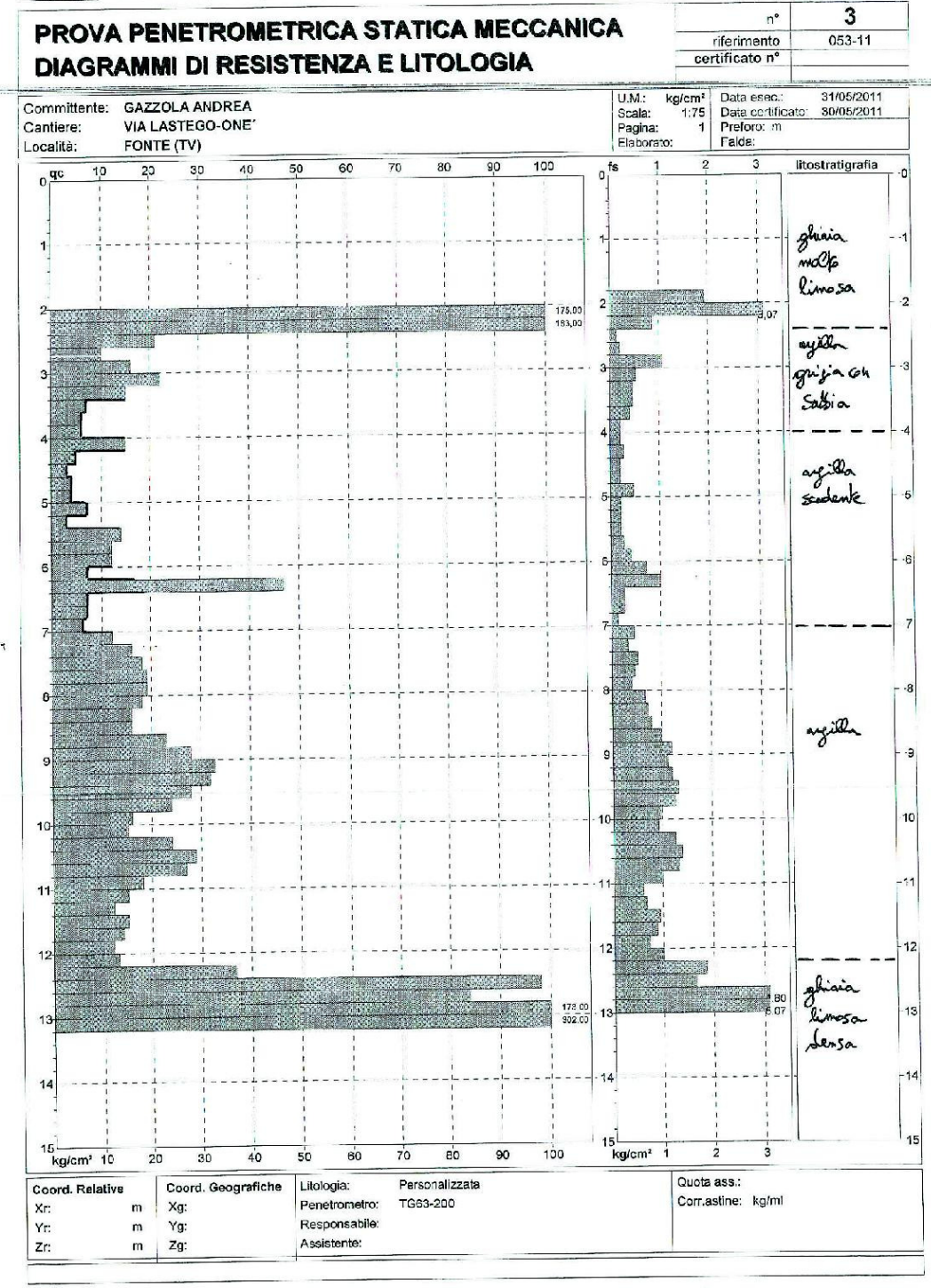
- quota inizio : - prof. falda :

p.c. 1,60 m da quota inizio 16/05/2007

- data emiss. :







Tel. 0423/53271 cell. 333/2595546 e-mail: geol.bernardi@tiscali.it

## • ALLEGATO n. 4 : Aree d'intervento urbanistico

2	BH PRESENTAZIO LLO LLO HE	PROTOCO	MOMUNATIVO	LOCALIZIAZIONE	FRAZIONE	FG.	MAPP.	DESTINAZIONE P.A.T TAVOLA N. 4 "Carta della Trasformabilità"	BIOHERSTA	NOTE	MOTOA	MODIFICHE 26.07.8011
-	148772009	8279	GAZZOLA BILVANO	VIA LASTEGO. 7	ONE	31	249	AKEA DI EDIPICAZIONE DIPPUSA	Si chiede l'assegnazione di una capacità edificatoria di 1960 no per esigenze familiari	Le proposte è compatibile con il PATI. Risulta passibile l'ampliamento del nacko rurale esistente con individuazione di una sogona l'imite di 85 mg.	mc 900	
-	15,0172067	198	MORPTPO GINO	VIA CA PALIER: 14	ONE	=	282	AKEA DI EDIPICAZIONE DIPPUSA	Viene chiesto l'ampliamento di mo 600 del labbricato esistente.	La proposta è compatibile con il PATI. Risulta anmissibile l'ampliamento del nacko rurale esistente con individuazione di una nuova volume di 500 mo.	900 cm	
•	1946472067	5280	BOFFO MASSIMO E BOFFO ANDREA	VIA XXVAPRILE (PONTE) VIA VIVALDI. 7 (ASOLO)	MATTARELLI	16	250-251-252-253-1467-	AREA DI URBANIZZAZIONE CONSOLIDATA	Viene chiesta la possibilità di realizzare un fabbricata residenziale di alineno inc 1996.	Le proposte è compatibile con il PATI. Risulta ammissibile la realizzazione di un nuova volume di 800 mc.	INC 800	
*	25/08/2009	9547	ANDREATTA OFTONE	VIA MENECHETTI. 26	MENESHETTI	61	542	AKEA DI EDIPICAZIONE DIPPUSA	Viene chiesta l'attribuzione di specifica edificabilità.	Le proposte è compatibile con il PATI. Risulto possibile il recupero di fini residenziali del volume esistente.	0	8 8
м	TONGTHOUGH	9087	DAL BELLO IVANA E DAL BELLO DIEGO	VIA MONTE PORCELLE.	ONE	φ	599	AREA DI URBANIZZAZIONE CONSOLIDATA	Si chiede l'eliminazione della possibilità edificatoria e finearimento in sono CAR senza indice di edificabilità.	Le proposte è ammissibile.	908	
	TUNDERFUNDE	9416	REGINATO WEND?	VIA RU'. 8	PONTE ALTO	ч	47.5	AKEA DI EDIPICAZIONE DIPPUSA	Viene chiesto l'inserimento del mappale in zona residenziale.	Le proposte è compatibile con il PATI. R's ulta possibile individuare un nucleo rurale con un nuovo labbricato di volume massimo di 500 mc.	Inc 800	Ampliamenta latta
4	PANEWARD	11263	SIGNOR MARKINO	VIA CASTELLANA, 584c	ONE	5	1180	AREA DI URBANIZZAZIONE CONSOLIDATA	Viene chiesta la possibilità di realizzare un fabbacato residenziale.	La proposta è compatibile con il PATI. Reulta passibile edificare un nuovo fabbincato di volume massimo di 300 mo.	(mc.1.289) mc 600	Riduzione cubatura da inc 1.200 a inc 600
•	11/16/2010	11274	GAZZOLA MORBNA	VIA MONTECKAPPA	ONE	φ	168-167-168-169-1612- 1613-1614-1615	AREA DI URBANIZZAZIONE CONSOLIDATA	Viene chiesta la possibilità di ampliare verso est la sona CHAPOGA) per realizzare la volumetria residenziale concessa.	Il PATI consente la possibilità di limitate modifiche alle aree di urbanizzazione consolidata: Feventuale variazione deriverà da valutazioni dei vantaggi dal pumo di vista	9	
•	27AUS-WALL	12069	PUBABINI GIANFBANDO	VIA PONTANELLE, 1	ONE	w	352-423	AREA DI URBANIZZAZIONE CONSOLIDATA	Viene chiesto l'inserimento dei mappali in ambito edificabile.	La richiesta è ammissibile con il PATI. Andranno definite con il PI le passibilità edificatorie.	909 Jui	
10	25/16/2007	13240	LIONELLO ANGELA	VIAMENESONI.1111	PONTE ALTO	63	25	AREA AGRICOLA	Viene chiesta la concessione di credita editrizio da realitzare in sona limitrola.	La richiesta è ammissibile con il PATI dato che l'area ove è localizzato il manufatto è inclusa nei limiti fisici alla nuova edificazione.	9	98 B
11	19122007	15764	ZACE COSTRUZIONI ERL	CASTELPRANCOV.TO	ONE	•	P521-0521-652-952-172	AREA DI URBANIZZAZIONE CONSOLIDATA	Viene chiesto lo spostamento della sagoma limite.	La richiesta è ammissibile in sede di redazione delle NTO del M.	9	
គ្	299372008	3955	SERENA GIACOMO	VIA BELLI. 29	PONTE ALTO	n	617 (ex 19h)	AREA AGRICOLA	Viene chiesto il cambio di destinazione d'uso da agricola a residenziale.		1.200	Aumento volume da inc 800 a inc 1,200
13	197082009	11688	GAZZOLA GHERAANO	VIA LARGA. 12	ONE.	16	1653-1654	YIOOHY YAKE	8	Il PATI consente la possibilità di limitate modifiche alle aree di urbanizzazione consolidata: l'eventuale variazione con del Pi definità le possibilità edificatorie.	mc 1.200	Ampliaments latta
14	12892008	11686	BOSA MARIO	VIA LASTEDO, 63	MATTARELLI	91	896-1592-901-1596	YIOOHOY YAKY	Si chiede l'assegnazione di una capacità edificatoria di 800 inciper costruzione edificio residenziale.	Il PATI consente la possibilità di limitate modifiche alle aree di urbanizzazione consolidata: l'eventuale variazione del PI definità le possibilità edificatorie.	inc 1.200	
118	800240120	11931	PEROSIN TERZO E PEROSIN MARIA GIUSTINA	VIA S.CH IA RA. MPONTER VIA ROMA JANVALDOBRI)	ONE	9	1278-1282-1285	AREA DI URBANIZZAZIONE CONSOLIDATA	Si chiede l'aumento della capacità edificatoria da 1200 mos 2400 mo.	Lo richiesto può essere annies folle con un più limitato aumento della volumetria (max 800 md.	908 out	8 8
14	27/11/2008	14561	Marcon Lorenzo	VIA ASOLANA, 131	ONE	8	423-425-500	YIOOHRY YAKE	20.00	II PATI consente la possibilità di limitate modifiche agli aree di fisazione del PI definità di edificazione del PI definità le possibilità edificatorie.	908 - un	
17	17/12/2008	15336	COMIN CARLO B BABBADIM ANYOMIA	VIA MONTECRAPPA. 66	ONE.	φ	1113	AREA DI URBANIZZAZIONE CONSOLIDATA	Si chiede l'assegnazione di un indice di edificabilità non inferiore a 0.7 moting per realizzazione di fabbricato con sviluppo esti	Larea risulta già edificabile con il vigente PRG.	INC 800	
118				VIA MONTECRAPPA	PONTE ALTO					Ampliaments area produttiva in vincolo cimiteriale	۰	
119	1645372010	3181	ANDREA DAL MINA E GINO DAL MINA	VIA CASTELLANA	ONE	12	611-610-316-317-10-26	AREA DI EDIPICAZIONE DIPPUSA	Si chiede la riduzione del vincolo di rispetto fluviale.	Ai sensi della L.R. 11/2004 sono vigenti il vincolo di inedificabilità ni 10 R.D. 368/1904 ed R.D. 522/1904 e di ml 100 ai sensi della L.R. 11/2004. Questo ultimo viene fissato	۰	
8	234272009	2133	TOMETTO DANTEL	VIA GIOLLI. 28	ONE	ø	1438-522	AREA DI URBANIZZAZIONE CONSOLIDATA	Si chiede l'individuazione di una perimetrazione coincidente con la proprietà. l'assegnazione di un volume edificabile e mantenere la inalterata la strada di accesso:	La richiesta può essere annuissibile kgando l'intervento alla casione gantula dell'arca pia to realizzazione della annai: per qued'ultimi il Comme può procede ne ll'espoprio delle area necessarie, mettendo la somma per la lora ocquisizione	9	Ampliaments ambits
12	23/03/2009	3320	PRODUCTO BRONO B PRILITZER CESTRA	VIA CASTELLANA, 109	ONE:	12	388-571-572-575	AREA DI URBANIZZAZIONE CONSOLIDATA	Si chiede l'assegnazione di una capacità edificatoria di 800 inciper es genze familiari.	La richiesta è annniss faile con il PATI; può essere limitato a S00 inc il nuovo volume.	909-2W	i i
a	27/05/2009	6166	MARCON ARMANDO E MARCON FIALO	VIA ASOLANA. 129-137	ONE:	=	848-836-373	ANEA DI EDIPICAZIONE DIPIUSA	Si chiede l'eliminazione del grado di protezione e cossione del terreno per costruzione marciapiede in continuazione di nuello esistente	E anniischile intervenire on creatione di sottopasso orraio nel labbricato om grado 4 e recupero volumetrico di 900 mc. L'intervento vo converticante i legato al la escolace gratuita del l'incen nei la realizzazione del mercaro l'anno sia Asalina.	909 Jul	S .
R	26465/2010	6063	BARON ALDO E BARON MASSIMO	VIA CASTELLANA, 61-89	ONE.	36	462:1584	AKEA DI EDIPICAZIONE DIPPUSA	Si chiede la demolizione dell'edificio esistente ed il recupero del volume tramite credito edilizio.	Risulta amnissibile il recupero volumetrico dell'edificio demolito.	0	
N	27/10/2009	12164	DAL BELLO PAOLO	VIA BARACCA 7001 (CROCETTA DEL MONTELLO)	PONTE ALTO	r	1623	AREA DI URBANIZZAZIONE CONSOLIDATA	Si chiede l'assegnazione di indice edificatorio massimo per edificazione.	La richiesta è amniss hile con il PATI; può essere limitato a S00 mcil nuovo volume.	Inc 600	
8	188112010	617	BROLING ALINGRANDRO	VIA GIORGIONE, 16	ONE	91	1381	AREA DI URBANIZZAZIONE CONSOLIDATA	Viene chiesta la possibilità di realizzare un l'abbricata residenziale di mo 1200.	La richiesta è annnissibile con il PATI: può essere limitato a 600 no il nuovo volume.	mc <b>600</b>	
8	1902/2010	2192	HENO GANDLA	VIA CARPENEDO, 16	ONE	ð	357.755	AREA DI URBANIZZAZIONE CONSOLIDATA / ZONA ACRECOLA	Si chiede fampliamento "area di urbanizzazione consolidata" assimilabile a "zona residenziale di completamento C) 2027	La richiesta è annissibile con il PATI da definire con il PI l' eventuale nuovo volume.	9	Ampliaments latto
8	268272010	2540	GASSOLA PABIO E MIOTTO ROBBLLA	VIA BATTAGELLO: 4	MATTARELLI	16	1178-1180	AREA AGRICOLA	Viene chiesta la possibilità di realissare due unità abitative per un totale di mo 1200.	Sekhene il PATI preveda possibilità di modifiche del perimetro del lustra intra la matta la rascribitezza risalta in gan parte non riconducibile a quella consolidata: vanno verificati eventuali vincoli derivati dal vicino	mc 600	

VIA KOLDE SS MATTARELLI.
ONE: 4 803-228
ONE' 12 249-259-251 e 35 perte
ONE: 4 109-115-372-373-627-
OME: 9
ONE 16 1386
OME: 10 94
ONE: 9 743.742 e 3.298 parte
OME: AREA DI URBANIZZAZIONE CONSOLLDATA
OME' 8 809-819 AREA IN URBANTIZAZIONE CONSOLLIDATA
3 619-1398-1844-1462- 1478-1489

13	2588/2016	7333	PAVERO ERNEGTO	VIA CRESPANO. 34	PONTE ALTO	ı,	28 sub 3	AREA DI URBAVIZZAZIONE CONSOLIDATA	Viene chiesta la possibilità di modificare il grado di protezione da 3 a 5.	La richiesta è in linea di massima ammissibile.	5	
4	299692016	7460	MAGGIOLO MATTEO (AZIENDA AGRICOLA "LE ALBARE")		ONE			AREA AGRICOLA	Viene chiesto la passibilità di ampliamento dell'incediamento.	La richiesta è ammissibile con il PATI: il PI definirà le modalità delle trasformazioni, le mitgazioni e la perequezione.	•	
3	25808/2616	7472	HIGNOR LUCIO B SIGNOR GUIDO	VIA AXEL 18 VIA MADONNA DEL CARMINE 28	ONE:	19	1647-112-528-1646	AREA DI URBANIZZAZIONE CONSOLIDATA / ZONA AGRICOLA	Viene chiesta la possibilità di realizzare due unità abitative di inc 806 ciascuna.	La richiesta è ammissibile con il IAM pervia limitata modifica del cansolidato: il PI definirà le modalità della naova edificazione (UMP: e la quantità edificatoria 1000	inc 1.206 Amp	Ampliamenta lotta
#	28/8/2016	10724	COMUNE DI ASOLO	PIAZZA DANNUNZIO. 1	-3NO	11	23	AREA DI EDIPICAZIONE DIPPUSA / ZONA AGRICOLA	Viene chiesta la passibilità di realizzare un edificio nell'area di proprietà conunale.	La richiesta è annissibile con il PATI previa linitata modifica dell'area di edificazione diffusa: Il PI definità le modalità della naova edificazione.	inc 1.200	
#	13892616	36196	CHEMASCO MARIO E VARDANEGA GARETRILIA	VIA VILLA MANA. 49	ONE.	ð	146	AREA DI EDIPICAZIONE DIPPUSA / ZONA ACRECOLA	Viene chiesta la possibilità di modificare il perimetro di zona ad edificazione diffusa comprendendo l'intero mappale.	La richiesta è annisabile con il PATI peevia linitata modifica dell'area di edificazione diffusa: il PI definirà le modalità della nuova edificazione a partire dai volumi non		
97	300992016			VIAS PIOX	ONE.			AREA DI URBANIZZAZIONE CONSOLIDATA	Viene chiesta la possibilità di modificare il perimetro di sono di urbanizzazione consolidata e la realizzazione di tre nuove	La richiesta è annissibile con il PATI pervia limitata modifica dell'area di urbanizzazione consolidata: il PI definità le modalità della nuova edificazione e	mc 2.730	
44	368692016		COMUNE DI PONTE		ONE.			AREA DI URBANIZZAZIONE CONSOLIDATA	Modificare dell'area a standard di proprietà comunale in lotto edificabile.	La richiesta è ammissibile con il PATI anche se risulta oppurtuna una ridizione della nuova edificazione: il PI definità le modalità della nuova edificazione:	Inc 2.642	
49	298772016	8801	BIANOHIN ALESSANDRO E BIANOHIN FRANCESOO	VIA S. PIO X	ONE.		1225-1228	AREA DI URBANIZZAZIONE CONSOLIDATA	Viene chiesta la possibilità di aumentare la cubatura del labbarisato in costruzione di 100 mc.	La richiesta è annissibile con il PATI: il Pi definirà le modalità dell'aumento volumetrico, anche attraverso la non computabilità di alcuni spezi (garage fuori terra. locale	inc 100	
67	2031042016			VIA MATTARELLI	MATTARELLI			AREA DI URBANIZZAZIONE CONSOLIDATA	Ampliamento dell'attuale area C14	L'ampliamento è ammissibile in quanto l'area è già inclusa nell'urbanizzazione consolidato del PATI.	inc 800	
99										Individuations percorso pedanale Lastego	0	
61				VIA ASOLANA	ONE			AREA DI URBANIZZAZIONE CONSOLIDATA		Trasformazione di parcheggio privato in parcheggio pubblico.	9	
20				VIA ASOLANA	-3NO			AREA DI URBANIZZAZIONE CONSOLIDATA		Elliminazione di verde pubblico in zona TCP	5	
2	14892009	10224	BERNARDI DOMENTOO	VIA SERNORIA, SU		10	1714-1711-1899-1893- 1898	AREA DI URBANIZZAZIONE CONSOLIDATA	Viene chiesto la possibilità di aumentare la cubatura nella UMI di Via Matterelli.	L'aumento di cubatura è ammissibile in quanto l'area è già inclusa nell'urbanizzazione consolidata del PAPI: va individuato un piccolo percheggio.	inc 800	
Z	15/10/2016	11551	OZNESOT NYFOLE E STEEDEN TOBERZO	VIA CARSOLIAVI) CHERUSKER STRJJJ BIBERLIN	POWTE ALTO	ęl	498-499	AREA DI EDIPICAZIONE DIPPUSA	Viene chiesta l'eliminazione della UMI.	Le proposte può essere competibile con il PATI e non inficia previsioni di piano.	9	
25	25/10/2010	11872	PORNER PIPTRO		POWFE ALTO		465	AREA DI EDIPICAZIONE DIPPUSA	Viene chiesto la possibilità di realizzare un edificio di no 600.	La proposta va valutata vista la presenza dell'alkvamento intensiva e delle eventuali distanza di rispetto dallo stesso generate: de comunque un nacleo abitativa interposto.	inc 600	
28	22310/2016	11812	PELLIZZEE FLAVIO LEGEAPPE. IMLOBILIARE PIEFFE	VIA MATTERELLI. 66/2	ONE.	30	1472	AREA DI URBANIZZAZIONE CONSOLIDATA	Viene chiesta la possibilità di realizzare edifici per civile abitazione di mo 2000.	La proposta è compatibile con il PATI: vanao realizzte tipologie diverse da quelle condominiali.	mc 1.666	
29				VIA ASOLANA	ONE:			AREA PER SERVIZI		Individuazione di parcheggio in area di verde pubbblico.	9	
829	08/11/2010	12376	METH MARCRILO	VIA CRESPANO.48	PONTE ALTO	υj	283	AREA DI EDIPICAZIONE DIPPUSA	Viene chiesto la possibilità di realizzore un edificio per esigenze familiari.	Le proposta non è compatibile con il PATI.	ð	
89	11/11/2016	12487	CECCATO RENZO	VIA DE CASPERI, 20 (CAVASO)	ONE.	10	743	AREA DI URBANIZZAZIONE CONSOLIDATA	Wene chiesta la passibilità di comprendene la proprietà in zona C3.477 aumentando il volume edificabile a mo 1200.	La richiesta è ammissibile con il PATI.	inc 400	
96	9192/11/51	12645	EEGINATO MARA, ANNA, BOMANO, FRANCA, EMMA E BATABESOO LETERA	VIAROMA.16	.3NO	5	370-408-454-455	AREA DI URBANIZZAZIONE CONSOLIDATA	Viene chiesta la possibilità di comprendere la proprietà in zona residenziale di tipo B con il recupero della volumetria esistente.	La richiesta di riclassificazione urbanistica dell'area è annuiss bile con il PATI e con il PPCP. La ricistribuzione volumetrica davià prevedere l'integrazione ambientale verso	inc 2.100	
61	22/11/2616	12901	VISENTIM ALBO E VIBENTIN ENZO	VIA ASOLANA	ONE	16	1475-1409-709	AREA DI URBANIZZAZIONE CONSOLIDATA		La richiesta di riclassificazione urbanistica dell'area è annissibile can il PATI e con il PTCP. Vanno verificate le modalità di ampliamento dell'area.	9	
25	29/11/2010	13157	REGINATO RIVALDO E DA DALF CARLA	VIA MONTECKAPPA, 24	ONE:	ф	328-1379-179-182-183- 872-892-998-1003-1006- 1007-322-180	AREA DI URBANIZZAZIONE CONSOLIDATA	Viene chiesta la possibilità di recuperare la cubatura esistente e ampliare l'ambita edificabile per aprire un accesso	La richiesta è ammissibile can il PATI: vano verificate eventuali prescrizioni di tipo ambienzale e di recupero degli standard.	Ann e latta acces	Ampliamento lotto libero con accesso da Via
2	36/11/2616	13195	GAZZOLA PABIO		MATTARELLI	92	1177-1179	AREA DI URBANIZZAZIONE CONSOLIDATA	Viene chiesto la possibilità di ampliare l'attività artigianale per me 4000.	II P1 disciplina le attività in diformità di sona ed il bro eventuale ampliamento compatibilmente con le caratteristiche dell'area di urbanizzazione consolidata.	9	
64	01/12/2010	13214	Parolin Glacomina, Lionelao Lobena e Lionelao mauro	VIA SIGNORIA	SIGNORIA		722-727-724 7968 EX 4271-7858 EX 411- 430-307	AREA DI URBANIZZAZIONE CONSOLIDATA	Viene chiesta la possibilità di demolizione di fabbiciono e ricomposizione con nuova sagonna limite e di nuova costruzione.	La richiesta è ammissibile can il PAPI: vanno verificate eventuali prescrizioni di tipo architettonico.	Spezinc 365 segain	Spostamento sagona limite e ampliamento
59	23/11/2616	12972	Toerbean Maria	VIA S. PIO X	-3NO	ı	3462	AREEA SERVIZI		La richiesta è ammissibile tramite la strumenta dell'accardo ai sensi dell'articolo 6 della L.N. 1172004.	inc 806	
29	63/12/2616	13279	TORRESAN HEANUBLA	VIA S. PIO X	ONE	4	1135/EX 963)	AREEA SERVIZI	Viene chiesto la possibilità di realizzare inc 80001000 cedendo al Comune il resto del mappale.	La richiesta è ammissibile tramite la strumento dell'accorda ai sensi dell'articolo 6 della L.R. 37/2004.	inc 800	
19	1002/25/01		Palbghameria sabtob s.n.c. a dino & c.	VIA CASTELLANA 27	PONTE	10	1783 sub 1	AREA AGRICOLA	Viene chiesta la possibilità di attivare un Accordio di Programma ai sensi dell'ort. 6 e ? L.R. 11/2004, e art. 70 NTA di PATI.	La richiesta è ammissibile tramite la strumento dell'accordo ai sensi dell'articola 6 della L.R. 11/2004.	S di S	Modifica perimetro accordo di programma
8	13/12/2016	13586	POLLADOR IYANA	VIA MONTEGRAPPA	PONTE		74	AREA AGRICOLA	Viene chiesta la possibilità di rendere edificabile il terreno per il nicavo di alimeno tre lotti:	La richiesta presenta alcune difficultà di accoglimento relativamente, al cono visuale, alla tutela degli edifici di vaore storico, all'ampliamento del nucleo rumbe rispetto al	inc 1.206 Amp	Ampliaments latto
\$	16/12/2016	13486	REGIONE VENETO	VIA ROMA	ONE			AREA DI URBANIZZAZIONE CONSOLIDATA	Riconversione contributo per ristrutturazione immobile fanziche a nuova costruzionel per realizzazione locale	La richiesta è ammissibile.	0	

55	03/01/2011		ASSOCIATION ALTINI	VIA ASOLANA	ONE.			AREEA SERVIZI	Ampliamento Casa Alpini	La richiesta è ammissibile.	٠	
TI.	27112/2616	14666-	GALLIERA MARIO - VISENTIN ALDO	VIA ASOLANA	ONE	10	768:1475:1469-769	AREA DI URBANIZZAZIONE CONSOLIDATAJAREA AGRICOLA	Viene chiesta la possibilità di trasformare la cona Di in cona D2 e la cona agricola in cona D2.	La trasformazione di zona è amniss hile: l'ampliamento potrà avvenire attraverso sportello unico, in quanto non esistno nell'ATO possibilità di ampliamento produttivo.	÷	
2	2012/2010	13785	SIMONETTO CLAUDIO	VIA VALLI	ONE.	s)	944-224-1147	AREA DI URBANIZZAZIONE CONSOLIDATA	Eliminazione standard dall'area di proprietà.	La richiesta è anniss hile tenendo conto dello stato dei luoghi e delle costruzioni realizzate.	÷	
7	281222616		TORRESAN BRUNA, CARLO, MARIO, OLGA, PELLIZZER ANGELO, RALLESTRIN UGO		MATTARELLI	10	255 256 259 1 206	AREA DI URRANIZZAZIONE CONSOLIDATA	Ricandscimento dell'urbanitzazione.	Lo richiesto è ammissibile.	÷	
74	27,877,2616	8645	P.LLI MAZZAROLO	VIA CASTELLANA 126	PONTE	n	356	AREA AGRICOLA	Viene chiesta la possibilità di utilizare a un'area collegata all'insediamento produttivo in difformità di zona.	La trasformazione di zona è ammissibile tramite accordo ai sensi dell'art. 6 della L. B. 117904.	÷	
12 E	14802010	6730	OINOMAY OFFICE ANTONIO	VIA SCHIAVONESCA MAROSTICANA	ONE	ф	103	AREA DI URBANIZZAZIONE CONSOLIDATA	Individuazione capacità edificatorie in un'area già residenziale.	La richiesta è ammissibile per un massimo di inc 800.	Inc 800	
7.0	27,877,2616	14007	GAZZOLA GIUSEPPE PER CONTO DI GAZZOLA ANDREA	VIA LASTEGO	ONE.	16	241-242-2434 partel- 2454 partel	AREA DI URBANIZZAZIONE CONSOLIDATA	Chiede: ambito di progettazione ridotto alla propria proprietà: aumento della potenzialità edificatoria: arbanizzazione e	La richiesta è annissibile individuando l'area come di trasformazione: il latto contermine non interessato dal progetto va assoggettato a perequazione.	mc 3.786	
11				VIA MONTECRAPPA	ONE					Modifica perimetra PIRUEA	٠	
40 40			ALLEVAMENTO LASTIGO		ONE			AREA AGRICOLA	Chiede lapassibilità di ristratturare e ampliare l'allevamento intensivo.	La richiesta è compatibile con il PATI: date le problematiche del sito l'intervento andrebbe soggetto ad accordo art. 8 L.R. 13/2004.	•	
2	19801/2011	562	Y'ITI WAZZABOLO	VIA CASTELLANA 120	PONTE	*	349-350	AREA AGRICOLA	Nedi richiesta n. 74 - chiede la realizzazione di residenza del custode in amplamento del fabbricato artigianale.	Vedi richiesta n. 74.	٠	
8	18/61/2011	Sur	Balzan immobiliare sas e zetarsee sel	VIA ROMA 18:28	PONTE	φ	610-282-455-430-380-	AREA DI URBANIZZAZIONE CONSOLIDATA	Chiede di confermare l'attività, realizze ampliamenti per adeguamento igienico sonitario e ricavare locali per vendita.	La richiesta è ammissibile: resta confermato comunque il PUA per la riqualificazione complessiva dell'area.	٠	

1   1975   1   1975	19	28/01/2011	1093	DESCONDIANT NOTICE SEL	VIA GRANATIERI DI SARDEGNA (BASSANO)	PONTE	*	422	AREA DI URBANIZZAZIONE CONSOLIDATA	Richiesta di parere preventivo per cambio di destinazione d'uso da 7 unità residenziali in 7 unità di rezionali.	La richiesta è anmissibile secondo quanto contenuto nella risposta dell'Anministrazione Contanale.	•	
10.00   1.00	2	28/01/2011	2	BARON ADRIANO		PONTE	91	252	AREA DI URBANIZZAZIONE CONSOLIDATA	Chiede la possibilità di aumentare la cuhatura da 1200 inca 2000 ince che PUMI sia l'imitato all'area di proprietà.	La rchiesta è ammissibile solo per quanto concerne la possibilità di internento edilizio diretto.	•	
1.   1.   1.   1.   1.   1.   1.   1.	2	1992/2010	2193	BBRNARDI FRANCIBECO	VIA CANDVA 4	PONTE	10	1662	AREA DI URBANIZZAZIONE CONSOLIDATA	Chiede che venga attribuita la passibilità edificatoria percostruire un fabbricato residenziale di circa ing 1860.	La richiesta è ammissibile per un inassimo di inc 12000.	tine 2.000) inc 1.200	Riduzione latta libera da C.a B
4 (1)         1 (1)         (1	2			COMUNE DI PONTE		OME			AREA AGRICOLA	Inscrinento di nuovo impianto nel Piano antenne.	Lo richiesto è ammissibile.	0	
1	25	188922011	1156	TOWELLO DANIELE E DE BOPTOLI TERESA	VIAGIOLLI	ONE	ħ	1438 sub 1-2-3	VEDI 085, 26	VEDIOSS:20		0	
100   100	25	28/02/2011	2383	PREZZOLO GIUSREPE	VIA CASTELLANA, 101	ONE.	12	25	AREA AGRICOLA	Viene chiesta la possibilità di realizzare un fabbricato residenziale di me 600 per esigenze familiari.	Richiesta ammissibile can il PATI.	Inc 800	
10   10   10   10   10   10   10   10	£				VIA CRESPANO	PONTE					Rettifica incracio stradale		
1	8	25/02/2011	2086	BKRNARDI GIACINTO	VIASPIOX	ONE.			AREA URBANIZZAZIONE CONSOLIDATA	Viene chiesta la possibilità di inserimento di 2 lotti liberi da ne 800 con denalizione dell'esistente	Richiesta annuissibile can il PATI.	999° Loui	
Particular particular properties   Particular particu	8	61112/2616	13213	Robbs	VIA MATTARELLI EVIA RATTAGELLO	POKTE		406 partel: 1251: 1253: 1254: 1535 partel: 1538 partel: 1655 partel:	VEDI 085.73	VEDH 0555. 73		ð	
Part	8			REGINATO SILVANO						Ampliamento labbricato artigianale in difformità di cone	Rudneda anninssidae con scheda progetuale.	÷	
Part	18			REGINATO SILVANO						Area per sede alpini Ponte Alto	Richiesta accepibile ma con una serie di prescrizioni data la delicarezza dell'area.	0	
Exercise	#			DI RORA ROBERTO E OISHINGRE MATHILDE						Richiesta di nuavo fabbricato residenziale a S. Margherita	Annissibile con individuazione di saganna limite.	916.0m	Leggero spostamento sagona limite
1	3			ZANTH DARGO						Eliminazione latta lihera di tipa A	Richiesta ammissibile on il PATI.	908	
Part	a			REGENATO RUBEN						Conferma labbricato artigianale in difformità di zona	Annissibile on onlerna dell'attività esistente.	0	
Part	25			MARGON VALERIO								0	
DODGOED MANTON DOLINGTO   DOLINGTO DOLINGTO   DOLINGTO DOLINGTO   DOLINGTO DOLINGTO   DOLINGTO DOLINGTO DOLINGTO   DOLINGTO DOL	8			BARON AUGUSTA						Incremento di lotto libero da 800 maa 1200 ma	Richiesto competibile con il PATI	inc 400	
Part	25			DOBOSZ MAREK						Richiesta di aumento volumetrico no 400	Anniss hile can precisazione degli interventi annessi.	inc 400	
	8			SABTOR DOMENICO						Richiesta di latta lihera ma 8000	Richiesta ammiss hile.	998 our	
PRESENCIAL LIGAR A GUIGEPPE   Via CASTELLAIA 101   ONE   America de l'action	3			FRACCARO EOBERTA						Richiesta area commerciale	Richiesta ammissibile con individuzione di un'ATR con possibilità di realizzare medie strutture di vendita.		
PRESENCIAD LIGA E QUUSEPPE   VAR AVSTELLARA. 10:   OVE   OVE   AMEA ADBROOKA   Echher and inspirate on interval in partial continue deal incoming and incoming	100												Divisione ambito PUA in due parti ATN/3/1 e
PRILITER FLATO   PRIL	101			PREIZZOLO LUCA E CIUSEPPE	VIA CASTELLANA, 101	.ano			AREA AGRICOLA	Richiest od i spostamento (abbricati rum)i	Richiesta ammissibaili tramite credito edilizio		Riordino volumi esistenti con credito edilizio
PTELTA CIRCTED ONE  #CELDS  #CELDS  #CELDS  #CELDS  #CELDS  #CONFORT DATA CARD IN THE CARD	102			PRILIZER FLAVIO	VIA MATTARELLI. 63	ONE.			AREKA CONSOLIDATA	Richista di individuazione latta libera di tipo A 1800 inch	Richiesta ammissibile portando il lotto libero esistente da tipo B 13000 mcha tipo C 12000 mch con aumento del lotto		Aumento del volume edifichile di un: 800 e del
PRILIA GENTED ONE  ACTED-8  AC													
800.				PIRITEA GENTRO ONE							Recupero potentialità edificatorie.	24.334	
ACCHIBETS ALTONIATE DALLA A.C.				вснаря									
AICHINETS APPORTATE DALLA A.C.													
RICHIEFF AFONTATE DALLA A.C.													
	4	CHIBBTE APP	OKTATB DA	alla a.c.									